

Wykłady uniwersyteckie.

Teorya Maxwell'a
i
teorya elektronów

według wykładów

Prof. Dra Smoluchowskiego.

Lwów 1910.

Nakładem Kółka matemat.-fizycznego.

Do zrozumienia teorii Maxwella bardzo potrzebna jest bliższa znajomość rachunku wektorowego. Pierwsze zasady są znane; wiemy, co to jest wielkość skalarowa, a co wektorowa, wiemy, jak się wektory dodaje i odejmuje, jak się wektory mnoży

$$(ab) = ab \cos(\angle ab)$$

dalej, jak się wektory rozkłada

$$a = ia_1 + ja_2 + ka_3$$

Wobec tego

$$(ab) = (a_1i + a_2j + a_3k)(b_1i + b_2j + b_3k)$$

Tu stosuje się prawo rozdzielności i przemienności, można to więc wyliczyć jak w zwykłej algebrze

$$\begin{aligned}(ab) = & a_1b_1i^2 + a_2b_2j^2 + a_3b_3k^2 + \\ & + a_1b_2ij + a_2b_3jk + a_3b_1ki + \\ & + a_1b_3ik + a_2b_1ji + a_3b_2kj\end{aligned}$$

Te iloczyny skalarne, gdzie mamy dwa różne wektory i, j i t. d. znikają, bo kąt między nimi jest $\frac{\pi}{2}$, a $\cos \frac{\pi}{2} = 0$. Pozostają tylko te, gdzie występują kwadraty, a te są równe jedności.

$$(a, b) = a_1 b_1 + a_2 b_2 + a_3 b_3$$

Stąd można otrzymać znane wzory z geometrii analitycznej. Jeżeli n.p. a i b są wektorami jednostkowymi, to otrzymujemy stąd wzór na \cos kąta między dwoma wektorami:

$$\cos(a, b) = \cos a_x \cos b_x + \cos a_y \cos b_y + \cos a_z \cos b_z$$

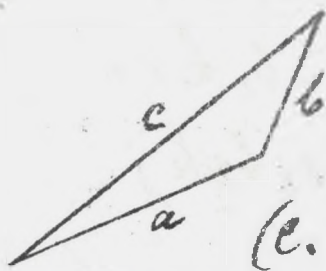
Podobnie każdy wzór z rachunku wektorowego można interpretować geometrycznie.

Weźmy trójkąt (fig. 1.) o bokach a, b, c , gdzie $c = a + b$.

Weźmy kwadrat obu stron:

$$(c, c) = (a + b)(a + b)$$

$$\text{Fig. 1. } c^2 = a^2 + (b, a) + (a, b) + b^2$$



$$c^2 = a^2 + b^2 - 2ab \cos(\angle ab)$$

jest to twierdzenie Carnota.

Teraz przejdziemy do iloczynu wektorowego. Jego
funkcją jest

$[a b] = ab \sin(\angle ab)$ ma to być wielkość
wektorowa, prostopadła do (ab)

W formie wyznacznika pisze się to

$$[a b] = \begin{vmatrix} i & j & k \\ a_1 & a_2 & a_3 \\ b_1 & b_2 & b_3 \end{vmatrix}$$

Mozna tu wyprowadzić prosto twierdzenie

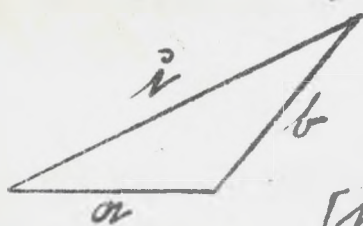


Fig. 2.

$$c = a + b$$

pomnożymy to wektorowo przez a

$$[c a] = [a a] + [b a]$$

[Każdy iloczyn wektorowy, który zawiera róż-
ne składniki = 0 bo

$$[a a] = a a \sin 0 = 0$$

można, jeżeli napiszemy $[a b] = 0$, znaczy to, że
wektory są równoległe]

$$c \alpha \sin(\beta \alpha) = b \alpha \sin(\beta \alpha)$$

$$c \sin(\beta \alpha) = b \sin(\beta \alpha)$$

$c : b = \sin \gamma : \sin \beta$ Jest to znane twierdzenie sinusowe z trygonometrii. —

W podobny sposób można interpretować następujące twierdzenie:

Wzrostamy kwadrat iloczynu wektorowego α i b więc $[\alpha b]^2 = a^2 b^2 \sin^2[\alpha b]$ a podług definicji przez wyznacznik

$$[\alpha b]^2 = \begin{vmatrix} a_2 & a_3 \\ b_2 & b_3 \end{vmatrix}^2 + \begin{vmatrix} a_3 & a_1 \\ b_3 & b_1 \end{vmatrix}^2 + \begin{vmatrix} a_1 & a_2 \\ b_1 & b_2 \end{vmatrix}^2 = (a_2 b_3 - b_2 a_3)^2 + (a_3 b_1 - b_3 a_1)^2 + (a_1 b_2 - b_1 a_2)^2$$

Jeżeli teraz powiemy, że początkowe wektory są jednostkowe, to otrzymamy

$$\sin^2[\alpha b] = (\cos a_y \cos b_z - \cos a_z \cos b_y)^2 + (\cos a_z \cos b_x - \cos b_z \cos a_x)^2 + (\cos a_x \cos b_y - \cos b_x \cos a_y)^2$$

Teraz przejdźmy do składowania 3 wektorów

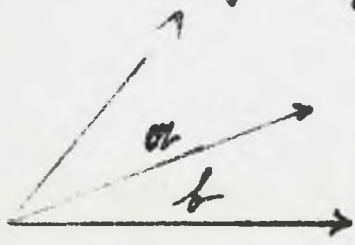
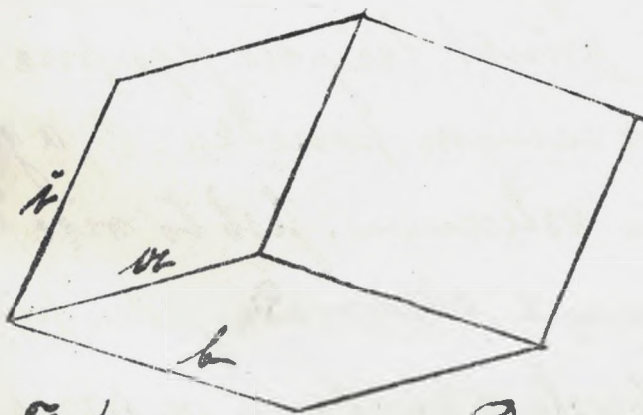


Fig. 3.

Utwórzmy iloczyn wektorowy z α i b (Fig. 3.) bez względu na wartość jego równa się wielkości pola, utworzonego przez te wektory i prosta-

stawia wektor \perp do tego pola, przytem kierunku jego tak się dobiera, by wektory a i b razem z nim tworzyły system prawej ręki. Wprowadzmy teraz iloczyn skalarny z iloczynem (a i b) i trzeciego wektora i czyli $[i(a b)]$ oznacza to iloczyn bezwzględnej wartości e i $[a b]$ $\times \cos \phi$ między nimi zawartego.

Otrzymujemy w ten sposób objętość równoległościanu, wykreślonego na tych 3 wektorach (fig. 4).



jest to wielkość skalar-
na, a wielkość jej
istotna jest $\text{Vol}(a b i)$
Widacimy, że tu można
kolejno zmieniać znaki.

Fig. 4. Porządku jednak \times iloczynie wektorem
równym zmieniać nie można, bo zmieniając porzą-
dek, zmieniamy znaki $+$ na $-$

$$[e(a b)] = \text{Vol}(a b e)$$

$$[e(b a)] = -\text{Vol}(a b e)$$

Ale można pokombinować $[e a]$ z trzecim wekto-
rem, lub $[e b]$ z a

$$(c[or b]) = (or[bc]) = (b[co]) =$$

$$-(c[bo]) = -(or[cb]) = -(b[oc])$$

Teraz przejdziemy do zastosowań geometrycznych.
 Mamy punkt, z którego wykreślamy 3 wektory
 i jakiś wektor, oznaczony przez or . Po oznaczeniu
 wektor $r = x or$, wykreślamy wektor, który jest
 wielokrotnością wektora or .

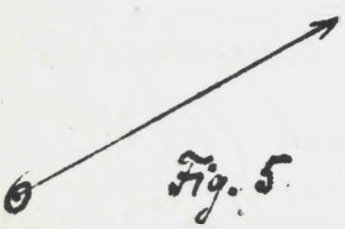


Fig. 5.

Gdy $0 < x < 1$ otrzymamy punkt
 na samym wektorze or , gdy
 $x > 1$ punkt leży na jego pro-

łużeniu, gdy $x = 0$, - w samym początku O , a gdy
 $x < 0$ na przedłużeniu wstecz. Jest to więc poro-
 żnięcie prostej; każdemu x odpowiada jeden punkt.

Chcemy przetworzyć prostą o kierunku or przez
 punkt O odległy od P o b . Widai z rysunku

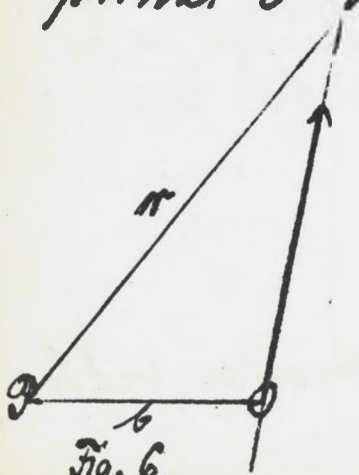


Fig. 6.

(fig. 6.), że wtedy $r = b + x or$
 To się tyczy prostej. Dowolny
 punkt na płaszczyźnie otrzy-
 mamy, kładąc

$$r = x or + y b \dots (\alpha)$$

To jest więc równanie płaszczyzny. Podobnie, gdyby płaszczyzna miała być przesłazona nie przez punkt O , lecz przez jakiś punkt odległy o c , to

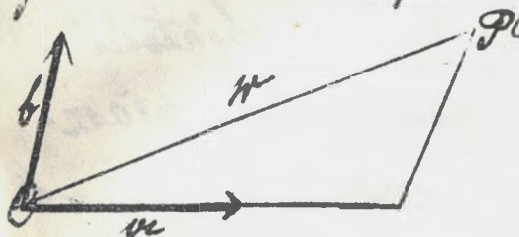


Fig. 7.

równanie jej byłoby

$$n = c + x a + y b \dots (\alpha')$$

Mamy 2 parametry zmienne, bo płaszczyzna ma 2 wymiary.

Równanie płaszczyzny można jeszcze inaczej wyrazić. Iloczyn skalarny $(n [a \ b])$ przedstawia objętość równoległoscianu, utworzonego przez te 3 wektory. Jeżeli taki równoległoscian spłaszczyliśmy, to objętość jego = 0, to jest równoważnie znakomicie, że te 3 wektory leżą na jednej płaszczyźnie, czyli, że są kolinearne. Jedną z tych wektorów można oznaczyć n

$\beta) (n [a \ b]) = 0$ oznacza, że n leży w płaszczyźnie przesłazonej przez a i b . Jest to więc równanie płaszczyzny, przechodzącej przez wektory a i b . Spróbujmy, czy z równania α wynika β
Mamy tam $n = x a + y b$ teraz

$$(\pi[or b]) = x(\alpha[or b]) + y(b[or b])$$

Kiedy z tych składników = 0, to równoległością, którego 2 krawędzie są identyczne, staje się równoległością. Nie ma więc żadnej objętości —

Gdyby punkt, przez który przekładamy płaszczyznę, nie był punktem 0, lecz jakimś innym odstępem c , trzeba by pisać

$$[(\pi - c)[or b]] = 0, \text{ a to jest identyczne z formą}$$

$$(\pi[or b]) = (c[or b]) = m \quad y)$$

jest to nowa wielkość skalarowa.

Równanie płaszczyzny, przechodzącej przez wektory α i b a nie przechodzącej przez początek współrzędnych, da się wyrazić równaniem y), gdzie m będzie w związku z odstępem. —

Przejdźmy do równania prostej. Można je także wyrazić $[\pi \alpha] = 0$ to bowiem znaczy, że te 2 wektory π i α są równoległe, a jeżeli je wykreślić z jednego punktu, to muszą spaść na siebie. To jest identyczne z tem, że $\pi = x \cdot \alpha$, bo jeżeli to podstawimy, to $[\pi \alpha] = x[\alpha \alpha] = 0$

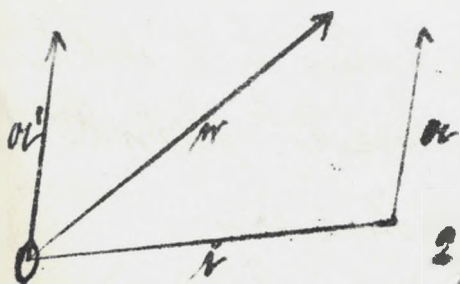
Podobnie prosta \parallel do or , przechodząca przez punkt r odległości b ma równanie $[(r-b)or] = 0$. —

Utworzony symbol następujący $[r[or\ b]] = 0$ znaczy to, że wektor r ma być do ^{wektora} or równoległy, a że ^{wektor} $[or\ b]$ jest prostopadły do or i b , więc $r \perp or$ i $r \perp b$ to jest równanie prostej, prostopadłej do or i b . —

Ważny także zadanie:

Mamy wektor r (fig. 8.), który oznacza położenie punktu względem początku układu i przy końcu przeprowadzamy wektor or . Jakie będzie położenie płaszczyzny przechodzącej przez te 2 wektory?

Przebie wyrazić, że trzeci wektor r jest komplementarny z r i or , czyli, że $(r[or\ r]) = 0$. bo jest prosta, obejmująca, czy bierzymy r czy or , o ile ich kierunek i wartości skalarne są te same. —



2) Mamy 3 wektory (fig. 9.) or i b i

Fig. 8. chcemy skonstruować płaszczyznę, przechodzącą przez ich konce. Na tej płaszczyźnie bierse-

my dowolny punkt bierzący P, którego położenie względem punktu O jest określone przez wektor w .

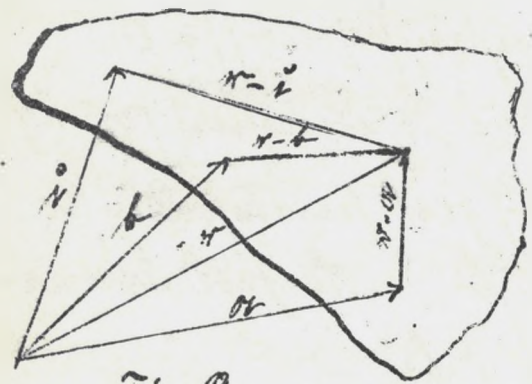


Fig. 9.

Proste, łączące w z końcami wektorów i i j mają brzoś na jednej płaszczyźnie. Są one przedstawione przez różnicę $(w-i)$ $(w-j)$ $(w-k)$. Jeśli mają brzoś na

jednej płaszczyźnie, to $((w-i)[(w-j)(w-k)]) = 0$. Można też wyrazić, że brzoś wektor ma brzoś na płaszczyźnie, przechodzącej przez 2 pierwiastki.

$((w-i)[(j-i)(k-i)]) = 0$ Można sprawdzić, że te równania są identyczne.

Ważny najprostszы przypadek, mianowicie, że to są wektory jednostkowe $((j-i)[(k-i)]) = 0$ to byłaby płaszczyzna przechodząca przez końce tych wektorów. Na tych 3 wektorach można kreślić odcinki li , mj , nk , to byłby przypadek ogólniejszy

$((w-li)[(mj-li)(nk-li)]) = 0$
 $= ((w-li)[mn[jk] - ln[ix] - ml[ji] + l^2[ii]])$

A wykonując mnożenie skalare:

$$m n_i + l n_j + m l (n_k) - l m n (i^2)$$

$$- l^2 n_j - l^2 m (i k) = 0$$

(n_i, n_j, n_k są bezwzględnie kartesji wektorów, pomnożone przez cos kąta, między nimi zawartego, są to więc rzuty wektorów, na odpowiednie osi).

Wobec tego ostatecznie wypadnie:

$\frac{x}{l} + \frac{y}{m} + \frac{z}{n} = 1$ jest to równanie płaszczyzny w formie Descartesowej; - ma ono wielkie znaczenie w krystalografii, szczególnie przy dalszych grupach. Przejdźmy do krzywych przestrzennych i do powierzchni w przestrzeni.

Aby wyznaczyć krzywą w płaszczyźnie, musi być dawa płaszczyzna przetworzona przez wektory a i b. Wektor "n" (fig 10). wykreślony do punktu bieżącego krzywej, leży w tej płaszczyźnie, musi się więc dać od rozłożyć na sumę geometryczną 2 składników. Wektor:

$$n = a \varphi(\mu) + b \psi(\mu)$$

Zmieniając ^{w sposób} ciągły μ dostaniemy jakąś krzywą płas-

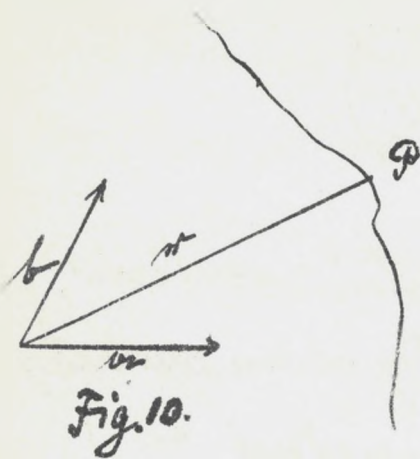


Fig. 10.

ską.

Odpowiednio π przestrzeni każdej wektor π można rozłożyć na 3 kierunki nie komplementarne.

$$\pi = a \varphi(u) + b \psi(u) + i \chi(u),$$

co przy zmiennym parametrze u przedstawi krzywą przestrzeni u_2 .

Weźmy n.p. linię śrubową (fig. 11.) na powierzchni walca. Rozłożmy wektor π na 3 składniki i, j, k .

$$\pi = a \cos \varphi i + a \sin \varphi k + b j \varphi.$$

φ kąt między promieniem w i płaszczyzną $i k$ jest zmiennym parametrem.

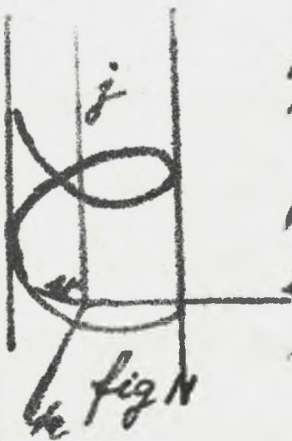


fig. 11

Równanie powierzchni da się wyrazić π analogicznym sposobem. Pm P (fig. 12.) obrany dowolnie na powierzchni, będzie dany przez wektor π , wykreślony z początku współrzędnych, a da się wyrazić przez wielokrotności a, b, i π



fig. 12

krzywych nie komplanarnie, a współrzędniki będą zależały od 2 parametrów.

$$r = a\psi(\mu\nu) + b\varphi(\mu\nu) + i\chi(\mu\nu)$$

Kładąc $\mu = \text{const.}$ a ν zmienną, lub naodwrot, otrzymujemy równanie krzywych przestrzennych, leżących na tej powierzchni. —

Normalna do powierzchni w punkcie P, będzie określona jako prostopadła do płaszczyzny 2 krzywych $\mu = \text{const.}$ i $\nu = \text{const.}$ w tym punkcie.

Łącznica P'P = r' - r = dr (fig. 13.)

niezależnie płaszczyzn krzywej w jednym kierunku będzie przedstawiony przez różniczkę dw_μ (przy zmianie μ), a r drugim przez dw_ν , kierunek prostopadły do nich otrzymamy biorąc iloczyn wektorowy.

$$[dw_\mu dw_\nu] = 0$$

Wielkości tego wektora jest rzeczą obojętną, bo chodzi nam jedynie o kierunek normalnej, przedstawiony właśnie tym symbolem, który wyrażony przez różniczkowanie sągotkowe.

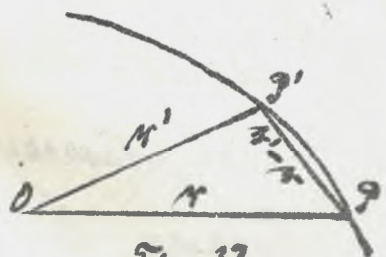


Fig. 13.

$$\frac{\partial \pi}{\partial u} du = d\omega_u \quad \left| \quad du \text{ i } dv \text{ można opuścić} \right.$$

$$\frac{\partial \omega}{\partial v} dv = d\omega_v \quad \left| \quad \text{jako wielkości liczbowe.} \right.$$

$\pi = \mu \left[\frac{\partial \omega}{\partial u} \frac{\partial \omega}{\partial v} \right]$ π osiada krzywek normalny.
 Ukazuje nam to, że mamy do czynienia tylko z wektorem normalnym.

Niech będzie dane normalne w punkcie krzywej, przez który chcemy przetoczyć płaszczyznę styczną (fig. 14.).

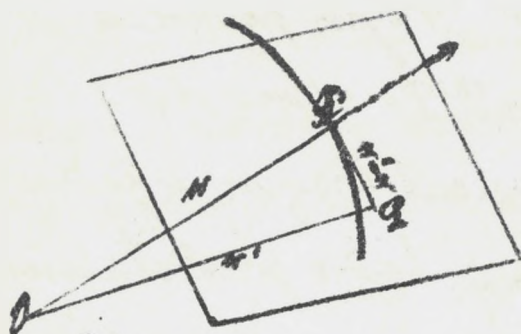


Fig. 14

Obie płaszczyzny mają wspólny punkt Q, którego odstęp do O jest π' . Jeżeli płaszczyzna ma być styczna, to

$$((\pi' - \pi) \left[\frac{\partial \pi}{\partial u} \frac{\partial \omega}{\partial v} \right]) = 0$$

$$(\pi' - \pi) = 0 \quad \text{czyli}$$

Gdy równiemy się płaszczyznom, to 3 wektory jednostkowe a, b i c zastąpić się dadzą przez wektory jednostkowe i, j, k w kierunku 3 osi. Wtedy $\pi = i\varphi(u, v) + j\psi(u, v) + k\chi(u, v)$ albo $\pi = ix + jy + kz$.

Związek trzech wielkości x, y, z można wyrazić

$F(x, y, z) = 0$ wskutek tego jedna funkcja
 u. p. z wyraża się przez pozostałe x i y . Tak
 przechodzimy do równania w zwykłej formie ana-
 litycznej.

Wyprowadzimy dalsze konsekwencje:

$u = u\left[\frac{\partial w}{\partial u} \frac{\partial w}{\partial v}\right]$ jako parametry u i v można
 obrać x i y . Wtedy z od nich zależą

$$\frac{\partial w}{\partial x} = i + k \frac{\partial z}{\partial x}$$

$$\frac{\partial w}{\partial y} = j + k \frac{\partial z}{\partial y}$$

Dany zaś jest związek $F(x, y, z) = 0$

$$\frac{\partial F}{\partial x} + \frac{\partial F}{\partial z} \frac{\partial z}{\partial x} = 0 \quad \text{stąd}$$

$$\frac{\partial z}{\partial x} = -\frac{\frac{\partial F}{\partial x}}{\frac{\partial F}{\partial z}}$$

$$i \quad \frac{\partial w}{\partial x} = i - k \frac{\frac{\partial F}{\partial x}}{\frac{\partial F}{\partial z}} \quad \text{analogicznie}$$

$$\frac{\partial w}{\partial y} = j - k \frac{\frac{\partial F}{\partial y}}{\frac{\partial F}{\partial z}}$$

$$\left[i - k \frac{\frac{\partial F}{\partial x}}{\frac{\partial F}{\partial z}} \right] \left[j - k \frac{\frac{\partial F}{\partial y}}{\frac{\partial F}{\partial z}} \right] = ij - \frac{\frac{\partial F}{\partial x}}{\frac{\partial F}{\partial z}} kj - \frac{\frac{\partial F}{\partial y}}{\frac{\partial F}{\partial z}} ik +$$

$$kk \frac{\frac{\partial F}{\partial x}}{\frac{\partial F}{\partial z}} \frac{\frac{\partial F}{\partial y}}{\frac{\partial F}{\partial z}} = k + i \frac{\frac{\partial F}{\partial x}}{\frac{\partial F}{\partial z}} + j \frac{\frac{\partial F}{\partial y}}{\frac{\partial F}{\partial z}}$$

tak przedstawia się wektor o kierunku normalnym.

Łechy wykazać, iż wzór ten zgadza się ze zwykłymi wzor-
 owymi geometrii analitycznej, pomnożymy go przez
 Brz. III.

$\frac{\partial F}{\partial z}$ wtedy to przejdzie na

$i \frac{\partial F}{\partial x} + j \frac{\partial F}{\partial y} + k \frac{\partial F}{\partial z} = \nabla F$. Wynik jest zgodny, bo jeżeli dany jest wektor $\alpha = i a_1 + j a_2 + k a_3$, to $\cos(\alpha x) = \frac{a_1}{\sqrt{a_1^2 + a_2^2 + a_3^2}}$, podobnie $\cos(\alpha y)$ i $\cos(\alpha z)$ stosując to do naszego przypadku, widzimy, że $\cos(\alpha x) = \frac{\frac{\partial F}{\partial x}}{\sqrt{(\frac{\partial F}{\partial x})^2 + (\frac{\partial F}{\partial y})^2 + (\frac{\partial F}{\partial z})^2}}$ które to wzory są z geometrii analitycznej. Równanie krzywej przestrzennej wyrażilibyśmy w formie

$$r = \alpha \varphi(u) + \beta \psi(u) + \gamma \chi(u) = \Phi(u)$$

Jeżeli podamy punkt P (fig. 15.) z nieskończonością bliskim P_1 na krzywej, to $PP_1 = r_1 - r = dr$ jest wektorem r kierunkiem stycznej, którego wielkością jest jeszcze bliżej zero, wystarczy to jednak do wyrażenia równania stycznej. Niech będzie punkt na kierunku stycznej Q ; to wektor $r_1 - r$ przez PQ ma być równoległy do stycznej; wobec tego

$$[(r_1 - r) dr] = 0 \quad \text{albo też}$$

$$r_1 = r + \lambda dr.$$

Jeżeli krzywa i powierzchnia

Fig. 15.



malowa (fig. 16.), brzecha pyrasic, ze wektor $n'-n$ jest prostopadly do dlw , wiec $((n'-n)dlw) = 0$

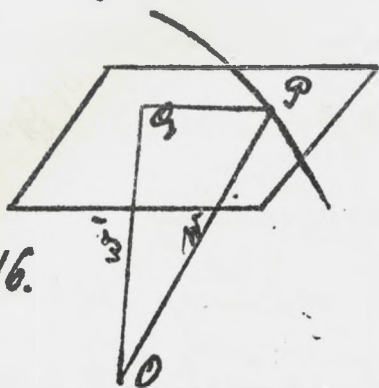


Fig. 16.

Równania przedstawiają się wygodnie, jeżeli jako parametr μ wybieramy element punktu.

$$n = \psi(\mu)$$

$\frac{dlw}{ds} = 0$ przedstawia wektor jednostkowy, w kierunku stycznym. Przez 3 punkty krzywej nieskończenie bliskie można przeprowadzić płaszczyznę styczną. Jeżeli mamy 3 wektory u, b, i , to płaszczyzna przechodząca przez ich koniec jest dana przez dwa wektory $(c-u)$ i $(b-u)$ i punkt bieżący, określony wektorem n' (fig. 17.), które spełniają równanie

$$[(n'-u)[(b-u)(i-u)]] = 0$$

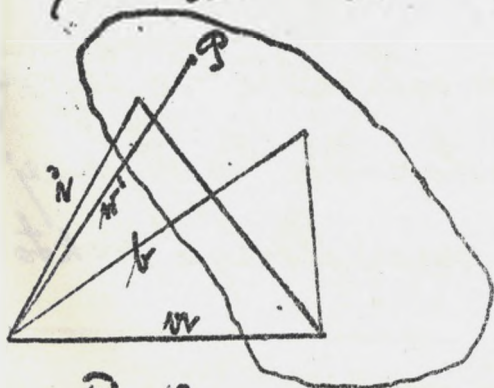


Fig. 17.

W podobnym analogicznie. Mamy punkty bieżące P_1, P_2, P_3 (fig. 18)

$$[(n'-n_1)[(n_2-n_1)(n_3-n_1)]]$$

przy przejściu do granicy



$$((w'-w)[d^2w + d^2w]) = 0$$

$$[d^2w + d^2w] + [d^2w + d^2w]$$

$((w'-w)[d^2w + d^2w]) = 0$ jest to równanie płaszczyzny osciętwej. Orientujemy ją w przestrzeni bieżącej znaki, jeżeli podamy kierunek normalny.

$((w'-w)[d^2w + d^2w]) = 0$ znaczy, że wektory $(w'-w)$ i $[d^2w + d^2w]$ są do siebie prostopadłe, $(w'-w)$ jest wektorem w płaszczyźnie, więc $[d^2w + d^2w]$ jest do płaszczyzny prostopadły, nazywamy go binormalną.

$$L = U[d^2w + d^2w]$$

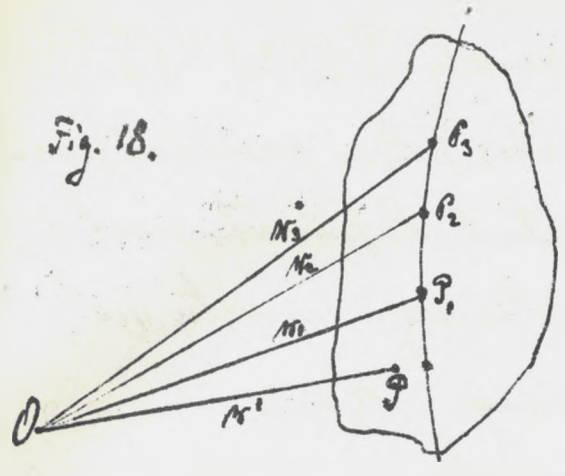
Jako normalna do kierunku osciętwej i binormalnej, jest określony trzeci kierunek, t. j. normalnej głównej. W ten sposób otrzymany system trzech współrzędnych; osciętwa i normalna główne są połączone w płaszczyźnie osciętwej.

Równanie normalnej, jako prostopadłej do osciętwej; i do binormalnej, jako prostopadłej do osciętwej.

Do binormalnej będzie dane przez iloczyn wektorowy z δ i L

$$N = [\delta L] = \left[\frac{dw}{ds} U \left[\frac{dw}{ds} \frac{d^2w}{ds^2} \right] \right]$$

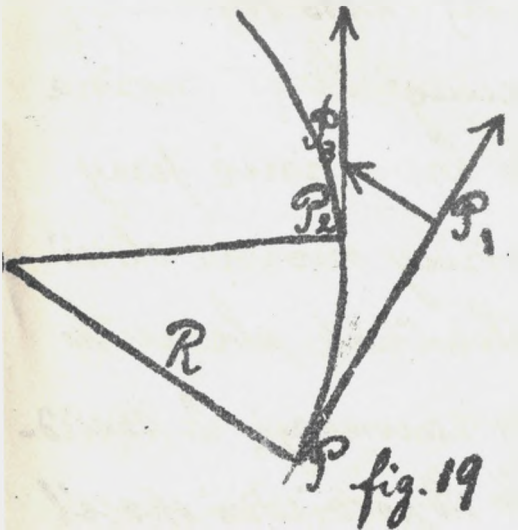
Fig. 18.



$$n = u \left[\frac{ds}{ds} \left[\frac{ds}{ds} \frac{d^2x}{ds^2} \right] \right]$$

Normalne gromne, wykres-
 lous p 2 sasiednich punkt-
 tach P; P' przetnie oia n punkt-
 cie, który nazywamy środ-
 kiem krzywizny. Odda-
 lenie tego punktu do punktu P jest promieniem
 krzywizny. Wektor jednostkowy styczny p punkcie
 P jest oznaczony przez $\frac{dx}{ds}$, a p punkcie następnym
 przez $\frac{dx}{ds} + \frac{d^2x}{ds^2} ds$; sinie to rozkładamy (jak widai
 na figurze 19.) z drugą pochodną ma kierunek prost-
 oprostny do stycznej, jest wie zwrócony ku środkowi krzy-
 wizny. Jeżeli wykreszymy pro-
 mienie krzywizny $P_1O; P_2O$ - otrzy-
 mamy 2 trójkąty podobne
 $P_1P_2T \quad P_2O$ wie
 $\left| \frac{d^2x}{ds^2} \right| : 1 = 1 : R \quad R = OP$
 stąd $R = \frac{1}{\left| \frac{d^2x}{ds^2} \right|}$ W ten sposób
 otrzymamy ~~szereg~~ ^{ogólny} na promieni

lenie tego punktu do punktu P jest promieniem
 krzywizny. Wektor jednostkowy styczny p punkcie
 P jest oznaczony przez $\frac{dx}{ds}$, a p punkcie następnym
 przez $\frac{dx}{ds} + \frac{d^2x}{ds^2} ds$; sinie to rozkładamy (jak widai
 na figurze 19.) z drugą pochodną ma kierunek prost-
 oprostny do stycznej, jest wie zwrócony ku środkowi krzy-
 wizny. Jeżeli wykreszymy pro-
 mienie krzywizny $P_1O; P_2O$ - otrzy-
 mamy 2 trójkąty podobne
 $P_1P_2T \quad P_2O$ wie
 $\left| \frac{d^2x}{ds^2} \right| : 1 = 1 : R \quad R = OP$
 stąd $R = \frac{1}{\left| \frac{d^2x}{ds^2} \right|}$ W ten sposób
 otrzymamy ~~szereg~~ ^{ogólny} na promieni



*) Przyrost x odczynn jest ds; rozwijamy $\frac{dx}{ds}$ według Taylora
 i bierzemy p przybliżeniu 2 pierwsze wyrazy.

krzywizny w punkcie P a castkowity $R = \left| \frac{d^2x}{ds^2} \right| U \left(\frac{d^2x}{ds^2} \right)$

Na podstawie tego wyrażenia można podać promień ewoluty, zwrócić uwagę, że odstęp punktu O od punktu ewoluty musi być równy różnicy odstępów danego punktu na krzywej między promieniem krzywizny $r' = r - R$.

Z kolei przychodzimy do rozpatrywania skrętu krzywej w przestrzeni. Jeżeli kierunek binormalnej jest stały, to powierzchnia ściśle stykana porostaje płaską w tem samym położeniu, krzywa jest wtedy krzywą płaską, a tylko normalna główna będzie się zmieniać w różnych punktach. Jeżeli jednak binormalna zmienia swe położenie w przestrzeni, tak, że system O, L, N obraca się około stycznej, następuje skręt krzywej w przestrzeni. Skręt można określić jako $\rho\sigma$, co odpowiada krzywiznie przy krzywych płaskich. Dla krzywizny można określić promień krzywizny jako stosunek elementu łuku do elementu kąta, który zawierają 2 sąsiednie normalne $R = \frac{ds}{d\varphi}$ W odpowiedni sposób promień skrętu (Torsionsradius) jako stosunek tu-

ku ds do kąta między drucem binormalnym.

$$\tau = \frac{ds}{d\psi} \quad \frac{1}{\tau} = \frac{d\psi}{ds}$$

Kierunek binormalnej wyrażony wektorem jednostkowym jest $U\left[\frac{ds}{ds} \frac{d^2x}{ds^2}\right]$ $d\psi$ jest różnicą z następujących po sobie wektorów; zatem to samo możemy jeszcze napisać $\frac{1}{\tau} = \frac{1}{ds} \frac{dL}{ds}$

Zastanówmy otrzymane dotąd wyniki do powierzchni przestrzennych:

Niech będzie powierzchnia walcowata (fig. 20.); dana przez przecięcie równoległej prostej tworzącej po krzywej płaskiej zamkniętej; obieramy na niej

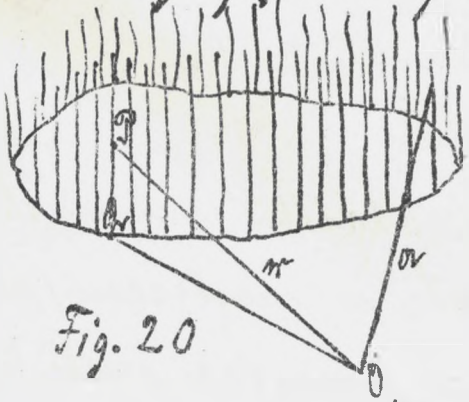


Fig. 20

punkt P , dany przez wektor r

$$r = OQ + QP = \text{punkt } Q \text{ leży na krzywej, gdzie } v \text{ jest ilością skalarą, } v \text{ oznacza wektor jednost.}$$

$$= \varphi(u) + v \cdot e$$

będzie to ogólnie równanie powierzchni

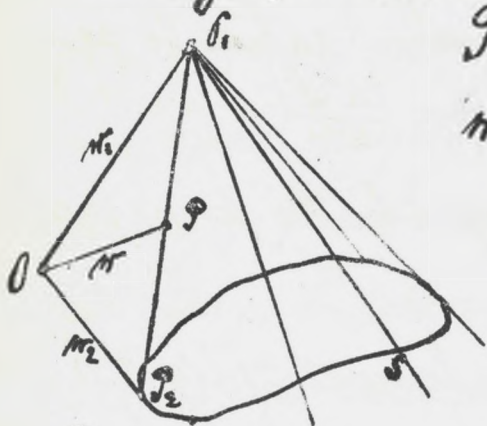
walcowatej. Że to jest równanie powierzchni, młdai stąd, że mamy 2 parametry niezależne, a że walcowata, — wynika z tego, że mamy v w pierwszej potęgce. Można do niej wykreślić normalną

$$N = U \left[\frac{du}{dv} \quad \frac{dv}{du} \right]$$

$N = U [\Phi'(u) v]$ normalna musi być zawrta

do v prostopadła góra: $v \cdot N = (v \cdot [\Phi'(u) v]) = 0$

Wzrmy ogólny pomiarchnię stożkowe (fig. 21.)



Przmknt P, dany jest przesr punkt α ; z przmkntu tego wykreślamy prostą, ślizgającą się po krawędzi zewnętrznej S. Wektor przmkntu P krzywej na prostej

Fig. 21.

jest α , przmkntu P_2 na krzywej α_2

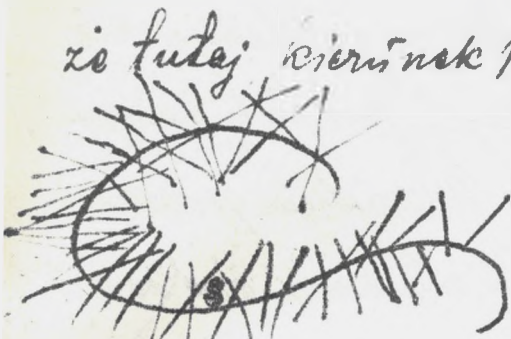
$$\alpha_2 = \Phi(u) \quad \overline{P_1 P_2} = \alpha_1 - \alpha_2$$

$$n = \alpha_1 + v(\alpha_1 - \alpha_2)$$

$$= \alpha_1 + v(\alpha_1 - \Phi(u))$$

W odpowiedni sposób można określić pomiarchnię utworzoną przesr punkt prostej α przecięcia (pomiarchnię pomijalną). Mamy punkt μ układu O i krzywą S (fig. 22.). W każdym jej przmkntie wykreślamy prostą, ale okierunkowaną dowolnie. Równanie tej pomiarchni otrzymujemy α podobny sposób, jak równanie pierwsz pomiarchni walcowatej, tylko

ze tutaj kierunek prosty tworzący w jest zmienny,
a zatem także funkcje μ .



$$\pi = \Phi(u) + v \Psi(u) \quad \text{Tak}$$

tworzy się n. p. hyperbola

Fig. 22.

jednopunktowa.

Jeżeli taka powierzchnia prostokształtna ma być odwi-
jalna, to warunkiem wystarczającym jest żeby pros-
to były zawrte do pewnej krzywej przestrzennej stycz-
niami. Dwie sąsiednie (proste) styczne określają płaszczyznę,
a zatacając ją ^{ja} wzdłuż stycznych po sobie nas-
topujących, można całą powierzchnię odwijać. Rów-
nanie jej otrzymujemy, jeżeli zważymy, że kierunek
wektora $\Phi(u)$ musi być styczny do krzywej. Wtedy
równanie da się sprowadzić do formy

$$\pi = \Phi(u) + v \Phi'(u)$$

Równanie, w którym π jest zależne od 3 zmiennych,

$$\pi = a \varphi(u, v, \pi) + b \psi(u, v, \pi) + i \chi(u, v, \pi)$$

oznacza punkt π przestrzeni, przecięcia trzech powierzchni.

z których każda dostaniemy nadając kolejno po

odpowiednim parametrom wartości stałe. Wektor π będzie

a każdym punkcie snacej rozjętorawy. Dlatego nie
 ma żadnej geometrycznej interpretacji. Jest to typowym
 przykładem zastosowania fizyce. W każdym punkcie
 jest dany n. p. wektor siły co do wielkości i co do kie-
 runku, kardecum punktomu odpowiada pewna war-
 tość siły, albo poogóle wektora fizycznego (pole wektor-
 ne). We wszystkich przykładach fizyki znajduje się pewna
 wspólna własność, dająca się oprowadzić do ogólnych
 praw, które można umarzać za pomocą geometrii o róż-
 nych działach (n. p. Föppla: Geometrie der Wirbelfelder).
 Cały szereg twierdzeń jest tu natury zupełnie ogólnej,
 bez względu na to, czy chodzi o siły, czy o inne wek-
 tory fizyczne.

Ważną rolę odgrywa operator:

$$\nabla = i \frac{\partial}{\partial x} + j \frac{\partial}{\partial y} + k \frac{\partial}{\partial z}$$

I. Działanie wykonujemy na funkcji skalarnej

$$U = f(x, y, z)$$

$$\nabla U = i \frac{\partial U}{\partial x} + j \frac{\partial U}{\partial y} + k \frac{\partial U}{\partial z} \quad \text{przedstawia nam}$$

to geometrycznie wektor prostopadły do powierzchni

$U = \text{const}$, a wielkość jego określa się jako gradient

zmienności U w kierunku normalnym (czy U uważamy za potencjał ∇U jest wektorem siły).

II. Stosujemy ∇ do wektora $\pi = iu + jv + k w$ i otrzymamy iloczyn skalarny ($\nabla \pi$) wykonując otrzymanymi:

$$(\nabla \pi) = \frac{\partial u}{\partial x} + \frac{\partial v}{\partial y} + \frac{\partial w}{\partial z} = \text{div } \pi \text{ (divergencja } \pi), \text{ gdy}$$

π jest prędkością ciekły, wypływającą $\text{div } \pi$ przedstawia nadmiar ilości cieczy wypływającej z jednostki objętości ponad tę, która wpływa do jednostki objętości.

III. Jeżeli ∇ stosujemy do π w formie iloczynu wektorowego, to

$$[\nabla \pi] = \begin{vmatrix} i & j & k \\ \frac{\partial}{\partial x} & \frac{\partial}{\partial y} & \frac{\partial}{\partial z} \\ u & v & w \end{vmatrix} = \text{rot } \pi$$

Mozna to interpretować jako rotację prędkości w kierunku osi z , poruszając się. Jeżeli bryła sztywna posiada ruch postępowy i obrotowy, to okazuje się, że $\text{rot } \pi$ jest równa wektorowi, przedstawiającemu wirowanie, kierunkiem wektora jest oś, około której wirowanie następuje, a wielkość jednójną prędkości wirowania. Jeżeli więc rot wektora jest zerem, to powiadaemy, że wektor jest poruszony w sposób niewrotowy. —

Bezpośrednio kombinowaliśmy ze sobą, pozostawiając trzy operacje.

$\nabla \times \text{div}$ nie ma żadnego specjalnego znaczenia.

$\text{div } \nabla U = \nabla^2 U$ jest to znany operator Laplace'a

$\text{rot } \nabla U = 0$ Każdy wektor ∇U jest potencjalny + przeciwnie nie odwrotnie.

$\text{div rot } \eta = 0$ Każdy wektor potencjalny w sposób przeciwny ma divergencję znikającą (jest niesiślinny).

Wzimy dalej:

$$\text{rot rot } \eta = \begin{vmatrix} i & j & k \\ \frac{\partial}{\partial x} & \frac{\partial}{\partial y} & \frac{\partial}{\partial z} \\ \left| \frac{\partial}{\partial y} \frac{\partial}{\partial x} \right| & \left| \frac{\partial}{\partial z} \frac{\partial}{\partial x} \right| & \left| \frac{\partial}{\partial z} \frac{\partial}{\partial y} \right| \end{vmatrix} =$$

$$i \left\{ \frac{\partial}{\partial y} \left(\frac{\partial v}{\partial x} - \frac{\partial u}{\partial y} \right) - \frac{\partial}{\partial z} \left(\frac{\partial u}{\partial z} - \frac{\partial w}{\partial x} \right) \right\} + \dots =$$

$$= i \left\{ \frac{\partial^2 v}{\partial x \partial y} + \frac{\partial^2 w}{\partial x \partial z} - \frac{\partial^2 u}{\partial y^2} - \frac{\partial^2 u}{\partial z^2} \right\} + \dots$$

Dodawamy $\frac{\partial^2 u}{\partial x^2}$ i odejmujemy $-\frac{\partial^2 u}{\partial x^2}$

$$= i \frac{\partial}{\partial x} \left(\frac{\partial u}{\partial x} + \frac{\partial v}{\partial y} + \frac{\partial w}{\partial z} \right) - i \nabla^2 u + \dots$$

składając. Odpowiednio dla j i k otrzymamy

$$\text{rot rot } \eta = \nabla \text{div } \eta - \nabla^2 \eta$$

Przeprowadzimy teraz odpowiednik tensorowy całkowych przy pomocy rachunku wektorowego, zaczynając

jęc od twierdzenia Stokes'a. Twierdzenie to odnosi się do zamkniętej powierzchni nad krzywą, zamkniętą, niezerową pomiarachową nad pomiarachową, prostokątną powierzchnią jako brzeg

$$\mathbf{A} = i F + j G + k H$$

$$dS = i dx + j dy + k dz$$

$$\int (\mathbf{A} \cdot d\mathbf{S}) = \int F dx + G dy + H dz =$$

$$\iint (\mathbf{n} \cdot \text{rot } \mathbf{A}) dS$$

To jest identyczne z tym, co nazywamy twierdzeniem Stokes'a porównaj, jeżeli zamierzamy, że \mathbf{N} jest wektorem prostokątnym do tej powierzchni; składowe jego są $\cos N_x$ $\cos N_y$ $\cos N_z$ a składowe potęgami są

$$\left(\frac{\partial H}{\partial y} - \frac{\partial G}{\partial z}\right) \text{ i.t.d. Daje to po restawieniu iototnie}$$

twierdzenia Stokes'a, znane w formie współrzędnych prostokątnych. Stąd wyprowadza się wniosek następujący:

Jeżeli mamy wektor \mathbf{A} , rozmierny w przestrzeni w ten sposób, że cała linia między dwoma jego punktami materialna jest odkształca drogą, to lewa strona dla drogi zamkniętej zanika a zatem i prawa jest zerem.

Jest to możliwe tylko wtedy, gdy rot $\mathbf{A} = 0$ czyli wektor \mathbf{A} potencjalny jest mierzony (potencjałowo).

Twierdzenie Gaussa odnosi się do powierzchni zamkniętych. W symbolicznej postaci przedstawia się

$$\iint (\mathbf{m} \cdot \mathbf{n}) dS = \iiint \text{div } \mathbf{m} dv$$
 W celu łatwiejszej interpretacji przyjmijmy że \mathbf{m} jestto prędkością płynu. W elektrostatyce braliśmy jako \mathbf{m} ilość linii sił; pamiętajmy, że jeżeli $\text{div} > 0$ istnieją powierzkowe linie sił, które nasypały masami dodatnimi elektryczności, jeżeli $\text{div} < 0$ to istnieją konce linii sił, czyli masy ujemne.

Identyfikacja wzoru wektorowego z twierdzeniem Gaussa można sprawdzić stawiając $\mathbf{m} = \nabla U$, wtedy otrzymujemy

$$\iiint \nabla^2 U dv = -4\pi \iiint \rho dv$$

Dla $\mathbf{m} \neq \nabla U$ (wirowego) otrzymalibyśmy zero, co łatwo pojąć, jeżeli twierdzenie nasze przedstawimy sobie graficznie przez linie sił, bo wektory wirowe mają linie sił zamknięte, które nie wychodzą, nie

poza daną powierzchnię.

Do pozostałego jeszcze twierdzenia Green'a nie stosujemy form wektorowych, gdyż to twierdzenie odnosi się do funkcji czysto skalarnych.

Zastosowanie tych twierdzeń w razie ogólnym:

Większą część twierdzeń natury ogólnej można powtórzyć jako zastosowanie geometrii pól wektorowych.

I. Jeżeli wektor niemierony oznacza (siłę) potencjał, to oblicza się siłę

$$f = \nabla U$$

$$\operatorname{div} f = \nabla^2 U$$

$$U = \iiint \frac{\rho dv}{r} = \frac{1}{4\pi} \iiint \frac{\nabla^2 U}{r} dv$$

To jest ważne dla potencjałów skalarnych. Chodzi przy tem jeszcze o złączenie pewnych stałych rodzaju stałych całkowania. Jeżeli $\nabla^2 f = 0$, to z tego nie wynika że $f = 0$ bo można dać jakąś funkcję

$f(x, y, z)$. To ma miejsce n.p. w elektrostatyce, gdzie przez jakąś przestrzeń mogą przechodzić linie sił, nie mając tam ani początku, ani końca.

II. Drugi przypadek fundamentalny zachodzi, gdy wek-

ten jest rozłożony w sposób nieliniowy, co odnosi się do sił elektromagnetycznych. Charakterystyką, przy tym jest to, że okrężając przewodnik wykonujemy pewną pracę skończoną, całość nad krzywą zamkniętą $\oint ds$ nie jest potencjałem. W tym wariancie napiszemy

$\oint = \text{rot } \mathcal{A}$ nie stosujemy teraz już różniczkowania, ale operację rotacji, co daje nam potencjał wektorowy.

$$\text{rot } \oint = \text{rot rot } \mathcal{A} = \nabla \text{div } \mathcal{A} - \nabla^2 \mathcal{A}$$

Tutaj da się wywnioskować, że potencjał wektorowy \mathcal{A} można zawsze tak dobrać, że $\text{div } \mathcal{A} = 0$ a przez to ogólna równość nie zmienia

$\text{rot } \oint = -\nabla^2 \mathcal{A}$ jest to kontakt trójwymiarowy Poissona wynika stąd, że $\mathcal{A} = \iiint \frac{\text{rot } \oint}{r} dv$

To jest definicja potencjału wektorowego. Można wykazać, że z tego przedstawienia przechodzi się do prawa Biot & Savarta. Jeżeli siła elektryczna da się wyrazić przez potencjał wektorowy, to prawo jej działania będzie identyczne z tym, co postulujemy jako pra-

no Poit & Savarta. Wszystkie to porwania mia nió do-
tyczają tylko elektryczności; chodzi jedynie o rozmieszcze-
nie wektorów w przestrzeni; z tego punktu widzenia
prawo Coulomba i prawo Newtona nabierają szere-
gólnego znaczenia. Nasuwa się pytanie, dlaczego zar-
az napotykaemy $\frac{1}{r^2}$. Na podstawie rachunku wektoro-
wego jest to bardzo zrozumiałe; pokazuje się, że każ-
dy wektor f można rozłożyć na 2 części, — jedną po-
tencjalną, a drugą, wektorową.

$f = \nabla U + \text{rot } A$ każda z tych części da się
tak wyznaczyć, jak tworzymy wektory. Wektory
zaś tworzymy tak, że występuje odwrotność $\frac{1}{r}$ a
przy różniczkowaniu musi wystąpić $\frac{1}{r^2}$ jest to
niezależnie właściwość naszej przestrzeni trójwymiarowej.

Teorya Maxwella.

Przy zjawiskach indukcji zdarzają się wypadki, gdzie teorya dawna zjawisk elektrycznych nie jest zadośćuczynająca. Tak n. p. przy rozbrojeniu kondensatora: jeżeli zjawisko rozbrojenia nie jest zbyt szybkie, można obliczyć na podstawie dawnej teoryi współczynniki samoinducacji i indukcji wzajemnej; ale jeżeli vibrator się składa z przewodników o małych rozmiarach i nie posiadających kształtu liniowego (druty), gdzie występują prądy szybko zmieniających współczynników w ten sposób obliczyć nie można. Można powiedzieć, że dawna teorya dała się stosować do prądów niebyle szybko zmieniających, prawie stacjonarych, zamkniętych (znasi stationair). Występuje kwestya, jak należą teoryę uogólnić, jeżeli się chce objąć także zjawiska prądów szybko zmieniających. Werynił to Maxwell na podstawie porównawczo bardzo krótkich, wychodząc z pojęcia struk-

twory eteru, z analogiemi zjawisk elektrycznych i magnetycznych, do hydrodynamicznych (zjawiska prądu pochodzą od pewnych ruchów wirowych w eterze).

W Dziele "Faraday's Kraftlinien" przedstawia swój pogląd na strukturę eteru, który go naprowadziło na to, co narysował Dris równaniami Maxwella. Pierwsza ta część nie uzyskała uznania, dopiero gdy Helmholtz sprawdził doświadczalnie wnioski z niej wyszywane, przyjęła się ogólnie. Co stanowi jej jądro, - trudno wypowiedzieć kilkoma słowami. Jedni utrzymują, że jest nim pojęcie poruszenia siły, jeno actio in distans i przyjęcie siły i przyjęcie siły działającej tylko na najbliższe punkty. Prawda jest, że Maxwell ten pojmuje siłę i wydatuje się to o tem, że etera się rozciąga i w przestrzeni wytworzonej podobnie jak siły w ciałach sprężystych, - ale w pomiarach to się nie wydatuje, bo równania dają się interpretować w jeden i drugi sposób. Inni twierdzą, że zasadniczą różnicą między równa-

niemi Maxwella i Darwusowi jest to, iż jego równa-
nia są różniczkowe, a to, któremu operowali Dar-
wi matematycy, były całkowe. Po Datzery przedo-
wszystkicem trzema głównych zasad elektromagnetyzmu
1) zasady siły magnetyzacji; 2) zasady indukcji,
i 3) zasady energii. Są to 3 zasady główne, które Max-
well przeistoczył w równania odnoszące się do płaszczy-
zn i przestrzeni porzecznych. Ponadto należą do teorii
Maxwella pewne pobożne hipotezy n. p. o prądach pola-
ryzacji.

Luzniemy się teraz przerebieniem zasad, które
już znamy, w formę równań różniczkowych. Zasa-
da (Faradaj) elektromagnetyzmu znamy w formie pra-
wa Biot i Savarta, albo też w sformułowaniu, że si-
ła jest wyrażona jako pochodna potencjału $U = i \omega$
zwróżyć przewodników, albo też $\mathbf{H} = \text{rot } U$, zarówno całej
przestrzeni, gdzie $U = \int \frac{J d\omega}{r}$. Należą to przekształcenia i rów-
nania różniczkowe, do czego użyjemy prawa Biot et
Savarta, a to w nieco odmiennej formie. Jeżeli mamy

przewodnik i wyobrażamy sobie drogę taką, która go raz okrąży, to powiemy, że praca, wykonana podczas obrotu przewodnika przez jednostkowy biegnię magnetyczny $\mathcal{P} = 4\pi i$, gdzie i jest ^{gęstością} natężeniem prądu, przechodzącego przez przewodnik.

Zastanówmy to wprzód przewodnika zupełnie ogólnego, powiemy mianowicie, że cała przestrzeń ^{gęstości} jest przewodząca i że istnieją pewne składowe ^{gęstości} prądów μ, ν, π, κ kierunkach osi x, y, z ; μ, ν, π są to ilości prądu, przechodzące na sekundę przez cm^2 prostopadle do osi x, y, z .

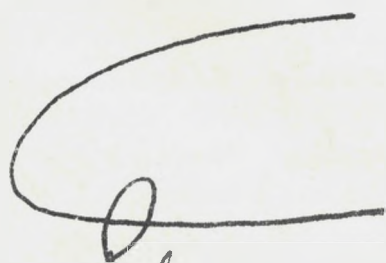


fig. 23.

Przez element, równoległy do płaszczyzny rysunku (fig. 24.) o bokach dx, dy przechodzi prąd $\kappa dx dy$, a $\mathcal{P} = 4\pi \kappa dx dy = \boxed{\mathcal{P}}$

(praca, wykonana przy obrocie). Występuje przy tem siła magnetyczna $f \begin{Bmatrix} L \\ M \\ N \end{Bmatrix}$, której kierunek uzyskamy stosując regułę Ampère'a; wobec tego

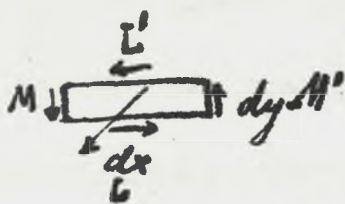


fig. 24.

$$\begin{aligned}
 4\pi\sigma dx dy &= \\
 &= M'dy - Mdy + Ldx - L'dx \\
 4\pi\sigma &= \frac{M' - M}{dx} - \frac{L' - L}{dy} = \\
 &= \frac{\partial M}{\partial x} - \frac{\partial L}{\partial y}
 \end{aligned}$$

To jest pierwsze równanie różniczkowe Maxwella. Element można było przyjąć odpowiednio równoległe skierowany do innych osi:

$$\begin{cases}
 4\pi u = \frac{\partial N}{\partial y} - \frac{\partial M}{\partial z} \\
 4\pi v = \frac{\partial L}{\partial z} - \frac{\partial N}{\partial x} \\
 4\pi w = \frac{\partial M}{\partial x} - \frac{\partial L}{\partial y}
 \end{cases}$$

Równania te zawierają zasadę elektromagnetyzmu. Można je połączyć w jedno, tworząc je kołysto przez wektory jednostkowe i, j, k i dodając.

Wtedy otrzymamy się:

$$4\pi J = \text{rot } f = \begin{vmatrix} i & j & k \\ \frac{\partial}{\partial x} & \frac{\partial}{\partial y} & \frac{\partial}{\partial z} \\ L & M & N \end{vmatrix}$$

Zauważymy zaraz, że do tego samego wyniku można było dojść używając symbolów wektorowych, a to właśnie

nie za pomocą potencjału wektorowego:

$$\mathbf{f} = \text{rot } \mathbf{U} \quad \text{przynajmniej } \mathbf{U} = \int \frac{\mathbf{J} d\mathbf{r}'}{r}$$

$$\text{rot } \mathbf{f} = \text{rot} \cdot \text{rot} \cdot \mathbf{U} = \nabla \text{div } \mathbf{U} - \nabla^2 \mathbf{U}$$

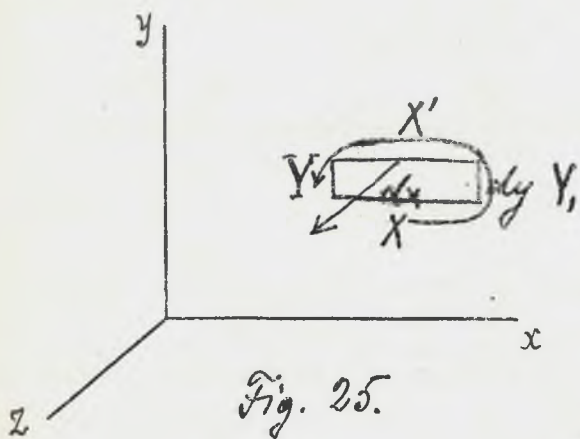
Stosując równanie Poissona $4\pi \rho = -\nabla^2 U$ otrzymamy w tym (zwykle) wypadku $-\nabla^2 U = 4\pi J$ (Należy mieć przedni znak i w miejsce gęstości). A to jest równanie, które otrzymaliśmy przedtem. Pominięliśmy tu składnik $\nabla \text{div } \mathbf{U}$, a to dlatego, że \mathbf{U} można zawsze w ten sposób dobrać, by $\nabla \text{div } \mathbf{U} = 0$; żądany bowiem jedynie, by jego postać była określona.

W podobny sposób transformujemy równania indukcji. Zasada była następująca: Siła elektromotoryczna \mathcal{E} w przewodniku zamkniętym indukcyjnym, równa się mitykowi (podczas 1 sekundy) linii sił, przechodzących przez powierzchnię przewodnika

$$\mathcal{E} = -\frac{d\phi}{dt} = -\frac{d}{dt} \int H_{\mu} dS$$

Do zasady stojącej teraz do odpowiedniego płaszczyzny $dx dy$. Pomiarai całą przestrzeń umiemy za przenożącą, będzie nas interesował siła w różnych

częściach tej powierzchni. Wiemy, że przesłona zmienia się liniami sił, przechodzącymi przez powierzchnię jest w związku z siłą, wokółą indukcji. Przy tem za dodatnie uważamy te linie sił, które upadają na po-
 Twardziwą stronę powierzchni, t. zn. na tę, która odpi-
 rny obiegają przez prąd, zgodnie ze wskazówką zegara.
 Jeżeli więc siła jest skierowana ku nam (fig. 25.), da-
 jemy jej znak +, a wtedy wytek z równy jest si-
 le \mathcal{E} w tym kierunku in-
 dukcji.



$$-\frac{d}{dt} (N dx dy) = +(Y' - Y) dy - (X' - X) dx$$

$$-\frac{\partial N}{\partial t} = \frac{\partial Y}{\partial x} - \frac{\partial X}{\partial y}$$

Jeżeli przekroci jest wypełniona pewnym ośrodkiem, któ-
 ry ma stałą magnetyczną różną od 1, należy jeszcze
 lewą stronę pomnożyć przez μ . W ten sposób otrzy-
 mamy

$$\left. \begin{aligned} -\mu \frac{\partial M}{\partial z} &= \frac{\partial Z}{\partial y} - \frac{\partial Y}{\partial z} \\ -\mu \frac{\partial M}{\partial z} &= \frac{\partial X}{\partial z} - \frac{\partial Z}{\partial x} \\ -\mu \frac{\partial N}{\partial z} &= \frac{\partial Y}{\partial x} - \frac{\partial X}{\partial y} \end{aligned} \right\}$$

A w jednym równaniu:

$$-\mu \frac{\partial f}{\partial z} = \text{rot } f, \text{ gdzie } f \begin{cases} X \\ Y \\ Z \end{cases}$$

Pozostaje jeszcze bracia zasada, zasada energii. Wyrazalismy ja poprzednio w roznych formach, tak np. $W = \frac{1}{2} \sum Q U$ i innych. Obecnie przyjdzie mijeny, ze ogolnie wazne jest takie wyrazenie na energie:

$$W = \frac{1}{8\pi} \int K (X^2 + Y^2 + Z^2) dv + \frac{1}{8\pi} \int \mu (L^2 + M^2 + N^2) dv$$

W tych trzech równaniach, któreśmy dotychczas poznali, niema nic hipotezyckiego; są one wyrazem tego, co posiadają takie same teorie, tylko w formie innej. Teraz dopiero przychodzi element, który odróżnił teorię Maxwella od innych.

Nowe teorie el. i magn. Art. VI.

Mianowicie to, co się nazywa „prądem elektrycznym” składa się według Maxwella z trzech składników:

1) prąd galwaniczny κf , lub w ogólnym wypadku $\kappa(f - f')$, gdzie f' są to siły elektromotoryczne zewnętrzne, występują one tylko w szczególnych wypadkach, np. w ogniwach galwanicznych tam, gdzie graniczy metal z elektrolitem. Naogół f' występują tam, gdzie panuje siła termoelektryczna lub chemiczna.

2) hipotetyczanie dodaje się do tego prąd polaryzacyjny $\frac{\kappa}{4\pi} \frac{\partial f}{\partial t}$, prędkość κ jest stałą dielektryczności. Ten prąd zależy od zmniejszenia masowej siły elektrycznej i powstaje też w dielektrykach, κf jest pole, wyraża dielektryczność.

3) prócz tego przyjmują się jeszcze dwie składniki prądu konwekcyjnego. Prądy konwekcyjne powstają wtedy, gdy ciało nabitowane elektrycznością,

przesuwamy mechanicznie z pewną prędkością u ;
Maxwell stwierdził, że wywierają one taki sam wpływ
magnetyczny, jak prądy galwaniczne. Wobec tego

$$\mathcal{D} = k(\mathcal{E} - \mathcal{E}') + \frac{K}{4\pi} \frac{\partial \mathcal{H}}{\partial t} + uv \quad (\text{gęstość elektri.})$$

Ostatni składnik uv komplikujący bardzo sprawę
występuje tylko przy ruchu mechanicznym, i daje
się tylko wyjątkowo dostrzec bezpośrednio, (wykrył
go Doświadczalnie Rowland). Składnik ten można na
razie opuścić, ograniczając stosowanie teorii elektro,
magnetyzmu do ciał nieruchomych, t.j. wyklucza-
jąc ruch mechaniczny w obrębie pola.

Na jakiej podstawie przyjął Maxwell drugi składnik?



Jeżeli kondensator (fig. 26) na które,
^{okładkach}
go powstała gęstość $\sigma = \frac{K}{4\pi} X$, poroba-
imy, to prąd przepływa w kierunku
zewnątrznym - Maxwell wyobrażał

sobie, że istnieją tylko prądy zamknięte, przyjął więc,
że wewnątrz kondensatora istnieje taki sam prąd,

Mamy wtedy:

$$G = -\frac{K}{4\pi} X, \text{ więc prąd na powierzchni} \\ \text{okładzek kondensatora} = \text{ubytek gęstości} = \\ = -\frac{\partial G}{\partial t} = \frac{K}{4\pi} \frac{\partial X}{\partial t}$$

Sama argumentacja jest wartości bardzo hipotetycznej, albowiem przyjęcie, że istnieją prądy wewnętrzne, polega na przypuszczeniu, że elektryczność zachowuje się jak fluidum nieściśnialne, a przypuszczenie to ma, cennie swe kardynalne tylko ten, że konsekwencye z niego wypływające zgadzają się z doświadczeniem.

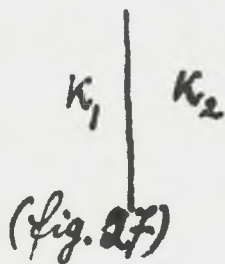
Widzieliśmy, że potł jest z krawędzi z prądem i że według pola magnetycznego mierzymy prąd. Na podstawie przyjęć Maxwella także prąd polary, acyli powinniśmy wyznaczyć siłę magnetyczną. Doświadczał, nie jednak nie można jej zmierzyć, gdyż jeżeli się wstawia igłę magnetyczną w otwór kondensatora, dnia, ta na nią przedwysoblikiem prąd krążący w drucie, który zupełnie zakrywa wpływ prądu polaryzacji

w kondensatorze. Zresztą są to prądy prągnięte, i gła nie może się tak szybko wychylać, tak że niema nadziei, by przeprowadzić bezpośrednio doświadczenia, doświadczenia wplywu prądów polaryzacji. (Wyniki, które otrzymał w tej mierze Whitehead są bardzo blizkie granicy błędów.) Przyjmujemy prądy polaryzacji dlatego, że jedynie na tej podstawie potrafimy wytłumaczyć powstanie fal elektrycznych Hertza.

Wprowadziliśmy stałą dielektryczności k ; w równaniach przyjmaliśmy system jednostek elektromagnetycznych; zatem μ , h i k muszą być wyrażone w jednostkach elektromagnetycznych, podczas gdy wykaże wyraża się je w jednostkach elektrostatycznych, zatem k trzeba podzielić przez c^2 , gdzie c jest prędkością światła.

$$\left\{ \begin{array}{l} \frac{k}{c^2} \nabla^2 \phi + 4\pi h \dot{\phi} = \rho \text{ or } f \\ \mu \nabla^2 \psi = -\rho \text{ or } g \\ W = \iiint \left[\frac{k}{8\pi} \dot{\phi}^2 + \frac{\mu}{8\pi} \dot{\psi}^2 \right] d\tau \end{array} \right.$$

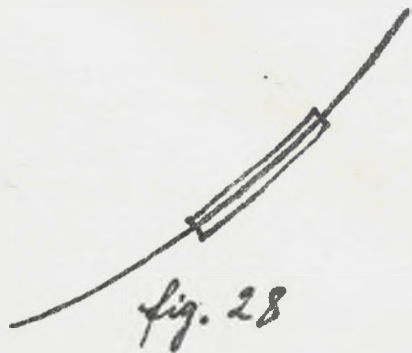
Delokem zatóżeniem Maxwella jest zatóżenie ciążłosci
przejść w warstwach granicznych między Dwoma
obródkami (fig. 27). Wyobraza on sobie, że niema



powierzekhui matematycznej,
gdzieby przejście było nieciągłe
i że równania kasadnicke pozosta-
stają wazne także w swoich
warstwach przejściowych. Jestto przypuszczenie stosow-
wane i w innych partjach fizyki. — Z tego można
wyprowadzić pewne wnioski. — Jeżeli się przypatruje,
my, równaniem 45 $n = \frac{\partial N}{\partial y} - \frac{\partial M}{\partial z}$ itd., to zauważymy,
my, że tam wchodzi w rachubę tylko składowe
styczne, a niema normalnych; występuje tam
np. $\frac{\partial M}{\partial x}$, $\frac{\partial N}{\partial x}$, a niema $\frac{\partial L}{\partial x}$. Gdy więc zatóżymy
ciążłosc przejścia, i zmniejszymy warstwę przejścia
tak, że granica grubosci staje się równa zero, to te
M po obu stronach muszą być jednakoze (bo inaczej
dzieląc $\frac{M_1 - M}{dx}$ otrzymaloby się pochodne nieskońc,

xcenie wielkie.) Ogólnie: przy powierzchniach odgra-
niczających dwa ośrodki siły słyszane po obu stro-
nach powierzchni muszą być jednakowe. Warunek
ten już napotykaaliśmy w elektrostatyce i ma-
gnetyzmie, ale widzimy tu, że ma być ogólnie
ważny. Co do składowych normalnych nie można
tego wywnioskować; mogą one mieć różne warto-
ści i mają je faktycznie.

Można to traktować w sposób bardziej mat.,
matyczny. Wyobraźmy sobie powierzchnię odgra-
niczającą (fig. 28) i drogę wzdłuż niej zamkniętą.



Nad powierzchnią w tej drodze
zarazt tworzymy $\oint \vec{d}\vec{b}$, to we,
Dług Lwierzacenia Lokes'a
 $\oint \vec{d}\vec{b} = \int (\text{rot. } \vec{f} \cdot \vec{n}) dS$. Po lewej stronie
nie mamy pracy wykonanej

przy nakreśleniu tej drogi, daje ona się wyra-
zić przez $\text{rot } \vec{f}$, na którą podstawimy wartość

x równania Maxwella

$$\int \mathcal{L} d\sigma = \int (-\mu \frac{\partial \mathcal{L}}{\partial \mathcal{L}} n) d\mathcal{S}$$

\mathcal{L} siła magnetyczna nie może być nieskończonością wielką, lecz więcej jej pochodną. Jeżeli $d\mathcal{S}$ zrobimy nieskończonością małą, przekaż to, że drogę uwzględnimy, to wypaśnie po prawej stronie dążyć do wartości 0, więc i po lewej stronie mamy 0. To składa się z dwóch części, których suma ma być równa zero. Więc praca w jednym ośrodku równa się pracy w drugim, $d\mathcal{S}$ w obu ośrodkach jest jednakowe, więc przesunięcia styczne są równe. Z tego zrobimy wytek w optyce.

Przyjmijmy obecnie, że równania Maxwella są dane i spróbujmy, czy wnioski stąd wyprowadzone zgadzają się z doświadczeniem.

$$\begin{array}{l|l} \frac{\kappa}{c^2} \frac{\partial X}{\partial t} = -4\pi \lambda X + \frac{\partial N}{\partial y} - \frac{\partial M}{\partial z} & \mu \frac{\partial L}{\partial t} = \frac{\partial Y}{\partial z} - \frac{\partial Z}{\partial y} \\ \frac{\kappa}{c^2} \frac{\partial Y}{\partial t} = -4\pi \lambda Y + \frac{\partial M}{\partial x} - \frac{\partial L}{\partial z} & \mu \frac{\partial M}{\partial t} = \frac{\partial Z}{\partial x} - \frac{\partial X}{\partial z} \\ \frac{\kappa}{c^2} \frac{\partial Z}{\partial t} = -4\pi \lambda Z + \frac{\partial L}{\partial z} - \frac{\partial N}{\partial x} & \mu \frac{\partial N}{\partial t} = \frac{\partial X}{\partial y} - \frac{\partial Y}{\partial x} \end{array}$$

$$W = \frac{1}{8\pi} \iiint k(x^2 + Y^2 + Z^2) dv + \frac{1}{8\pi} \iiint \mu(L^2 + M^2 + N^2) dv$$

Po lewej stronie równań mamy pochodne czasowe a po prawej wielkości, które się odnoszą do rozkładu, nie miejscowego. Jest to ogólny typ równań w fizyce przyjętych. Jeżeli mamy rozkład pewnych wielkości fizycznych w przestrzeni, to na podstawie równań fizycznych potrafimy powiedzieć, jak z czasem zmienią się rozkład tych wielkości fizycznych.

Widoczna jest także symetria tych równań; gdyby $k=0$, istniałaby zupełna symetria pól sił elektrycznych i magnetycznych. Istotnie zjawiska elektryczne i magnetyczne posiadają pewną analogię. Myśl tę rozwijał Heaviside, fizyk angielski, który się przychylił do matematycznego rozwinięcia teorii Maxwella przez wprowadzenie rachunku wektorowego. Operuje on głównie za pomocą Nowe teorie el. i magn. Ark. VII.

analogii zjawiska jednego i drugiego rodzaju.
Różnica polega na tem, że istnieją przewodni-
ki i prądy elektryczne, a nie ma przewodni-
ków magnetycznych, a wskutek tego może po-
stać prędywistość ładunku elektrycznego, lecz nie
może się nagromadzić prędywistość masa ma-
gnetyczna. Gęstość prędywistego ładunku ele-
ktrycznego nazywamy $\rho_{el} = \frac{\text{div } \mathbf{K}}{4\pi}$ — jest to iden-
tyczne z równaniem Poisson'a. Jeżeli \mathbf{K} jest stale,
to:

$$\rho_{el} = \frac{\kappa}{4\pi} \text{div } \mathbf{f} = -\frac{\kappa}{4\pi} \left(\frac{\partial X}{\partial x} + \frac{\partial Y}{\partial y} + \frac{\partial Z}{\partial z} \right) = -\frac{\kappa}{4\pi} \nabla^2 U$$

Odpowiednia Definicja dla magnetyzmu, gdyby
istniała gęstość prędywista, byłaby $\rho = \frac{\text{div } \mu \mathbf{f}}{4\pi}$.

Gęstość ładunków powierzchniowych na granicy
dwóch środków, σ , woziamy za granicę gęstości
pracebrkowej, mianowicie za lim stosunku ma-
sy wewnątrz zawartej do powierzchni.

$$\sigma_n = \lim \frac{\int_{\mathcal{S}} \rho_{el} dV}{dS} = \frac{1}{4\pi} \frac{\int \text{div } \mathbf{K} dV}{dS}$$

Według twierdzenia Gaussa $\int \text{div } \mathbf{D} dV = \int \mathbf{D}_n dS$,
 a zatem w tym wypadku

$$\frac{1}{\sqrt{\epsilon}} \frac{\int \text{div } \mathbf{E} dV}{dS} = \frac{1}{\sqrt{\epsilon}} \frac{dS (K_1 \epsilon_{1n} + K_2 \epsilon_{2n})}{dS}$$

$$\epsilon_n = \frac{1}{\sqrt{\epsilon}} (K_1 \epsilon_{1n} + K_2 \epsilon_{2n}) = \frac{1}{\sqrt{\epsilon}} (\epsilon_{1n} + \epsilon_{2n})$$

Źnacza się składową polaryzacji elektrycznej.
 To jest znów identyczne z pojęciem gęstości po-
 wierzchniowej elektryczności, którą formalizmy
 w elektrostatyce. Jeżeli U jest potencjał, to $\epsilon_{1n} =$
 $= -\frac{\partial U_1}{\partial n}$, stąd

$$\epsilon_n = -\frac{1}{\sqrt{\epsilon}} \left(\frac{\partial U_1}{\partial n_1} + \frac{\partial U_2}{\partial n_2} \right).$$

Co do odpowiedniej wartości magnetyzacji Defi-
 nicja jest analogiczna, ale niemy, że rzeczy,
 wistej gęstości magnetyzacji nie ma.

Czasem rozpatruje się pojęcie gęstości prądu,
 Dziej elektrycznej lub magnetycznej.

$$\mathcal{J} = \frac{\text{div } \mathbf{J}}{\sqrt{\mu}}$$

$$\mathcal{J} = \frac{1}{\sqrt{\mu}} (\mathcal{J}_{1n} + \mathcal{J}_{2n}), \text{ a różnicę}$$

jednej i drugiej narzucają, ponowną, gęstość; nie ma ona większego znaczenia, wyjąwszy, może, wtedy, gdy się chce interpretować teorię Poissona, na punkcie widzenia teorii Maxwella.

Powróćmy do wniosków ogólnych, które można wyprowadzić z równań Maxwella. Wypiszmy je

$$\left\{ \begin{array}{l} 1) \quad k \frac{d\phi}{dr} + 4\pi h f = \text{rot } f \\ 2) \quad \mu \frac{d\phi}{dr} = -\text{rot } f \\ 3) \quad W = \frac{1}{8\pi} \int (k f^2 + \mu f^2) d\sigma, \end{array} \right.$$

nadto możemy dodać warunek na powierzchni odgraniczającej dwa ośrodki. Stosujemy operację div .

$$\text{div} \left(k \frac{d\phi}{dr} \right) + 4\pi h \text{div } f = \text{div rot } f = 0$$

Przyjmujemy, że właściwości ciała nie zmieniają się z czasem, więc k możemy objąć różniczką, a również div można wprowadzić pod znak różniczkowania

$$\frac{d}{dt} (\text{div } k \frac{d\phi}{dr}) + 4\pi h \text{div } f = 0$$

ale $\text{div } \mathbf{K} \mathbf{f} = 4\pi \rho$; $\text{div } \mathbf{f} = \frac{4\pi \rho}{\kappa}$

$\frac{\partial \rho}{\partial t} + \frac{4\pi \kappa}{\kappa} \rho = 0$, wobec tego $\rho = \rho_0 e^{-\frac{4\pi \kappa}{\kappa} t}$, to zna-

czy, że gęstość elektryczności w każdym miejscu, gdzie κ jest stałe musi spadać z czasem według funkcji wykładniczej, to znaczy, że elektryczność musi zanikać, musi się wy równać wskutek prądu, znikania; tem prędzej to nastąpi, im większe jest κ .

Ponieważ niema idealnych izolatorów, to cała gęstość elektryczności musiałaby zaniknąć z czasem, gdyby nie było źródeł elektryczności. Obserwujemy gęstość elektryczności dlatego, że równa, nie to nie jest ważne dla wypełnionych miejsc przestrzeni, wykluczylibyśmy bowiem ruch ciał oraz miejsca, gdzie istnieje \mathbf{f} , siła elektromotoryczna, powstająca wskutek sił chemicznych i termicznych, to znaczy źródła elektryczności.

Przejdźmy teraz do innej konsekwencji wypisanych równań. Obliczymy prądową ampie-

nie energii pola elektrycznego:

$$\frac{\partial W}{\partial t} = \frac{1}{4\pi} \iiint (K \epsilon \frac{\partial \epsilon}{\partial t} + \mu \int \frac{\partial \mathcal{L}}{\partial t}) dv$$

Podstawimy wyrażenia z równań zasadniczych
Maxwella

$$\frac{\partial W}{\partial t} = \frac{1}{4\pi} \iiint (\epsilon \operatorname{rot} \mathcal{L} - 4\pi h \epsilon^2 - \mathcal{L} \operatorname{rot} \epsilon) dv$$

$$\frac{\partial W}{\partial t} = \frac{1}{4\pi} \iiint [\epsilon \operatorname{rot} \mathcal{L} - \mathcal{L} \operatorname{rot} \epsilon] dv - \iiint h \epsilon^2 dv$$

Pierwszą całkę można przekształcić. Służąc się twierdzeniem z rachunku wektorowego, że jeżeli mamy dwa wektory \mathcal{A} i \mathcal{B} , to

$$\mathcal{A} \operatorname{rot} \mathcal{B} - \mathcal{B} \operatorname{rot} \mathcal{A} = \operatorname{div} [\mathcal{A} \mathcal{B}], \text{ to}$$

$$A_1 \begin{vmatrix} \frac{\partial}{\partial y} & \frac{\partial}{\partial z} \\ B_2 & B_3 \end{vmatrix} + A_2 \begin{vmatrix} \frac{\partial}{\partial z} & \frac{\partial}{\partial x} \\ B_3 & B_1 \end{vmatrix} + A_3 \begin{vmatrix} \frac{\partial}{\partial x} & \frac{\partial}{\partial y} \\ B_1 & B_2 \end{vmatrix} -$$

$$- \left\{ B_1 \begin{vmatrix} \frac{\partial}{\partial y} & \frac{\partial}{\partial z} \\ A_2 & A_3 \end{vmatrix} + B_2 \begin{vmatrix} \frac{\partial}{\partial z} & \frac{\partial}{\partial x} \\ A_3 & A_1 \end{vmatrix} + B_3 \begin{vmatrix} \frac{\partial}{\partial x} & \frac{\partial}{\partial y} \\ A_1 & A_2 \end{vmatrix} \right\} =$$

$$= \begin{vmatrix} A_1 & A_2 & A_3 \\ \frac{\partial}{\partial x} & \frac{\partial}{\partial y} & \frac{\partial}{\partial z} \\ B_1 & B_2 & B_3 \end{vmatrix} - \begin{vmatrix} B_1 & B_2 & B_3 \\ \frac{\partial}{\partial x} & \frac{\partial}{\partial y} & \frac{\partial}{\partial z} \\ A_1 & A_2 & A_3 \end{vmatrix}$$

Łbieramy $A_1 \frac{\partial B_3}{\partial y} + B_3 \frac{\partial A_1}{\partial y} = \frac{\partial}{\partial y} (A_1 B_3)$, a odpowiedni sposób obliczy się i inne wyrażenia, a jeżeli rozwinniemy $\text{div}[\alpha \mathcal{L}]$ otrzymamy to samo.

$$- [\alpha \mathcal{L}] = \begin{vmatrix} i & j & k \\ A_1 & A_2 & A_3 \\ B_1 & B_2 & B_3 \end{vmatrix}$$

Jeżeli bierzemy div z tego, to A, B_3 znajdzie się rze, wyrażenie przy $\frac{\partial}{\partial y}$ i t.d. -

Opierając się na tem, napiszemy

$$\frac{\partial W}{\partial \xi} = \frac{1}{4\pi} \iiint \text{div}[\mathcal{L} f] d\sigma - \iiint k \mathcal{L}^2 d\sigma,$$

a całkę przestrzenną z div można zamienić na powierzchniową według twierdzenia Gaussa

$$\frac{\partial W}{\partial \xi} = \frac{1}{4\pi} \iint [\mathcal{L} f]_n dS - \iiint k \mathcal{L}^2 d\sigma.$$

Zmiana energii w przestrzeni ładunek składa się zatem z dwóch części, z których pierwsza odnosi

się do powierzchni przestrzeni, a druga do wnętrza. Ten drugi stałownik jest to ciepło Joule'a, bo $\mathcal{N} \mathcal{E}$ jest prądem w danym kierunku, a $\mathcal{N} \mathcal{E}^2$ ilość ciepła wytworzonego w jednostce czasu. Całkowicie to nad przestrzenią, widzimy, że to porównuje ubytek energii elektromagnetycznej roku, bez tego, że ta energia zamienia się na ciepło.

Pierwsza natomiast część przedstawia przyrost energii; wygląda to tak, jak gdyby energia wptywała do środka z przestrzeni zewnętrznej i jak gdyby istniał prąd energii wyrażony przez iloczyn wektorowy $\mathcal{E} [\mathcal{E} \mathcal{H}]$ to jest stary prąd Poyntinga. Wpływa on na to, że energia w polu elektromagnetycznym zachowuje się tak, jak gdyby była cieniem płynącym, danym przez iloczyn wektorowy $\mathcal{E} \mathcal{H} \sin(\mathcal{E} \mathcal{H})$. Tam, gdzie istnieje równocześnie siła elektryczna i magnetyczna i tam, gdzie nie są one równoległe,

Sam istnieje prąd energii w kierunku prostym,
Dłym do nich.

Oczywiście, że przyjęcie takiego prądu zawiera
w sobie wiele hypotetycznego. Jest to raczej obraz,
który służy do tego, żeby sobie zdać sprawę ze
zmian prądowych energii, ale czy coś takiego
zaczynicie istnieje, tego nie wiemy. Tu można
zrobić karuzelę, że ten rozkład prądu energii jest mo-
żliwym rozkładem, ale nie jedynym możliwym.
Z tego, że siłka ma pewną wartość, nie można
wynioskować jak są rozłożone elementy; czyli
można znaleźć jeszcze inne rozwiązania. To jest
prawda, ale pokazuje się, że (wzajemnych możliwych
rozkładów prądów rozkładu energii wzór Poyntinga
jest najprostszym. Jeżeli obliczymy zmianę energii
w jakiejś przestrzeni występująca, to możemy,
obliczyć ją albo rozkładując średniotowo, jak $\mathcal{E} \cdot \mathcal{J}$
oż, rozmieszczone i wyrachować $\int [\mathcal{E} \cdot \mathcal{J}] dv$, albo obliczyć
Nowe teoryje el. i magn. Ark. VIII.

niepła Foule'a i z osobna suponować, że praca po-
wierzchnię tej przestrzeni wptywa energia do
środku. W każdym razie otrzymujemy rezultat
dobry. Z tego robi się wyztek w niektórych częściach
teorii elektronowej. Pomysł Poyntinga naprowadza,
Dixit na pojęcie materializacji energii.

Wróćmy znów do równań, by wykazać, o ile re-
zultaty otrzymane agadają się z tem, co dotychczas
wiemy o zjawiskach elektrycznych i magnety-
cznych. Zrobimy założenie, że mamy do czynienia
nie z układem niekierowanym z prądem, wtedy
pochodne $\frac{\partial}{\partial t} = 0$. Równania redukują się na

$$4\pi k \phi = \rho \text{ lub } \phi = 0;$$

Z drugiego równania wynika, że ϕ ma mieć poten-
cyal, czyli, że jest rozmieszczony w sposób niewi-
rowy $\phi = -\nabla U$. Takie więc linie sił muszą mieć
początek i koniec, albo przejść do nieskończone-
ści. Rozważmy przytem dwa przypadki.

1) Najprostszym mamy, jeżeli nie ma zmian energii.

Zatem wzędnie pięto Joule'a: $\text{rot } \mathbf{f} = 0$, a stąd wynika, że $\mathbf{f} = 0$. To jest zasadnicze pojęcie elektrostatyki.

$\text{div } \mathbf{f} = \nabla^2 U = 0$ w przewodnikach; a we wnętrzu izolacji $\text{div } \text{rot } \mathbf{f} = \text{rot } \text{div } \mathbf{f} = 0$, o ile izolator nie posiada w sobie jakiegoś sposobu naelektryzowania. Mamy więc ogólnie warunek równania elektrostatyki $\nabla^2 U = 0$. A na powierzchniach odgraniczających 2 ośrodki mamy równanie na σ . Jeżeli wartości σ na powierzchni są dane, można obliczyć rozkład elektryczności (Dirichlet).

Podobnie w wypadku magnetyzmu, gdzie będziemy mieli oddzielnie równanie $\text{rot } \mathbf{f} = 0$ i odpowiadające mu równanie ciągłości. Podobnie paradygmatem zjawisk elektrycznych i magnetycznych. Różnica jest to, że nie obejmuje się teorią sił ferromagnetycznych, zjawisk hysterezy itd., to anacetyczne zjawiska, na których polegają stałe magnety. Gdyby ich nie było, nie istniałby inny magnetyzm prócz elektromagnetyzmu. Wynikło to z tego, że

wypadku, gdzie nie ma zmian energii. \oint równa się zero, wszędzie tam, gdzie k jest równe 0, zero.

2) Jeżeli to ograniczenie poruszamy, przechodzimy do wypadku, gdzie jest wyrażone ciepło Joule'a $k \oint$; siła elektryczna będzie wciąż rosnąć, skona potencjał $\oint = -\nabla U$.

Takie równanie Laplace'a pozostaje ważnym, a mianowicie $\nabla^2 U = 0$. Tylko warunki graniczne się zmieniają, bo teraz powierzchnia przewodni, która nie musi być powierzchnią equipotencyalną. Powstaje kwestja osobna, jak to będzie rozmiernie, nie siły magnetycznej. Musimy odnieść się do wzorów

$$4\pi k \oint = \text{rod } f$$

$$4\pi \mathcal{D} = \text{rod } f \quad \text{wykonajmy działanie}$$

rotacji:

$$4\pi \text{rod } \mathcal{D} = \text{rod } \text{rod } f \\ = \nabla \text{div } f - \nabla^2 f$$

$$f = \text{rod } \text{rod } \mathcal{D}$$

$$= \text{rod } \text{rod } \mathcal{D} = \text{rod } \mathcal{A} = \text{rod } \int \frac{\mathcal{D}}{r} dv, \text{ gdzie } \mathcal{A}$$

jest potencjałem wektorowym.

Rozpiorny wyrażenie

$$-\nabla^2 f = 4\pi \rho \phi$$

Wtedy mamy:

$$-\nabla^2 L = 4\pi \left(\frac{\partial w}{\partial y} - \frac{\partial v}{\partial x} \right)$$

$$-\nabla^2 M = 4\pi \left(\frac{\partial u}{\partial z} - \frac{\partial w}{\partial x} \right)$$

$$-\nabla^2 N = 4\pi \left(\frac{\partial v}{\partial x} - \frac{\partial u}{\partial y} \right)$$

Rozwiązujemy te równania na podstawie równań

Poissona: $-\nabla^2 U = 4\pi \rho$, $U = \int \frac{\rho}{r} dv$.

$$L = \int \frac{\partial w}{\partial y} - \frac{\partial v}{\partial x} dv = \frac{\partial}{\partial y} \int \frac{w dv}{r} - \frac{\partial}{\partial x} \int \frac{v dv}{r} = \frac{\partial H}{\partial y} - \frac{\partial G}{\partial x}$$

Analogicznie dla M i N , przytem F, G, H są składowe potencjału wektorowego A .

Trzeba jeszcze omówić wyrażenie dla energii w danym wypadku. Napiszemy:

$$W = \frac{1}{8\pi} \iiint [K f^2 + \mu f'^2] dv$$

zgodnie z Lem, co formalizujemy inaczej; jako wyrażenie dla energii w teorii elektrostatyki. Ale w elektrodynamice formalizujemy wyrażenie

$$W = \frac{1}{2} L_1 i_1^2 + M_{12} i_1 i_2 + \frac{1}{2} L_2 i_2^2$$

Pytamy, czy i ten wypadek jest objęty powyższym
rozorem. Przyjmijmy dla uproszczenia $\mu = 1$. Ponie,
żaki wiemy, że $f = \text{rot } A$, pierwszy składnik $f^2 = f \cdot \text{rot } A$;
wtedy jest energia magnetyczna

$$W = \frac{1}{8\pi} \int f \cdot \text{rot } A \, dv.$$

A ponieważ wiemy, że

$$\text{rot } \text{rot } A - \text{grad } \text{div } A = \Delta A, \quad \text{to}$$

$$W = \frac{1}{8\pi} \iiint \text{div} [f A] \, dv + \frac{1}{8\pi} \iiint A \cdot \text{rot } f \, dv.$$

Przejdźmy do twierdzenia Gaussa i za pomocą ostatnia-
my wartości z równania Maxwella $4\pi C = \text{rot } f$.

$$W = \frac{1}{8\pi} \iint [f A]_n \, dS + \frac{1}{2} \iiint A \cdot J \, dv.$$

Pierwszy składnik przedstawia pracę powierzchni,
wzrostu, przekroju, nad którą patrzymy. To prawda,
rozchwilę odwołamy do nieskończoności; tam siła
magnetyczna staje się nieskończenie mała, jak
dużo $\frac{1}{r}$, tak samo potencjał wektorowy przebiega $\frac{1}{r}$,
podczas gdy powierzchnia będzie nieskończenie
wielka, przebiega r^2 . W całości zatem praca powierzchni,
staże się wielkością nieskończenie małą, jak $\frac{1}{r}$.

Wobec tego w nieskończoności pierwsza część znikła.
 Jeżeli zatem obejmujemy całe pole magnetyczne
 aż do nieskończoności, to energia magnetyczna

da się wyrazić w formie $W = \frac{1}{2} \iiint \alpha \delta \, dv$. Też for-
 mę można przekształcić wobec tego, że $\alpha = \int \frac{I \, ds}{r}$,
 $W = \frac{1}{2} \iiint \alpha \delta \, dv = \frac{1}{2} \iiint \frac{I^2 \, ds^2}{r^2} \, dv$.

Obrzymano wyrażenie dla energii wzajemnej dwóch
 przewodników jest nieco odmiennie od dawniej wy-
 nego, gdyż wchodzi tu element objętości. Gdybyśmy
 wprowadzili założenie, że przewodniki są liniowe,
 wróciłibyśmy do wyrażenia na energię wzajemną
 dwóch przewodników liniowych w postaci $\frac{i_1 i_2}{2} \iint \frac{ds_1 ds_2}{r}$.
 Takie ogólne wyrażenie dla energii, podane przez
 Maxwella, obejmuje także ten wypadek.

Przejdziemy teraz do wypadku pola zmiennego,
go z prądem. Robimy na razie jeszcze założenie,
 że amiana są absolutnie proste, t. zn. są proste,
 nie, że można pominać składnik $k \frac{\partial \mathcal{H}}{\partial t}$, ale żeby
 składnik $\mu \frac{\partial \mathcal{H}}{\partial t}$ wchodził w rachubę. Ograniczymy

się na równaniach

$$4\pi k f = \text{rot } f$$

$$\mu \frac{\partial f}{\partial t} = - \text{rot } f$$

które reprezentują teorię indukcji elektromagnetycznej.

Chodzi nam o siłę elektromotoryczną indukowaną w przewodniku zamkniętym. Składa się z siły w pojedynczych częściach, cała siła jest całką

$$\int (f \cdot d\sigma) = \int (\text{rot } f)_n dS \text{ (według twierdzenia Stokesa).$$

Wprowadzamy drugie równanie Maxwella, jest więc

$$\int (f \cdot d\sigma) = \int (X dx + Y dy + Z dz) = - \int \mu \frac{\partial I_n}{\partial t} dS$$

$\int I_n dS$ i dS są to operacje od siebie niezależne; jedna jest pochodną czasową, druga odnosi się do powierzchni; można więc porządek przestawić

$$\int (f \cdot d\sigma) = - \frac{\partial}{\partial t} \int \mu I_n dS$$

$\int \mu I_n dS$ przedstawia ilość linii sił przechodzących przez daną powierzchnię. Mamy temu dawe

zamknięcie prądu indukcji, że siła indukowana
równa się ubytkowi linii sił przechodzących przez
dany przewodnik. Wskazywaliśmy, że także zjawiska
indukcji są objęte równaniami Maxwella.

Przechodzimy do pracy nowych, które wybra-
liśmy, poza dawną klasyczną teorię i stawiamy sta-
nowić teorię Maxwella.

Pola elektromagnetyczne szybko- zmiennne.

W przypadku pól elektromagnetycznych szybko-
zmiennych musimy uwzględnić pochodne, cza-
sowe. Na razie dla uproszczenia przyjmujemy,
że mamy do czynienia z izolatorem. Wtedy
 $\text{div } \mathbf{h} = 0$, i otrzymujemy zupełną symetrię
pól. Mamy więc:

$$\frac{\mu}{c^2} \frac{\partial \mathbf{h}}{\partial t} = \text{rot } \mathbf{e}$$

$$\mu \frac{\partial \mathbf{e}}{\partial t} = -\text{rot } \mathbf{h}$$

Przejdźmy do pierwszego równania operacyjnego, rot,
które daje el. i magn. Ark. 17.

a do drugiego $\frac{\partial}{\partial z}$

$$\frac{\mu}{c^2} \frac{\partial \text{rot } \mathcal{L}}{\partial z} = \text{rot } \text{rot } \mathcal{L}$$

$$\mu \frac{\partial^2 \mathcal{L}}{\partial z^2} = -\frac{\partial}{\partial z} \text{rot } \mathcal{L} \quad | \text{ mnożymy przez } \frac{\mu}{c^2}$$

Właściwie jest ogólnie $\text{rot } \text{rot} = \nabla \text{div} - \nabla^2$, ale w tym wypadku mamy $\text{div } \mathcal{L} = 0$, więc

$$\frac{\mu}{c^2} \frac{\partial^2 \mathcal{L}}{\partial z^2} = -\text{rot } \text{rot } \mathcal{L} = \nabla^2 \mathcal{L}$$

Oczywiście można było także wyprowadzić \mathcal{L} , stosując operacje w kierunku xy i yz . Tak otrzykuje się dwa pierwsze równania

$$\begin{cases} \frac{\mu}{c^2} \frac{\partial^2 \mathcal{L}}{\partial z^2} = \nabla^2 \mathcal{L} \\ \frac{\mu}{c^2} \frac{\partial^2 \mathcal{L}}{\partial z^2} = \nabla^2 \mathcal{L} \end{cases}$$

Wykonajmy to samo w współrzędnych prostokątnych. Naprzód wypiszmy równania Maxwella:

$$\left. \begin{aligned} \frac{\mu}{c^2} \frac{\partial X}{\partial z} &= \frac{\partial N}{\partial y} - \frac{\partial M}{\partial x} \\ \frac{\mu}{c^2} \frac{\partial Y}{\partial z} &= \frac{\partial L}{\partial z} - \frac{\partial N}{\partial x} \\ \frac{\mu}{c^2} \frac{\partial Z}{\partial z} &= \frac{\partial M}{\partial x} - \frac{\partial L}{\partial y} \end{aligned} \right\} \text{(I)}$$

$$\left. \begin{aligned} \mu \frac{\partial L}{\partial \xi} &= \frac{\partial Y}{\partial x} - \frac{\partial Z}{\partial y} \\ \mu \frac{\partial M}{\partial \xi} &= \frac{\partial Z}{\partial x} - \frac{\partial X}{\partial z} \\ \mu \frac{\partial N}{\partial \xi} &= \frac{\partial X}{\partial y} - \frac{\partial Y}{\partial x} \end{aligned} \right\} \text{(II)}$$

Teraz chcemy znaleźć równania, zawierające wielkości tylko jednego lub drugiego rodzaju. Pierwsze równanie różniczkujemy względem ξ , a wielkości $\frac{\partial M}{\partial \xi}$ i $\frac{\partial N}{\partial \xi}$ podstawiamy z II.

$$\begin{aligned} \mu \frac{\partial}{\partial \xi} \frac{\partial L}{\partial \xi} &= \frac{\partial}{\partial y} \left(\frac{\partial X}{\partial y} - \frac{\partial Y}{\partial x} \right) - \frac{\partial}{\partial x} \left(\frac{\partial Z}{\partial x} - \frac{\partial X}{\partial z} \right) \\ &= \frac{\partial^2 X}{\partial y^2} + \frac{\partial^2 X}{\partial z^2} - \frac{\partial^2 Y}{\partial x \partial y} - \frac{\partial^2 Z}{\partial x \partial x} \\ &= \frac{\partial^2 X}{\partial x^2} - \frac{\partial^2 X}{\partial x^2} \\ &= \nabla^2 X - \frac{\partial}{\partial x} \left(\frac{\partial X}{\partial x} + \frac{\partial Y}{\partial y} + \frac{\partial Z}{\partial z} \right) \end{aligned}$$

Odpowiednie wyrażenia otrzymamy na Y i Z i składając je, otrzymamy równanie $\frac{\mu \partial^2 \xi}{c^2 \partial \xi^2} = \nabla^2 \xi$ (gdzie suma drugich składników $\text{div} = 0$, tzn., gdzie jak w dielektrykach nie ma mas elektrycznych). Powyższa forma przedstawia zasadnicze równanie pow.

chożenia się ruchów falowego. Prowadź to równanie w specjalnych wypadkach. Zamieńmy od równania na ξ , stawiając $\frac{c^2}{k^2} = a^2$. Wtedy

$$\frac{\partial^2 \xi}{\partial t^2} = a^2 \nabla^2 \xi.$$

Równamy założenie, że stan pola elektromagnetycznego zależy tylko od współrzędnej x i od czasu, a pochodne $\frac{\partial}{\partial y} = \frac{\partial}{\partial z} = 0$. Rozpiszmy powyższe równanie w 3 formy

$$\frac{\partial^2 X}{\partial t^2} = a^2 \frac{\partial^2 X}{\partial x^2}$$

$$\frac{\partial^2 Y}{\partial t^2} = a^2 \frac{\partial^2 Y}{\partial x^2}$$

$$\frac{\partial^2 Z}{\partial t^2} = a^2 \frac{\partial^2 Z}{\partial x^2}$$

A teraz równamy. Do równań (II) $\mu \frac{\partial L_z}{\partial t} = 0$, więc L_z jest albo stałą, albo zerem, podobnie z równań (I) wynika, że $X = \text{const}$. Wobec tego $\frac{\partial^2 X}{\partial t^2} = 0$. Mamy zatem równania ruchów falowego o stałych, których w kierunku Y i Z . Najlepiej będzie, jeżeli się te składowe stopy w jedną wypadkową

i w ten kierunek, tożny kierunek osi Y ; wtedy można skrócić równanie zawierające Z i x_0 , staje:

$$\frac{\partial^2 Y}{\partial z^2} = a^2 \frac{\partial^2 Y}{\partial x^2}$$

Kierunkiem przechodzenia się fali jest oś x , a kierunkiem ruchu drgającego osi y ; są to więc fale poprzeczne; ogólny kształt tego ruchu jest

$$Y = A \sin 2\pi \left(\frac{t}{\tau} - \frac{x}{\lambda} \right)$$

Jeżeli bowiem to przedstawimy w równaniu, otrzymamy $\left(\frac{2\pi}{\tau}\right)^2 A \sin 2\pi \left(\frac{t}{\tau} - \frac{x}{\lambda} \right) =$

$$= -a^2 \left(\frac{2\pi}{\lambda}\right)^2 A \sin 2\pi \left(\frac{t}{\tau} - \frac{x}{\lambda} \right), \text{ a stąd } \frac{a^2 \tau^2}{\lambda^2} = 1,$$

czyli $a = \pm \frac{\lambda}{\tau}$.

Znak \pm wskazuje, że prócz przyjętego rozróżnienia może istnieć drugie

$$Y = A \sin 2\pi \left(\frac{t}{\tau} + \frac{x}{\lambda} \right)$$

Pierwsze równanie przedstawia falę postępującą w kierunku osi x , drugie falę cofającą się. (W pierwszym wypadku przy wstrząsającym z , x musi pozostać, by fa-
za się nie zmieniła, w drugim odwrotnie: Dla tej samej

łamy przy rozciąganiu λ , a maleje).

Prędkość fali elektromagnetycznej jest $a = \frac{c}{\sqrt{\epsilon \mu}}$.
Jeżeli podstawnym $\mu = 1$, to $a = \frac{c}{\sqrt{\epsilon}}$, a w skutek
 $\mu = \epsilon = 1$ fala porusza się z prędkością światła
 $a = c$. Mierzony o metodą elektrostatyczną,
albo elektromagnetyczną. Pomiar dany jako
wynik $c = 3 \cdot 10^{10}$ z błędem najwyżej 1%, a metoda,
mi laboratoryjnym i wielką ścisłością $c =$
 $= 2,998 \cdot 10^{10}$. W izolatorach prędkość porzuchowania
się będzie różna. Będzie ona tem mniejsza, im
większa jest stała dielektryczna. Zależnym od
prędkości porzuchowania się jest współczynnik
załamania światła fal. (Odwrótny stosunek prędko-
ści porzuchowania się w dwóch ośrodkach daje współ-
czynnik załamania $n = \sqrt{\epsilon}$). O ile uważamy
światło za fale elektryczne, można to do-
świadczać i badać. Pokazuje się, że ta relacja
spełnia się bardzo dobrze dla gazów, ale nie dla
innych ciał. Widać stąd, że w teorii elektro-

quaterniej jest pewna myśl, która ngadza się, a przekształca, ale istnieje jeszcze niedoskonała, Łoci. Weźmy kilka dat liczbowych

	n	\sqrt{n}
powietrze	1,000294	1,000295
CO ₂	1,000449	1,000473
H ₂	1,000138	1,000132
C ₆ H ₆	1,50	1,5
Kafka	1,39	1,4
CS ₂	1,63	1,6
CHCl ₃	1,45	2,3
C ₂ H ₅ OH	1,36	5
H ₂ O	1,33	9

By rozstrzygnąć, w czym leży braki teorii, które powodują taką niezgodność, zastanówmy się nad istotą fali elektromagnetycznej. Wyobraźmy sobie, że w pewnym miejscu mamy falę płaską w płaszczyźnie prostopadłej do płaszczyzny figury

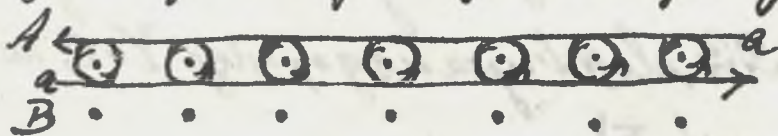


fig. 29.

Szczerz punktów A oznacza prądy polaryzacji, pływające ku przewodowi. Dokola przewodów się linie siły pola magnetycznego (wypadkowa a), wskutek których powstanie siła indukcyjna, przeciwdziałająca prądom pierwiastkowym, która unicie je wprawdzie w punktach A, lecz wybrany ratu prądy nowe, tak samo skierowane, tylko przesunięte w punktach B. Tak pochodzą się fale elektromagnetyczne w przewodzeniu, przeto, wiążąc zmiany przewodzenia i prądów sił elektrycznych i magnetycznych, fala elektryczna bowiem jest zawsze związana z falą magnetyczną. Zatem, że stan pola elektromagnetycznego zależy tylko od x i od czasu t (to znaczy właściwie fale płaskie rozchodzące się w kierunku x), wtedy $\frac{\partial}{\partial x}$ samo, jak poprzednio otrzymujemy $\frac{\partial^2}{\partial y^2} = \frac{\partial^2}{\partial x^2} = 0$, a zatem $X = \cos \omega t = 0$, $L = \cos \omega t = 0$, więc kierunek poprzeczny do kierunku przechodzenia; dalej $\frac{\partial}{\partial x}$ z wzięty w kierunku, niekierunek elektrycznego, więc $Y = 0$, zatem $L_z = N = 0$ (z równań II)

Wskutek tego wszystkie równania redukują się na

$$\frac{\partial^2 Z}{\partial t^2} = a^2 \frac{\partial^2 Z}{\partial x^2}$$

$$\frac{\partial^2 M}{\partial t^2} = a^2 \frac{\partial^2 M}{\partial x^2}$$

$$\mu \frac{\partial M}{\partial t} = \frac{\partial Z}{\partial x}$$

$$\frac{\partial M}{\partial x} = \frac{k}{c} \frac{\partial Z}{\partial t}$$

$$\mu = 1.$$

Fala elektryczna jest nierozłącznie związana z falą magnetyczną. Wobec tego, że to jest ruch falowy rozwiążmy zamiem równania będzie

$$Z = A \sin \left[\alpha \left(t \mp \frac{x}{a} \right) + \epsilon \right]$$

$$M = B \sin \left[\alpha \left(t \mp \frac{x}{a} \right) + \epsilon' \right]$$

Chodzi o oznaczenie stałych A , B , ϵ i ϵ' . W tym celu bierzemy pod uwagę równanie

$$\frac{\partial M}{\partial t} = \frac{\partial Z}{\partial x}$$

Stąd otrzymujemy

$$B \alpha \cos \left[\alpha \left(t \mp \frac{x}{a} \right) + \epsilon' \right] = \mp \frac{A}{a} \cos \left[\alpha \left(t \mp \frac{x}{a} \right) + \epsilon \right]$$

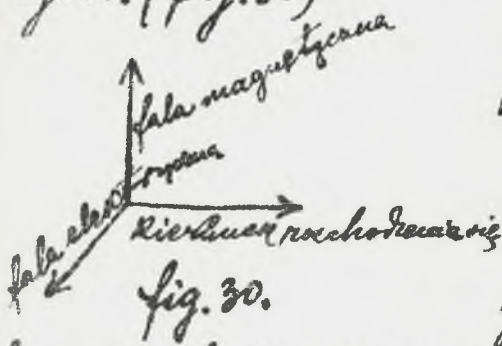
To równanie jest spełnione pod warunkiem, że $\epsilon = \epsilon'$ (więc obie różnice fazy można opuścić).

$$B = -\frac{A}{a\alpha}$$

$$Z = A \sin \alpha \left(t - \frac{x}{a} \right)$$

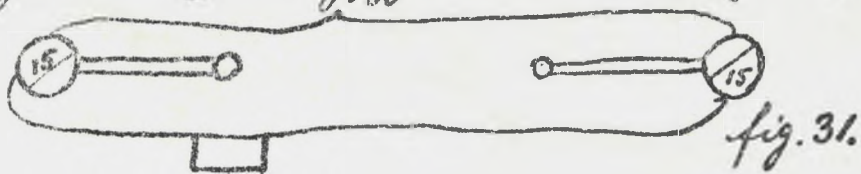
$$M = -\frac{A}{a\alpha} \sin\alpha \left(l - \frac{x}{a} \right)$$

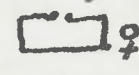
Takowo fala elektryczna, jak i magnetyczna
postępują w kierunku osi x. Obie są prostopadłe
i do siebie prostopadłe, elektryczna w kierunku
z, a magnetyczna w kierunku y. Wyprowadzić zatem
trzy kierunki tworzą system trzech osi prostopa-
dłych. (fig. 30)



Jedynie tylko teoria Max,
wella tłumaczy nam, dla-
czego istnieją tylko fale
poprzeczne, podczas gdy

teoria sterła sprężystego nie można było wytłumac-
zyć, dlatego nie ma fal podłużnych. Teorię po-
winną sprawdził doświadczalnie w roku 1887
Hertz. Za pomocą induktora Ruhmkorffa i ado-
wał vibrator, który wytwarzał fale elektryczne.
Używał 2 konduktorów kulistych o średnicy
15cm, których odstęp wynosił 150cm. (fig. 31.)



Okres drgań kondensatora $\tau = 2\pi\sqrt{LC}$; na wyniku
obrymał $\tau = 1,26 \cdot 10^{-8}$ sek. Jednocześnie fale występują
w ten sposób nie są płaskie, ale walcowate, a dopie-
ro w wielkiej odległości można je przyjąć za płaskie
w przybliżeniu. Istnienie ich wykrył Hertz za po-
mocą rezonatorów: jestto drut zwinięty w kształt
podkowy, zakręcony 2 kulkami w pierwszym drobny
odstęp. Każdy rezonator odpowiada pewnemu dźwiękowi;
gdy te poruszają, między kulkami przeskakują iskry.
Zauważa się, że jeżeli płaszczyzna rezonatora była
prostopadła do osi vibratora iskry wcale nie wy-
stępują, albowiem nie działają żadna siła magnety-
czna w płaszczyźnie rezonatora. Gdy rezonator usta-
wi się tak, żeby normalna do jego płaszczyzny
przecinała os' vibratora pod kątem prostym,
wtedy istnieją 2 pozycje możliwe: albo praca re-
zonatora jest skierowana ku górze - równo oddalo-
na od obu biegunów , a wtedy powstają
iskry wskutek influencyi elektrycznej, albo też

naprzej jednego z biegunów $\rightarrow \square \text{?}$, a wtedy żadne
iskry nie powstają, siła magnetyczna w obu prądach nie
działa, gdyż rezonatora nie wzbija się w os' między
kondensatorami, lecz przesuną przed, lub za tę os',
tzw., gdzie fale można uważać za płaskie, a wtedy
linie sił są równoległe do płaszczyzny rezonatora.
Tracąc jest możliwe poświadczenie prostopadłe do
tych, (do osi, nie płaszczyzny rezonatora przed,
chodzą przez os' vibratora), w którym występują
efekty najsilniejsze, spowodowane indukcją linii
sił magnetycznych, przeciętych w tym parie prosto,
padle. W największej odległości pierwszej z nich są
efekty influencyi, niż indukcji elektromagne-
tycznej.

Wystaliliśmy wzory na fale elektromagnety-
czne; jeżeli uwzględnimy, że:

$$a = \frac{h}{c} \quad \alpha = \frac{2\pi}{\lambda}$$

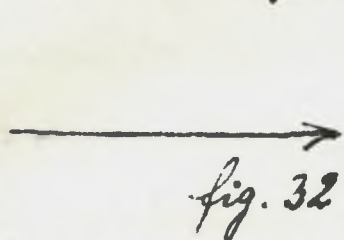
$$Z = A \sin 2\pi \left(\frac{t}{c} - \frac{x}{\lambda} \right)$$

$$M = A \frac{E}{c} \sin 2\pi \left(\frac{t}{c} - \frac{x}{\lambda} \right)$$

$$\frac{v}{c} \cdot \frac{1}{a} = n$$

$$M = An \sin 2\pi \left(\frac{t}{T} - \frac{x}{\lambda} \right)$$

Co się stanie, jeżeli taka fala upadnie na ścianę



przewodząca? (fig. 32)

W przewodnikach nie może powstać żadna ~~fala~~

siła elektryczna, gdyż napięcie zostaje natychmiast wyrównane; przyjmijmy, że drgania są prostopadłe do płaszczyzny rysunku, to $\gamma = 0$.

Siła magnetyczna może istnieć, bo nie ma przewodników magnetycznych. Siłowy falej postępująca

$$\vec{b} = A \sin 2\pi \left(\frac{t}{T} - \frac{x}{\lambda} \right)$$

Przy ścianie, dla pewnego x , np. $x = 0$, fala nie może być to możliwe tylko wtedy, jeżeli przyjmujemy, że istnieje druga fala $B \sin 2\pi \left(\frac{t}{T} + \frac{x}{\lambda} \right)$ i w tym miejscu $A = -B$.

A zatem w danych warunkach, gdy istnieje fala postępująca w kierunku osi x , koniecznym

jest, by wracata ze strony przeciwej taka sama
fala ze znakiem przeciwnym, czyli, by nastapilo
zupełne odbicie się fali; różnica fazy wynosi
to drgania. Ściany przewodzące tworzą zwierciadło,
to doskonałe dla fal elektrycznych. Superpozycja
tych dwóch fal moieny się uwarac'ca falę
slojącą elektryczną, która będzie posiadac'ca
siłę w ścianie. Zamiast ściany masywnej wystar-
czy umieścić druty równoległe do osi Z, chodzi
jedynie o to, by siła elektryczna w kierunku
osi z była zerowa, t.j. przewodnik musi roz-
ciągać się w tym kierunku. Jeżeli jednane siatkę
Drucową taką umiessimy, że są one prostopadłe
do osi Z, to odbicia wcale nie będą. Widac' oty,
że siatka Druciana moie postawić do spola,
przechowania fal elektrycznych. Jeżeli fala się
składa z wszystkich możliwych drgań w prze-
strzeni, prostopadłych do x, to przez siatkę prze-
jdą tylko takie fale elektryczne, które są prostopa-

Właściwości. Te same rozważania dotyczą odbicia pod kątem; przewodniki tworzą doskonałą zastawę dla fal elektromagnetycznych.

Zadania doświadczalne.

Hertz i jego następcy wytworzyli fale elektryczne w taki sposób, by były jak najkrótsze, czyli, by zbliżały się jak najwięcej do fal świetlnych. Używali więc jak najmniejszych vibratorów i došli do fal długości 4 mm. Istnienia takich fal trudno dowieść, bo przez mniejszy vibrator, temu mniejsza energia i temu mniejszy skutek. Próbowano tworzyć rezonatory o tej samej częstotliwości drgania, ale jeżeli energia jest mała, to nie wzbudzi iskier. Istnieją inne jeszcze sposoby.

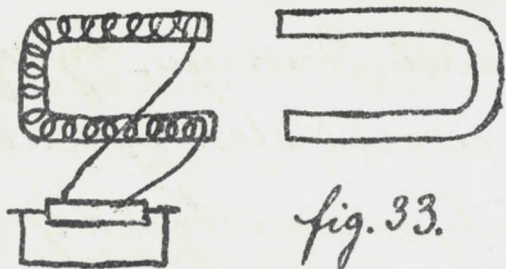
- 1) Wzwanie rur Geisslerowskich; polega na tem, że gaz poruszony stanowi dobry przewodnik i jeżeli drganie przechodzi przez rurę, to gaz świeci.
- 2) Polometr. Jest to drucik, w którym fale wzbudza, jak prądy bardzo szybko cyrkulujące. Wprawdzie

prądy te są słabe, ale spowodowane prądem nie ograniczanie drucika da się skonstruować prądem do, kładnie zmniejszenie oporu galwanicznego.

3) Najczulszą jest metoda Lzw. Kohlerer's, wynalazionych prądem Brauly'ego. Są to przyrządki, które polegają na zjawiskach oporu przejściowego przy dotykaniu się metali, lub innych ciał przewodzących. Opór ten maleje przy przechodzeniu fal elektrycznych na bardzo mały ułamek oporu pierwotnego. Używa się ich przy telegrafii bez drutu.

4) Metoda wynalaziona prądem Marconi'ego. Detektor magnetyczny Marconi'ego polega na zjawiskach hysterety. Gdy aparat zostaje nagle wstrząśnięty, zjawisko to wynika; hystereza zostaje prawie zmniejszona prądem fal elektrycznych, wobec czego można użyć detektora do wykazania fal elektrycznych.

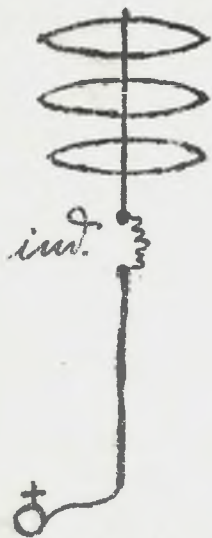
Umieszczamy jeden magnes, staty, a drugi ruchy,



my są, że wykonuje
 ruch obrotowy (fig. 33).
 Wokół tego ostatniego
 są nawinięte kwoje

Drutów, połączone z transformatorem, prócz tego
 są kwoje Drutów, które przyjmują fale przy tele,
 grafie bez drutu. Zmienia się więc chwilowo wiel,
 kość indukcji w zamkniętym telefonie, powstaje
 prąd, który wzbudza strzał w chwili, gdy wpada
 fala elektryczna. Są to doświadczenia Hertza, wy,
 konane na wieżowej skale. Chodzi przytem o to,
 żeby fale elektromagnetyczne były jak najdalej
 dostarczalne, t. j. żeby wprowadzić jak najwię,
 kszą ilość energii. Do tego trzeba użyć wibrato,
 rów o wielkich poruszaniach. Marconi użył drutu
 prostego, rozpiętego w kierunku pionowym, zakou,
 czonego kula, naprzeciw której znajduje się dru,
 ga kula połączona z ziemią; między nie przech,
 chodzi inductor Ruhmkorffa. Zwykle łączą się
 Nowe teoryje el. i magn. Ark. XI.

to jeszcze drutem o pewnej samoindukcji, by wy-
swożyć rezonans. Powstaje siła elektryczna
w drucie, za tem liniami siły magnetycznej będą



Antenna:



kota, które się rozchodzą po powierzchni walcowatej.
Zauważyć należy, że natężenie siły elektrycznej
maleje z odległością w wyższym stopniu, niż si-
ły magnetycznej. Fale wpadają na rezonator
„antenna” (długość odpowiadającej długości), w który
włożony jest koherer napiętniony opitkami. Fale
wpadające pobudzają koherer do kumulojzenia
oporu, które może być łatwo wykazane.

Drgania, które się odbywają w takim drucie, są

analogicznie do Drganí piórzekáiki zamknútej na jednym końcu. $\tau = \frac{L}{4C}$.

Energia nagromádzona może być dość znaczna; wskutek tego zjawisko można obserwować w wielkiej odległości, tembardziej, że powstają fale walcowate, a nie kuliste.

Nieogódnosc' jest przy tem ta, że fale zostają bardzo szybko uśmierzone. Wykazaliśmy już, że energia elektrostatyczna kondensatora materowa, jego $\frac{Cv^2}{2}$ zamienia się na ciepło Joule'a. O ile je, Dział chodxi o Drgania bardzo szybkie, wchodzi ponadto zjawisko promieniowania energii elektro, magnetycznej, a to w większej mierze, niż ciepło Joule'a. Uśmierzenie Drganí ma elektrycznych

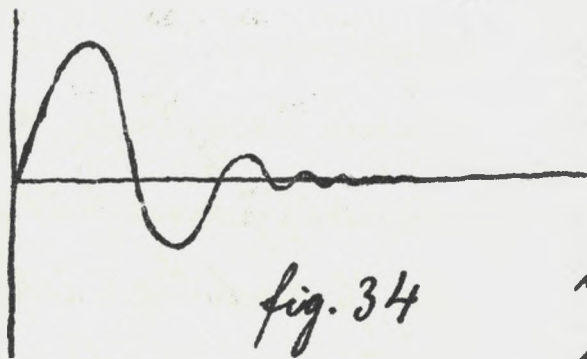


fig. 34

jest więc nadzwyczaj szybko, i przedstawia się graficznie, jak obok (fig. 34). Efekt jest więc taki, że się przy

tych falach bardzo słabo obserwuje zjawisko rezonancji, bo do tego potrzeba, by fale były prostej jakości, niż są. - Przy telegrafowaniu za pomocą przyrządów Marconiego nie możemy ściśle obserwować zjawiska rezonancji. Koherer reaguje na wszystkie fale, a detektor wszystkie przyjmuje. Odbieramy zatem sygnały, które pochodzą z różnych przyrządów. Stąd powstaje wielka kłopotliwość. Zależy więc na tem, by wprowadzić zjawisko rezonancji tak, by każdy aparat odbierający reagował tylko na pewne przyrządy telegraficzne.

Sposób Brauna. Braun użył dwóch kondensatorów

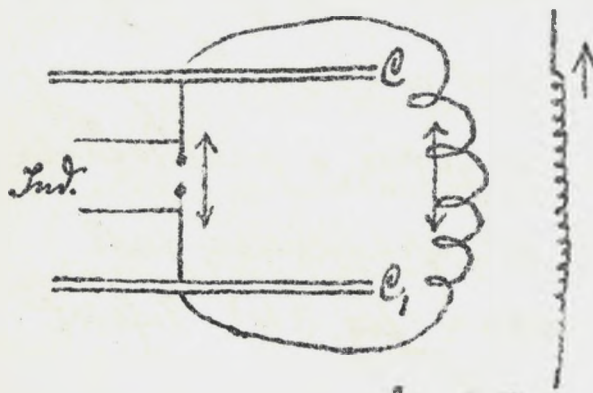


Fig. 35.

zatorów zupełnie symetrycznych C, C₁. Między nimi znajdują się kulki bakali, przez które mogą przechodzić iskry, połączone z induktorem

Ruhmkorffa, służącym, jako źródło elektryzacji;
Ładuje on i rozbraja kondensatory, wskutek czego
działa na zewnętrzne okładki i w drucie ser-
wi wewnętrznej powstaje prąd przenienny, a ten
przez indukcję wzbudza prąd przenienny
w zewnętrznej serwi, potężniejszą anteną, wysy-
łającą. Długość drutu anteny musi być tak
dobrana, by istniała rezonansowa λ okresie drgań
kondensatora. Ten prąd ma fale o pewnej
okresowej długości. - Prąd, który odbiera
fale, jest analogicznie wzbudowany. W serwi
wewnętrznej jest katodowy koherer - rezonan-
sowa następuje przy falach o tym samym okre-
sie drgania. # Rozważalismy dotychczas fale pła-
ską, poruszającą w kierunku osi x . Weźmy teraz
fale płaską, poruszającą w jakikolwiek kie-
runku w przestrzeni. Można ją wyrazić równa-
niaми:

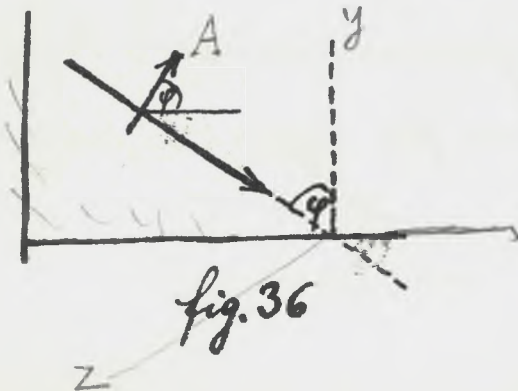
$$X = A_1 \sin 2\pi \left(\frac{t}{\tau} - \frac{xl + ym + zn}{\lambda} \right)$$

$$Y = A_2 \sin 2\pi \left(\frac{t}{\tau} - \frac{xl + ym + zn}{\lambda} \right)$$

$$Z = A_3 \sin 2\pi \left(\frac{t}{\tau} - \frac{xl + ym + zn}{\lambda} \right)$$

Ze to jest fala płaska, widać stać, że dla danej, go t mają, jednorową, fazę, wszędzie te punkty, kty przestrzeni, które spełniają, równanie $xl + ym + zn = \text{const}$, a to jest równanie płaszczyzny. Przytem l, m, n są postawami kątów, które tworzy kierunek postępowania tej fali z osiami x, y, z , a A_1, A_2, A_3 są składowymi amplitudami w kierunkach X, Y, Z ; co do nich a priori nic powiedzieć nie można.

Robimy teraz specjalne założenie, że fala przechodzi się w płaszczyźnie rysunku (fig. 36),



t. zn., że kąt między kierunkiem przechodzenia się a osią x jest $\frac{\pi}{2}$, zatem $n=0$.

Wiemy już, że fale są poprzeczne.

czne; wychylenia będą prostopadłe do kierunku
 rozchodzenia się. To widzimy zwrócić uwagę a rów-
 nożności $\frac{\partial X}{\partial z} + \frac{\partial Y}{\partial z} + \frac{\partial Z}{\partial z} = 0$, bo jeżeli podstawimy
 powyższe wyrażenia i wykonamy operacje róż-
 niczek, otrzymamy: $A_1 l + A_2 m + A_3 n = 0$,
 więc $Xl + Ym + Zn = 0$, to znaczy, że siła $\left\{ \begin{matrix} X \\ Y \\ Z \end{matrix} \right\}$ pro-
 stopadła do kierunku (l, m, n) , tj. do kierunku roz-
 chodzenia się fali. Mogą te fale mieć składową
 w płaszczyźnie ryzynek i prostopadłą do niej.
 Zastanówmy, że fala ^{elektromagnetyczna} w płaszczyźnie figury; I
 składowa prostopadła jest zerem, mamy wtedy
 drganie spolaryzowane. Oznaczając kąt między
 dodatnim kierunkiem fali, a osią x przez φ ,
 otrzymujemy w tym wypadku:

$$X = A \cos \varphi \sin 2\pi \left(\frac{t}{\tau} - \frac{x \sin \varphi - y \cos \varphi}{\lambda} \right)$$

$$Y = A \sin \varphi \sin 2\pi \left(\frac{t}{\tau} - \frac{x \sin \varphi - y \cos \varphi}{\lambda} \right)$$

$$Z = 0$$

Musimy jeszcze uwzględnić fale magnetyczne:

$$\frac{\partial L}{\partial t} = \frac{\partial Y}{\partial z} - \frac{\partial Z}{\partial y}$$

$$\frac{\partial M}{\partial t} = \frac{\partial Z}{\partial x} - \frac{\partial X}{\partial z}$$

$$\frac{\partial N}{\partial t} = \frac{\partial X}{\partial y} - \frac{\partial Y}{\partial x}$$

$z=0$, zatem i pochodne
 $\frac{\partial Z}{\partial x} = \frac{\partial Z}{\partial y} = 0$, a że i $\frac{\partial Y}{\partial z} = \frac{\partial X}{\partial z} = 0$,
 Prądami bowiem odbywają się
 w płaszczyźnie xy , zatem zostaje

tylko:

$$\frac{\partial N}{\partial t} = A \frac{2\pi}{\lambda} (\cos^2 \varphi + \sin^2 \varphi) \cos 2\pi \left(\frac{t}{\tau} - \frac{x \sin \varphi - y \cos \varphi}{\lambda} \right)$$

$$N = A \frac{c}{\lambda} \sin 2\pi \left(\frac{t}{\tau} - \frac{x \sin \varphi - y \cos \varphi}{\lambda} \right);$$

$$L = M = 0$$

Mamy 6 wielkości określonych, które przedstawiają falę postępującą w jakimkolwiek kierunku. Fala magnetyczna jest prostopadła do elektrycznej. (N jest prostopadłe do płaszczyzny prądu).

Tęgo wyznaczenia potrzeba nam do obliczenia zjawiska odbicia i załamania na powierzchni innego dielektryku. Wyobrażamy sobie, że płaszczyzna xx jest powierzchnią, w której te zjawiska mają nastąpić. Oznaczymy amplitudę prądów wpadających przez A ,

Drganí orbitých prvek B, Drganí katamanych prvek C. W takim razie siła elektryczna, odpowiadająca Drganiom orbitym będzie

$$X' = B \cos \varphi' \sin 2\pi \left(\frac{t}{\tau} - \frac{x \sin \varphi' - y \cos \varphi'}{h} \right)$$

$$Y' = B \sin \varphi' \sin 2\pi \left(\frac{t}{\tau} - \frac{x \sin \varphi' - y \cos \varphi'}{h} \right)$$

$$Z' = 0$$

$$N' = \frac{B}{r} \sin 2\pi \left(\frac{t}{\tau} - \frac{x \sin \varphi' - y \cos \varphi'}{h} \right)$$

$$\frac{h}{\tau} = v \text{ (prędkość światła).}$$

Ponieważ drucie następuje w tym samym ośrodku, wielkości v i h są te same.

Dla fali katamanej jest

$$X'' = C \cos \varphi_2 \sin 2\pi \left(\frac{t}{\tau} - \frac{x \sin \varphi_2 - y \cos \varphi_2}{h_2} \right)$$

$$Y'' = C \sin \varphi_2 \sin 2\pi \left(\frac{t}{\tau} - \frac{x \sin \varphi_2 - y \cos \varphi_2}{h_2} \right)$$

$$N'' = \frac{C}{r_2} \sin 2\pi \left(\frac{t}{\tau} - \frac{x \sin \varphi_2 - y \cos \varphi_2}{h_2} \right)$$

W drugim ośrodku również h jak i v są inne.

Amplitudę fali opadającej uwaraujemy za x i y , a chodzi nam o obliczenie orbitej i katamanej. Nowe teorye pl. i magn. D. K. XII.

Do tegoż warunek, że na powierzchni odgrani, cząjącej składowe stykane siły elektrycznej i magnetycznej w obu ośrodkach muszą być równe. Stąd wynika, że

$$\left. \begin{aligned} X + X' &= X'' \\ N + N' &= N'' \end{aligned} \right\} \text{ dla } y = 0.$$

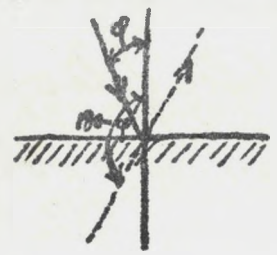
A zatem

$A \cos \varphi \sin 2\pi \left(\frac{t}{\tau} - \frac{x \sin \varphi}{\lambda} \right) + B \cos \varphi' \sin 2\pi \left(\frac{t}{\tau} - \frac{x \sin \varphi'}{\lambda'} \right) =$
 $= C \cos \varphi_2 \sin 2\pi \left(\frac{t}{\tau} - \frac{x \sin \varphi_2}{\lambda_2} \right)$, co musi być spełnionem dla wszelkich wartości t i x ; a jest to możliwe tylko wtedy, gdy współczynniki są wzajemnie jedynakowe. Zatem:

$$1) \frac{\sin \varphi}{\lambda} = \frac{\sin \varphi'}{\lambda'} = \frac{\sin \varphi_2}{\lambda_2}$$

$$\sin \varphi = \sin \varphi'$$

A ponieważ promień odbicia nie może być ten sam, co padający, więc kąty się dopełniają $\varphi' = 180 - \varphi$ (fig. 37), odbicie następuje w kierunku symetrycznym, czyli $\cos \varphi = -\cos \varphi'$.



Dalej widać z 1) że $\frac{\sin \varphi}{\sin \varphi_2} = \frac{\sin \alpha}{\sin \beta} = \frac{L}{L_2} = n$ (współczynnik załamania). A zatem prawo załamania przedstawić wiąże w ten sposób:

$$\sin \varphi = \sin \varphi'$$

$$\cos \varphi = -\cos \varphi'$$

$$\frac{\sin \varphi}{\sin \varphi_2} = \frac{L}{L_2} = n$$

Następujące relacje odnosi się do amplitud:

$$X) \dots (A - B) \cos \varphi = C \cos \varphi_2$$

$$IV) \dots \frac{A}{v} + \frac{B}{v} = \frac{C}{v_2}, \text{ czyli } A + B = C \frac{v}{v_2} = nC = C \frac{\sin \varphi}{\sin \varphi_2}$$

Mamy więc:

$$\sin \varphi | (A - B) \cos \varphi = C \cos \varphi_2$$

$$-\cos \varphi_2 | (A + B) \sin \varphi_2 = C \sin \varphi$$

φ i φ_2 są znane; można stać się znaleźć B i C

$$A(\cos \varphi \sin \varphi - \sin \varphi_2 \cos \varphi_2) - B(\sin \varphi \cos \varphi + \sin \varphi_2 \cos \varphi_2) = 0$$

$$B = A \frac{\sin \varphi \cos \varphi - \sin \varphi_2 \cos \varphi_2}{\sin \varphi \cos \varphi + \sin \varphi_2 \cos \varphi_2} = A \frac{\sin 2\varphi - \sin 2\varphi_2}{\sin 2\varphi + \sin 2\varphi_2}$$

$$= A \frac{\cos(\varphi + \varphi_2) \sin(\varphi - \varphi_2)}{\sin(\varphi + \varphi_2) \cos(\varphi - \varphi_2)} = A \frac{\operatorname{tg}(\varphi - \varphi_2)}{\operatorname{tg}(\varphi + \varphi_2)}$$

Mamy więc

$$B = A \frac{\operatorname{tg}(\varphi - \varphi_2)}{\operatorname{tg}(\varphi + \varphi_2)}$$

Dla C wzór jest bardziej xawity; otrzymuje się

$$C = A \frac{2 \sin \varphi_2 \cos \varphi}{\sin(\varphi + \varphi_2) \cos(\varphi - \varphi_2)}$$

Amplituda drgań odbitych może być zerem, gdy $\varphi + \varphi_2 = \frac{\pi}{2}$. Wtedy żaden promień nie zostaje odbity; stwori się to specjalnie do tych drgań, które się odbywają w płaszczyźnie upadania - jeżeli kątem upadka fala niespolaryzowana pod tym samym kątem φ , to zostaną odbite tylko drgania prostopadłe do płaszczyzny padania. Jest to zjawisko polaryzacji płaskiej (liniowej) pod kątem krepitnym polaryzacji. Można wnioskować, jakie warunki muszą spełnić kąt polaryzacji.

$$\frac{\sin \varphi}{\sin \varphi_2} = n, \quad \varphi_2 = \frac{\pi}{2} - \varphi$$

$$\frac{\sin \varphi}{\cos \varphi} = \operatorname{tg} \varphi = n$$

Tak wypiera się słynne prawo Brewstera, zna,

lexione doświadczalnie przy badaniu polaryzacji światła przy wpadaniu na płytę pod różnymi kątami. Widzimy tu jedną analogię zupełnie ze zjawiskami optyki. Fresnel starał się je opisać na własnościach eteru, lecz dopiero teoria Maxwella porobiła na ścisły wywód matematyczny

Rozpatrzmy teraz zjawiska odbicia i załamania fali elektrycznej, drgającej poprzecznie, prostopa, II.
 do płaszczyzny wpadania. Jak się wtedy redukuje równania? W równaniach zasadniczych położywszy $X=Y=0$, pozostaje zatem tylko składowa $Z = A \sin 2\pi \left(\frac{t}{\tau} - \frac{x \sin \varphi - y \cos \varphi}{\lambda} \right)$. Fala magnetyczna połączone z nią jest prostopadła, ma więc składowe w kierunkach x i y .

$$N=0, \frac{\partial L}{\partial y} = -\frac{\partial Z}{\partial y} = -A \frac{2\pi \cos \varphi}{\lambda} \cos 2\pi \left(\frac{t}{\tau} - \frac{x \sin \varphi - y \cos \varphi}{\lambda} \right)$$

$$L = -A \frac{t}{\tau} \cos \varphi \sin 2\pi \left(\frac{t}{\tau} - \frac{x \sin \varphi - y \cos \varphi}{\lambda} \right) = -\frac{A}{\tau} \cos \varphi \cdot$$

$$\cdot \sin 2\pi \left(\frac{t}{\tau} - \frac{x \sin \varphi - y \cos \varphi}{\lambda} \right)$$

$$\frac{\partial M}{\partial x} = \frac{\partial Z}{\partial x} = -A \frac{2\pi \sin \varphi}{\lambda} \cos 2\pi \left(\frac{t}{\tau} - \frac{x \sin \varphi - y \cos \varphi}{\lambda} \right)$$

$$M = -\frac{A}{v} \sin \varphi \sin 2\pi \left(\frac{t}{T} - \frac{x \sin \varphi - y \cos \varphi}{\lambda} \right)$$

Fala odbita będzie przedstawiona przez

$$Z' = B \sin 2\pi \left(\frac{t}{T} - \frac{x \sin \varphi' - y \cos \varphi'}{\lambda} \right)$$

$$L' = -\frac{B}{v} \cos \varphi' \sin 2\pi \left(\frac{t}{T} - \frac{x \sin \varphi' - y \cos \varphi'}{\lambda} \right)$$

$$M' = -\frac{B}{v} \sin \varphi' \sin 2\pi \left(\frac{t}{T} - \frac{x \sin \varphi' - y \cos \varphi'}{\lambda} \right)$$

A fala natomiast przez

$$Z'' = C \sin 2\pi \left(\frac{t}{T} - \frac{x \sin \varphi_2 - y \cos \varphi_2}{\lambda_2} \right)$$

$$L'' = -\frac{C}{v_2} \cos \varphi_2 \sin 2\pi \left(\frac{t}{T} - \frac{x \sin \varphi_2 - y \cos \varphi_2}{\lambda_2} \right)$$

$$M'' = -\frac{C}{v_2} \sin \varphi_2 \sin 2\pi \left(\frac{t}{T} - \frac{x \sin \varphi_2 - y \cos \varphi_2}{\lambda_2} \right)$$

Na powierzchni $y=0$, ograniczającej oba ośrodki składowe styczne muszą być je,

Duższe, zatem

$$\begin{cases} Z + Z' = Z'' \\ L + L' = L'' \end{cases}$$

Argumentacja jest zupełnie analogiczna, jak przy dyfrakcji w pierwszorzędnie rozdaniu

$$\begin{aligned} & A \sin 2\pi \left(\frac{t}{T} - \frac{x \sin \varphi}{\lambda} \right) + B \sin 2\pi \left(\frac{t}{T} - \frac{x \sin \varphi'}{\lambda} \right) = \\ & = C \sin 2\pi \left(\frac{t}{T} - \frac{x \sin \varphi_2}{\lambda_2} \right). \end{aligned}$$

Stąd wynika:

$$\frac{\sin \varphi}{L_1} = \frac{\sin \varphi'}{L_1} = \frac{\sin \varphi_2}{L_2}$$

$\sin \varphi = \sin \varphi'$, zatem może być $\varphi = \varphi'$, albo $\varphi = \pi - \varphi'$; wybieramy to ostatnie, bo inaczej kierunek byłby przeciwny, zatem $\cos \varphi = -\cos \varphi'$

$$\frac{\sin \varphi}{\sin \varphi_2} = \frac{L_1}{L_2} = n \text{ (prawo załamania).}$$

Związki są identyczne z tymi, jakie mieliśmy w wypadku Drgań w próżni i w podłożu. Podobnie dla amplitud

$$A + B = C$$

$$-\frac{A}{v} \cos \varphi - \frac{B}{v} \cos \varphi' = -\frac{C}{v_2} \cos \varphi_2,$$

a ponieważ $\cos \varphi' = -\cos \varphi$

$$\frac{A - B}{v} \cos \varphi = \frac{C}{v_2} \cos \varphi_2$$

Mnożymy przez v , zważając że

$$\frac{v}{v_2} = n = \frac{\sin \varphi}{\sin \varphi_2}, \text{ otrzymamy}$$

$$\begin{cases} (A - B) \cos \varphi \sin \varphi_2 = C \cos \varphi_2 \sin \varphi \\ A + B = C \end{cases}$$

Z tych dwóch równań można obliczyć B i C , amplitudy fal odbitych i załamanych,

jako funkcje A , tj. amplitudy drgań wpa-
dających. Dolicz równanie mnożymy przez
 $-\cos \varphi_2 \sin \varphi$ i dodajemy:

$$A \underbrace{[-\sin \varphi \cos \varphi_2 + \cos \varphi \sin \varphi_2]}_{\sin(\varphi_2 - \varphi)} + B \underbrace{[-\sin \varphi \cos \varphi_2 - \cos \varphi \sin \varphi_2]}_{-\sin(\varphi + \varphi_2)} =$$

$$B = -A \frac{\sin(\varphi - \varphi_2)}{\sin(\varphi + \varphi_2)}, \text{ a na tej podstawie}$$

$$C = A \frac{2 \sin \varphi_2 \cos \varphi}{\sin(\varphi + \varphi_2)}$$

Drżania zachowują się ^{podobnie} różnie zależnie od φ ,
 φ_0 , w jakim kierunku się odbywają. Drżania
nie w płaszczyźnie wpadania zostają odbi-
te α innym natężeniem, niż prostopadłe
do niej. W tym drugim razie nigdy amplituda
Dra światła odbitego nie znika. Jeżeli drżania
składają się z drgań o różnych kierunkach,
to przy wpadaniu pod kątem polaryzacji
(tg $\varphi = n$), tylko drżania prostopadłe do płaszczyzny
wpadania zostają odbite, na tem
polega zwyczajna polaryzacja. Zróżniczenie

co się stanie, gdy drgania wpadają pod kątem prostym; wtedy $\varphi = \varphi_2 = 0$.

$$B = -A \frac{\sin \varphi - n \sin \varphi_2}{\sin \varphi + n \sin \varphi_2} = -A \frac{n-1}{n+1},$$

gdzie $\sin \varphi_2 = n \sin \varphi$.

Przy odbiciu pod kątem prostym drgania prostopadłe nie zmieniają, ale mają pewną wielkość dźwię. Dla drgań w płaszczyźnie pa-
dania

$$B = A \frac{\lg(\varphi - \varphi_2)}{\lg(\varphi + \varphi_2)}$$

Dla bardzo małych φ i φ_2 możemy postawić

$$B = A \frac{\lg \varphi - \lg \varphi_2}{\lg \varphi + \lg \varphi_2} = A \frac{n-1}{n+1}, \text{ gdzie } \frac{\lg \varphi}{\lg \varphi_2} \approx \frac{n \sin \varphi}{\sin \varphi_2} = n,$$

i otrzymamy ten sam wzór co poprzednio, tylko znak jest porównie inny. Trzeba jednak zwrócić, że teraz kierunek drgań jest wprost przeciwny. Inny kierunek oznaczaliśmy jako dodatni przy wpadaniu a inny przy odbiciu.

Przy odbiciu od środka optycznego gęstszego kierunku drgań się zmienia a doświadczenia na ujściu,

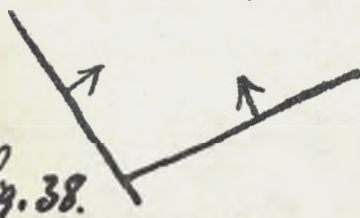
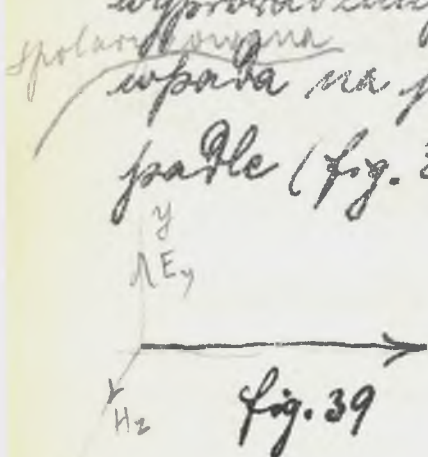


Fig. 38.

cyli (co to samo): występuje różnica faz $\Delta \varphi = \frac{1}{2}$ drgania.
 W szczególnym wypadku miedzy x i z do czynnika,
 nia, gdy obliczaliśmy wpadanie fali elektrycznej
 na płaszczyznę przewodzącą, tam falu
 została odbicie ze znakiem ujemnym, tak, że
 przy przesunięciu powtarzał ujem. Z tegoż die,
 elektryków wiemy, że a każdego wzoru odnośnie,
 tegoż do dielektryków można strzymać wzory
 dla przewodnika, jeżeli się przyjmie stałą $k = \infty$,
 zatem $n = \infty$, wtedy okazuje się, że $B = -B$,
 natężenie fali odbitej równa się natężeniu fali
 wpadającej. Do tych samych wniosków dochodzi,
 my bardzo łatwą drogą bezpośrednią, jeżeli
 wyprowadzimy wzory pod natężeniem, że fala
 wpada na powierzchnię dielektryczną, prosto,
 prosto (Fig. 39), a drgania (niech się odbywają
 w kierunku osi y).



$$I = A \sin^2 \pi \left(\frac{t}{T} - \frac{x}{\lambda} \right)$$

Przytem współistnieje fala

magnetyczna $N = \frac{A}{v} \sin 2\pi \left(\frac{t}{v} - \frac{x}{\lambda} \right)$. Fala od,
bita jest $Y' = B \sin 2\pi \left(\frac{t}{v} + \frac{x}{\lambda} \right)$, a magnetyczna
 $N' = -\frac{B}{v} \sin 2\pi \left(\frac{t}{v} + \frac{x}{\lambda} \right)$, (znak -, aby było spełniony
wezbranie $\frac{\partial N}{\partial y} = \frac{\partial X}{\partial y} - \frac{\partial Y}{\partial x}$) - fala ułamkowa

$$Y'' = C \sin 2\pi \left(\frac{t}{v} - \frac{x}{\lambda_2} \right)$$

$$N'' = \frac{c}{v_2} \sin 2\pi \left(\frac{t}{v} - \frac{x}{\lambda_2} \right)$$

na powierzchni granicznej $x=0$, tam składowe
styczne są sobie równe, więc

$$Y + Y' = Y'' \quad | \quad A + B = C$$

$$N + N' = N'' \quad | \quad \frac{A-B}{v} = \frac{c}{v_2} \quad \text{stała}$$

$$\begin{cases} A - B = c \frac{v}{v_2} = cn \\ A + B = c \end{cases} \quad | \quad n$$

$$A(n-1) + B(n+1) = 0$$

$B = -A \frac{n-1}{n+1}$, występuje więc różnica
fazy $\frac{1}{2}$ drgania. Jestto wynikiem ważnym ze względu,
że na doświadczenia Wienera nad falami
światłowymi. Dla fali magnetycznej ^{odbitej} przebieg
stwierdza się inaczej, tam dla fali odbitej mamy
znak dodatni: $N' = +\frac{A}{v} \frac{n-1}{n+1} \sin 2\pi \left(\frac{t}{v} + \frac{x}{\lambda} \right)$.

Zatem odbita fala magnetyczna drga w tym samym kierunku, co wpadająca, posiada więc prądy wierzwiłki nie wzdłuż, ale najcięższe wychylenie. Stąd wniosek, że skutki światła wywołują nie fale magnetyczne, ale elektryczne. Tego a priori nie można było wiedzieć, bo mały do wyznaczenia zarówno a falami elektromagnetycznymi.

Otrzymać to ukoiłyto pewne spory wiarne pod względem historycznym w teorii optyki. Fresnel powołał do tych samych wzorów na podstawie hipotez dość ostrożnych. Wyobrażał sobie, że drgania światłne polegają na przesunięciach eteru, i starał się te zjawiska ująć teoretycznie stawiając postulaty: 1) energia fali odbitej i załamanej jest równa energii fali wpadającej.

2) różnica współczynnika załamania różnych ośrodków polega nie na różnicy sprężystości eteru w tych ośrodkach, ale na różnicy jego gęstości

w nich. To drugie prężenie jest dozwolone, niere-
niczasadnione. Zupelnie przeciwna teoria po-
stawil Heilmann. Jeli sie ze stanowiska tych
dwoch teorii rozpatruje zjawiska odbicia i za-
lamania, wyniki sa, rowniej odpowiadajz, wzro-
zom wyprzewodzonemu raz dla sily elektrycznej,
drugi raz dla magnetycznej. Stzad powstal spór
między uczonymi, który zostal rozstrzygnięty
na korzyść teorii Maxwella Fresnela dopiero
przez doświadczenia Wiencra wykazujące, że
światło polega na drganiach sily elektrycznej.

Zróźniemy teraz uwagę na wypadku, gdy
 $n < 1$, t. zn. gdy światło elektryczne wchodzi do rzadszego

Widzimy, że nie dla każdego kąta padania
 α można skonstruować odpowiedni kąt za-
lamania β . ($\frac{\sin \alpha}{\sin \beta} = n = \frac{1}{n}$). $\sin \beta$ może być naj-
wyżej równy jedności. Gdy $\sin \alpha = n$, dla kątów
 α większych nie możemy dostać odpowiedniego β .

Przy większym α jest β urojone, stąd wnioskujemy, że w wypadku Braggia mogą się odlic. Stosujemy wzory Fresnela i zobaczymy, jakie stąd wynikną konsekwencje. Dla Bragów prostopadłych wyprowadziliśmy

$$\underline{B}_\perp = -A_\perp \frac{\sin \alpha \cos \beta - \cos \alpha \sin \beta}{\sin \alpha \cos \beta + \cos \alpha \sin \beta}$$

Kładziemy $\sin \beta = \frac{\sin \alpha}{n}$; $\cos \beta = \sqrt{1 - \frac{\sin^2 \alpha}{n^2}}$, ponieważ $\frac{\sin \alpha}{n} > 1$, będzie to pierwiastek urojony, $\cos \beta = i \sqrt{\frac{\sin^2 \alpha}{n^2} - 1}$

$$\underline{B}_\perp = A_\perp \frac{\frac{\sin \alpha \cos \alpha}{n} - i \sin \alpha \sqrt{\frac{\sin^2 \alpha}{n^2} - 1}}{-\frac{\sin \alpha \cos \alpha}{n} + i \sin \alpha \sqrt{\frac{\sin^2 \alpha}{n^2} - 1}}$$

Amplituda światła odbitego wyraża się przez amplitudę światła padającego i jakis czynnik, składający się z części rzeczywistej i urojonej. Można argumentować w sposób następujący: jeżeli mamy wektor światła $\vec{b} =$

$= A \sin \alpha \left(\vec{e} - \frac{x}{v} \right)$, który przedstawia rozwiązanie równania różniczkowego $\frac{\partial^2 \vec{b}}{\partial x^2} = a^2 \frac{\partial^2 \vec{b}}{\partial t^2}$, może się zdarzyć, że A jest wielkością zespoloną.

$$A = A_0 e^{i\delta} = a (\cos \delta + i \sin \delta)$$

Zatem fala składa się z jednego drgania z amplitudą a i drugiego z amplitudą a w fazie δ . Jakie jest znaczenie amplitudy wrotnej?

Wiemy, że gdy jest dane $\sin \varphi$, to $\sin(\varphi + \pi) = -\sin \varphi$, $\sin(\varphi + 2\pi) = +\sin \varphi$, ogólnie $\sin(\varphi + k\pi) = (-1)^k \sin \varphi$. Uogólnijmy to dla k ułamka: $\sin(\varphi + \frac{\pi}{2}) = \cos \varphi = (-1)^{\frac{1}{2}} \sin \varphi = i \sin \varphi$.

Przyjmijmy to uogólnienie widzinmy, że parametr i oznacza przesunięcie o $\frac{1}{2}$ drgania.

Wobec tego

$$A \sin \varphi = a \cos \delta \sin \varphi + a \sin \delta \cos \varphi = a \sin(\varphi + \delta)$$

Przeto drganie otrzymało różnicę faz δ .

Mozna to przedstawić jeszcze inaczej:

$$b = A \sin \varphi = A \frac{e^{i\varphi} - e^{-i\varphi}}{2i} = R\left(\frac{A e^{i\varphi}}{i}\right), \text{ gdzie } R \text{ oznacza część rzeczywistą.}$$

Jeżeli teraz przyjmujemy, że A jest zespolone, otrzymamy

$$b = R\left(\frac{A_0 e^{i(\varphi + \delta)}}{i}\right) = A_0 \sin(\varphi + \delta)$$

Wprowadzając amplitudę urojoną otrzymujemy, my więc różnicę faz δ , co potwierdzimy doświadczeniem.

Przy odbiciu zupełnym dostaniemy pod tym założeniem

$$B_{\perp} = -A_{\perp} \frac{\cos \alpha - i \sqrt{\sin^2 \alpha - n^2}}{\cos \alpha + i \sqrt{\sin^2 \alpha - n^2}}$$

W odpowiedni sposób dla drgań równoległych do płaszczyzny padania

$$\begin{aligned} B_{\parallel} &= A_{\parallel} \frac{\sin(\alpha - \beta)}{\sin(\alpha + \beta)} = A_{\parallel} \frac{\sin \alpha \cos \beta - \cos \alpha \sin \beta}{\sin \alpha \cos \beta + \cos \alpha \sin \beta} \\ &= A_{\parallel} \frac{\cos \alpha - i \sqrt{\sin^2 \alpha - n^2}}{-\cos \alpha - i \sqrt{\sin^2 \alpha - n^2}} \cdot \frac{\cos \alpha \cos \beta - \sin \alpha \sin \beta}{\cos \alpha \cos \beta + \sin \alpha \sin \beta} \\ &= A_{\parallel} \frac{\cos \alpha - i \sqrt{\sin^2 \alpha - n^2}}{\cos \alpha + i \sqrt{\sin^2 \alpha - n^2}} \cdot \frac{i \cos \alpha \sqrt{\sin^2 \alpha - n^2} - \sin^2 \alpha}{i \cos \alpha \sqrt{\sin^2 \alpha - n^2} + \sin^2 \alpha} \end{aligned}$$

Amplitudy można przedstawić w formie

$$B_{\perp} = B_{0\perp} e^{i\delta_1}; \quad B_{\parallel} = B_{0\parallel} e^{i\delta_2}$$

By określić moduł B_0 , zważamy, że każde równanie między wielkościami zespolonymi porównuje wartości, jeżeli zamiast $+i$ wstawimy $-i$, a zatem

$$A_{\perp} \frac{\cos \alpha + i \sqrt{\sin^2 \alpha - n^2}}{\cos \alpha - i \sqrt{\sin^2 \alpha - n^2}} = B_0 e^{-i\delta}, \text{ a byto poprzednio}$$

$$A_{\perp} \frac{\cos \alpha - i \sqrt{\sin^2 \alpha - n^2}}{\cos \alpha + i \sqrt{\sin^2 \alpha - n^2}} = B_0 e^{+i\delta}$$

Dla skrócenia pinemy $\cos \alpha = a$; $\sqrt{\sin^2 \alpha - n^2} = b$
i mnożymy oba równania przez siebie, wtedy
otrzymamy

$$B_0^2 = A^2 \frac{a^2 - i^2 b^2}{a^2 - i^2 b^2} = A^2$$

To maczy, że natężenie światła odbitego równa się natężeniu światła wpadającego. Dla D_{\parallel} oczywiście otrzymalibyśmy wynik identyczny.

W celu obliczenia δ weźmy pod uwagę światło spolaryzowane, wpadające pod kątem 45° a to dlatego, że wtedy wektor świetlny rozdziela się na 2 składowe równe $A_{\parallel} = A_{\perp}$. Gdy teraz po-
dzielimy jedno równanie przez drugie, otrzy-
mamy

$$\frac{\sin^2 \alpha - i \cos \alpha \sqrt{\sin^2 \alpha - n^2}}{\sin^2 \alpha + i \cos \alpha \sqrt{\sin^2 \alpha - n^2}} = e^{i(\delta_2 - \delta_1)}$$

Jednocześnie prostopadłe, jak i równoległe
doznaje różnicy fazy, czyli opóźnienia drgania
N. S. Z. i M. 1914. XIV.

z powodu odbicia, ale opóźnienia tych dwóch przebiegów są równe. Nas interesuje względna różnica faz obu promieni.

$$\delta_2 - \delta_1 = \Delta. \text{ Położymy } \alpha = e^{i\Delta}, \beta = \frac{i \cos \alpha \sqrt{\sin^2 \alpha - n^2}}{\sin^2 \alpha}$$

$$\alpha = \frac{1-\beta}{1+\beta}, \alpha + \alpha\beta = 1 - \beta, \beta = \frac{1-\alpha}{1+\alpha}; \text{ czyli}$$

$$\frac{i \cos \alpha \sqrt{\sin^2 \alpha - n^2}}{\sin^2 \alpha} = \frac{1 - e^{i\Delta}}{1 + e^{i\Delta}} \text{ Równoważne a temu jest}$$

$$\frac{-i \cos \alpha \sqrt{\sin^2 \alpha - n^2}}{\sin^2 \alpha} = \frac{1 - e^{-i\Delta}}{1 + e^{-i\Delta}}$$

Mnożąc oba równania przez siebie otrzymujemy

$$\frac{\cos^2 \alpha [\sin^2 \alpha - n^2]}{\sin^4 \alpha} = \frac{1 - (e^{i\Delta} + e^{-i\Delta}) + 1}{1 + (e^{i\Delta} + e^{-i\Delta}) + 1} = \frac{1 - \cos \Delta}{1 + \cos \Delta} = \frac{\sin^2 \frac{\Delta}{2}}{\cos^2 \frac{\Delta}{2}} = \tan^2 \frac{\Delta}{2}$$

Ostatecznie zatem:

$$\underline{\underline{\tan \frac{\Delta}{2} = \frac{\cos \alpha \sqrt{\sin^2 \alpha - n^2}}{\sin^2 \alpha}}}$$

Jeżeli więc promienie wpadające są nachylenie pod kątem 45° do płaszczyzny padania, druga, nie odbite ma nachylenie takie samo, jak wpadające, ale skiadowe równoległa i prostopadła mają względem siebie różnicę faz Δ . To Δ można

obliczyć dla różnych kątów padania.

Jeżeli 1) $\alpha = \frac{\pi}{2}$, $\Delta = 0$

2) $\sin \alpha = n$, $\Delta = 0$

Jeżeli promień spada zupełnie równolegle, albo pod kątem odbicia zupełnego, to $\Delta = 0$; dla wszystkich innych wartości istnieje jedna różnica faz dwóch składowych drgań. Graficznie (fig. 40) przedstawia się to przez wektor $\vec{P}(\xi, \eta)$,

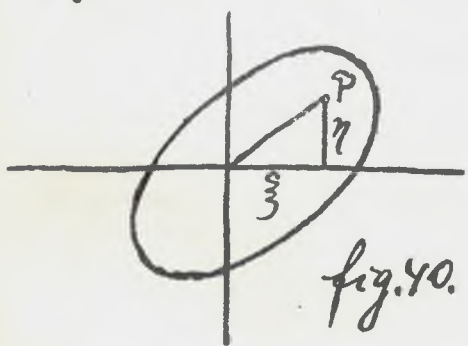


fig. 40.

gdzie ξ i η odbywają drgania harmoniczne.

$$\xi = \sin n\varphi, \quad \eta = \sin(\varphi + \Delta) = \sin \varphi \cos \Delta + \cos \varphi \sin \Delta$$

$$\eta = \xi \cos \Delta + \sqrt{1 - \xi^2} \sin \Delta$$

$$(\eta - \xi \cos \Delta)^2 = (1 - \xi^2) \sin^2 \Delta.$$

Obramyjemy drgania eliptyczne, tylko dla $\Delta = \frac{\pi}{2}$ drganie jest kołowe. By obramyć drgania kołowe, mimo, że dla kąta np. przy wszelkich kątach padania $\Delta < \frac{\pi}{2}$; dobieramy $\Delta = \frac{\pi}{4}$ i konstruujemy dwa takie odbicia. Jeżeli chodzi

o odbicie ze szkła do powietrza, to $a = \frac{1}{1.51}$, a dla $\alpha = 54^\circ 37'$ Δ wynosi $\frac{\pi}{4}$, postarając zaś o odbicie otrzymanym już $\Delta = \frac{\pi}{2}$. Odpowiedni przykład skonstruował Fresnel (fig. 41) W punkcie I

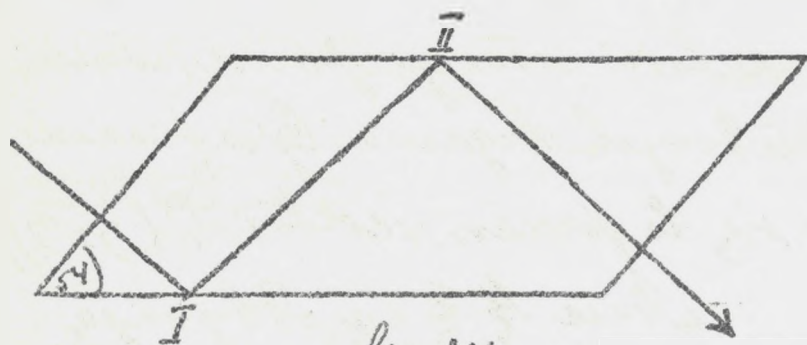


fig. 41

Doznaje je, Dno Drganie stańdowe opóźnienia o $\frac{1}{4}$ drgania,

Leż samo w punkcie II, skutkiem tego promień wychodzący posiada Drganie stańdowe o różnicy faz $\Delta = \frac{\pi}{2}$. Porównując wyniki otrzymane według wzorów Fresnel'a z doświadczeniem widad, że pierwsze zbroczenia w teorii występują, je dymie w pobliżu kąta polaryzacji, gdzie je tłumaczy się istnieniem warstw przejściowych.

Zupełnie inaczej zachowują się materje silnie absorbujące, szczególnie metale. Są one zwierciadła,

Staniu; natężenie światła odbitego jest o wiele silniejsze niż u innych ciał; światło odbite jest zawsze eliptycznie spolaryzowane; nie ma polaryzacji zupełnej. Pierwsze badania na tem polu pochodzą od Fresnela, teoryę tych zjawisk rozwinął ostatecznie fizyk Mac Coll. W r. 1839, powołując się na zjawiska odbicia zupełnego, które występują, gdy promienie wchodzić a obrotka optycznie gęstszego w rzadszy; przyjął on współczynnik załamania, jako wielkość zespoloną. Z punktu widzenia elektromagne-tycznej teoryi światła da się to w sposób wystarczający wyrazić w sposób zadowalający.

Uogólnijmy obecnie teoryę zjawisk odbicia i załamania dla ciał przewodzących.

$$k \frac{\partial X}{\partial z} + 4\pi k X = \frac{\partial N}{\partial y} - \frac{\partial M}{\partial z}$$

$$k \frac{\partial Y}{\partial z} + 4\pi k Y = \frac{\partial L}{\partial z} - \frac{\partial N}{\partial x}$$

$$k \frac{\partial Z}{\partial z} + 4\pi k Z = \frac{\partial M}{\partial x} - \frac{\partial L}{\partial y}$$

Te same równania zostają takie same, jak przy siatkach izolujących.

$$\frac{\partial L}{\partial z} = \frac{\partial Y}{\partial z} - \frac{\partial Z}{\partial y}$$

$$\frac{\partial M}{\partial z} = \frac{\partial Z}{\partial x} - \frac{\partial X}{\partial z}$$

$$\frac{\partial N}{\partial z} = \frac{\partial X}{\partial y} - \frac{\partial Y}{\partial x}$$

Prócz tego mamy równanie wyrażające, że gęstość elektryczności jest niezmienna.

$$\frac{\partial X}{\partial x} + \frac{\partial Y}{\partial y} + \frac{\partial Z}{\partial z} = Q$$

Chcąc mieć wielkości tylko jednego rodzaju, różniczkujemy pierwsze równania względem z .

$$k \frac{\partial^2 X}{\partial z^2} + 4\pi k \frac{\partial X}{\partial z} = \frac{\partial}{\partial y} \left(\frac{\partial X}{\partial y} - \frac{\partial Y}{\partial x} \right) - \frac{\partial}{\partial z} \left(\frac{\partial Z}{\partial x} - \frac{\partial X}{\partial z} \right)$$

$$= \frac{\partial^2 X}{\partial y^2} + \frac{\partial^2 X}{\partial z^2} - \frac{\partial}{\partial x} \left(\frac{\partial Y}{\partial y} + \frac{\partial Z}{\partial z} \right) + \frac{\partial^2 X}{\partial x^2} - \frac{\partial^2 X}{\partial x^2}$$

$$= \nabla^2 X$$

Podstawiając zamiast $\lambda - \frac{1}{\sigma}$, gdzie σ preced, stawa opór właściwy, piszemy te równania w formie:

$$K \frac{\partial^2 X}{\partial z^2} + \frac{4\pi}{\sigma} \frac{\partial X}{\partial z} = \frac{\partial^2 X}{\partial x^2} + \frac{\partial^2 X}{\partial y^2} + \frac{\partial^2 X}{\partial z^2}$$

$$K \frac{\partial^2 Y}{\partial z^2} + \frac{4\pi}{\sigma} \frac{\partial Y}{\partial z} = \frac{\partial^2 Y}{\partial x^2} + \frac{\partial^2 Y}{\partial y^2} + \frac{\partial^2 Y}{\partial z^2}$$

$$K \frac{\partial^2 Z}{\partial z^2} + \frac{4\pi}{\sigma} \frac{\partial Z}{\partial z} = \frac{\partial^2 Z}{\partial x^2} + \frac{\partial^2 Z}{\partial y^2} + \frac{\partial^2 Z}{\partial z^2}$$

Odpowiednio dla L, M, N . W formie wektorowej

$$K \frac{\partial^2 f}{\partial z^2} + 4\pi \lambda f = \text{rot } f$$

$$\frac{\partial f}{\partial z} = -\text{rot } f$$

Chcąc wyznaczyć f , trzeba brać rotację z pierwszego równania.

$$K \frac{\partial \text{rot } f}{\partial z} + 4\pi \lambda \text{rot } f - \text{rot}^2 f = -\nabla^2 f$$

$$-K \frac{\partial^2 f}{\partial z^2} - 4\pi \lambda \frac{\partial f}{\partial z} = -\nabla^2 f, \text{ analogicznie, jak dla sił elektrycznych.}$$

Równania te różnią się od poprzednich skł. „
 Drukami $\frac{4\pi}{\sigma} \frac{\partial X}{\partial t}$ itd. Jeżeli się ograniczymy
 na ruch falowy, postępującym w kie-
 runku osi X , przesunięcia w kierunku
 osi y , więc $\frac{\partial^2 Y}{\partial y^2} = \frac{\partial^2 Y}{\partial z^2} = 0$.

Niech będzie rozwiązanie

$Y = a e^{i\alpha(z - \beta x)}$ sprawdzając

$$-K\alpha^2 + \frac{4\pi}{\sigma} i\alpha = -\alpha^2 \beta^2$$

To się nie da spełnić, w praktyce gdy α i β są
 wielkościami rzeczywistymi; należy podsta-
 wie $\beta = \kappa + i\nu$, w takim razie otrzymamy

$$-K\alpha^2 + \frac{4\pi}{\sigma} i\alpha = -\alpha^2 (\kappa^2 - \nu^2 + 2i\kappa\nu)$$

Będzie to spełnione, jeżeli

$$\begin{cases} -K\alpha^2 = -\alpha^2 (\kappa^2 - \nu^2) \\ \frac{4\pi}{\sigma} \alpha = -2\alpha^2 \kappa\nu \end{cases} \text{ czyli, gdy } \begin{cases} K = \kappa^2 - \nu^2 \\ \frac{2\pi}{\sigma} = -\kappa\nu = \frac{\nu}{\sigma} \end{cases}$$

Nobec tego

$$\kappa^2 - \left(\frac{\nu}{\kappa\sigma}\right)^2 = K$$

$$\kappa^4 - K\kappa^2 = \frac{\nu^2}{\sigma^2}; \text{ więc}$$

$$\kappa^2 = \frac{K}{2} \pm \sqrt{\frac{\nu^2}{\sigma^2} + \frac{K^2}{4}}; \nu^2 \kappa^2 - K = -\frac{K}{2} \pm \sqrt{\frac{\nu^2}{\sigma^2} + \frac{K^2}{4}}$$

$$K = \pm \sqrt{\frac{K}{2} \pm \sqrt{\frac{K^2}{4} + \frac{R^2}{4}}}$$

$$v = \pm \sqrt{\frac{K}{2} + \sqrt{\frac{K^2}{4} + \frac{R^2}{4}}}$$

Aby na podstawie wielkości liczbowych zdać sobie sprawę, z tego, który z tych ^{składników} ^{podporównań} jest ważniejszy, weźmiemy dla przykładu rtec. Opór/cm³, czyli opór właściwy σ , wobec tego, że 1 Ohm jest zdefiniowany jako opór śmieszka rteci o długości 106cm i przekroju 1mm², będzie

$$\frac{1}{106 \cdot 100} \Omega = \frac{10^9}{100 \cdot 106} \text{ (el. mg.)};$$

$$\frac{1}{\sigma} = 1.06 \cdot 10^{-5}$$

Wielkość τ przedstawia okres drgań elektrycznych, magnetycznych wpadających. Powiedzmy, że chodzi o fale cieplne długości 10 mikro, now. Istnieje pelacya, że długość tej fali, która we widmie promieni cieplnych posiada najniższe natężenie, jest proporcjonalna do temperatury ciała $\lambda_m \theta = \text{const} = 289^\circ$. Przy temperaturze $\theta = 289^\circ$ (absol.) = $+16^\circ$.
N. d. e. i m. art. XV.

ciało wywołuje fale cieplne długości $10\mu = \frac{1}{100} \text{ mm}$.
 Podstawmy $\lambda = 10^{-3} \text{ cm}$, zatem okres $\tau = \frac{\lambda}{c} = \frac{10^{-3}}{3 \cdot 10^{10}} =$
 $= \frac{1}{3} 10^{-13}$, stąd $\frac{v}{\sigma} = \frac{1}{3} 10^{-18}$.

Wielkość k , stała dielektryczna, jest w stęci
 rzędu jednostki, w jednostkach bezwzględnych
 (el. mg) $k = \frac{1}{\epsilon}$. Będziemy więc mieli:

$k = \sqrt{10^{-18} + 10^{-24}}$. Drugi składnik jest do
 pominięcia w porównaniu z pierwszym,
 wobec czego w xóś się redukuje na

$$k^2 = \frac{v}{\sigma}, \quad v^2 = \frac{v}{\sigma}.$$

Stała dielektryczna nie wpływa na κ ja,
 wióko w ciałach jaó pteó, ale jedynie próe,
 wodnictwo danego metalu i okres drgaó
 wpadających.

$$Y = a e^{i\alpha(t - \beta x)} \quad (\beta = \kappa + i\nu)$$

$$= a e^{i\alpha(t - \kappa x) + \alpha\nu x}$$

$$= a e^{\alpha\nu x} \sin \left\{ \alpha (t - \kappa x) \right\}$$

Jest to zatem fala postępująca w kierunku
 osi x z prędkością $v = \frac{dx}{dt} = \frac{1}{\kappa}$ w amplitudzie a

współczynnikiem tłumienia; amplituda ma, leje ze wzrostem x w miarę wykładnika αv .

$$\alpha v = \frac{2\pi}{c} v = \frac{2\pi}{c} \sqrt{\frac{c}{\sigma}} = \frac{2\pi}{\sqrt{\sigma c}}$$

Absorbacja będzie tem silniejsza, im mniej, sie σ , spór właściwy, czyli cemu lepsze przewodnictwo, oraz im mniejsze c , czyli im krótsza fala wpadająca. Liczbowo w poprzednim przykładzie wypada:

$$\alpha v = \frac{2\pi}{\sqrt{\sigma c}} = \frac{6}{\sqrt{3 \cdot 10^{-7}}} = \frac{6}{\sqrt{30}} \cdot \frac{1}{\sqrt{10^{-8}}} = 10^4$$

t.j., że w odstępnie $x = 10^{-4}$ cm amplituda zmniejsza się w stosunku $\frac{1}{e} = \frac{1}{2.7}$ mniej więcej na trzecią część pierwotnej, a tem na dziesiątą część pierwotnego. Jest to więc obszar nadzwyczajnie silnie absorbujący, kiedy przez cienką grubości 0.001 mm. przechodzi fale o częst. pierwotnego materiału.

Interesują nas teraz dalsze konsekwencje,

które wypadają pod przyjętym kątem
przy odbiciu i załamaniu. Rozważanie będzie
takie same, jak przedtem, przyjmiemy do tych
samych wzorów Fresnela:

$$B_{\parallel} = A_{\parallel} \frac{\sin(\varphi - \chi)}{\sin(\varphi + \chi)}, \quad B_{\perp} = -A \frac{\sin(\varphi - \chi)}{\sin(\varphi + \chi)}$$

$$B_{\varphi=0} = -\frac{n-1}{n+1} A$$

Trzeba jednak pamiętać, że teraz współrzędną x
nie stała się oś części przekrzywionej i urojonej
(n jest słownikiem prędkości w próżni i danym
środku)

$$Y = a e^{i\alpha(t - \beta x)}$$

Prędkość zależy od β , gdzie

$$dt - dx \cdot \beta = 0, \quad v = \frac{dx}{dt} = \frac{1}{\beta}$$

$$a \quad n = \frac{c}{v} = c\beta = c(\kappa + i\nu)$$

$$\sin \chi = \frac{\sin \varphi}{n} = \frac{\sin \varphi}{c(\kappa + i\nu)}$$

Nobis tego amplitudy fal odbitych są złożone
z części przekrzywionej i urojonej w postaci $B = B_0 e^{i\delta}$,
przyjmując B_0 przedstawia amplitudę Drzawia

przekrywistego, a δ różnicę faz Drgania Obrotowego
względem wpadającego.

Zanim przejdziemy do ogólniejszych wzorów,
ograniczmy się na specjalnym przypadku
 $\varphi = \delta$.

$$B = -A \frac{n-1}{n+1} = -A \frac{c(\kappa + i\nu) - 1}{c(\kappa + i\nu) + 1} = B_0 e^{i\delta}$$

A nie każde porównanie między wielkościami re,
spolonemi pozostaje waxine, gdy zmienimy
 $+i$ na $-i$, więc też

$$B = -A \frac{c(\kappa - i\nu) - 1}{c(\kappa - i\nu) + 1} = B_0 e^{-i\delta}$$

Przez pomnożenie tych porównań stronami
otrzymujemy:

$$B_0^2 = A^2 \frac{(c\kappa - 1)^2 + c^2 \nu^2}{(c\kappa + 1)^2 + c^2 \nu^2} = A^2 \frac{(c^2 \kappa^2 + c^2 \nu^2 - 2c\kappa + 1)}{(c^2 \kappa^2 + c^2 \nu^2 + 2c\kappa + 1)}$$

Wzór ten można otrzymać także pod przy-
jęciem innej teorii pochodzenia się fal, byle
należone było z części przekrywistej i wrozonej.
Specjalizujemy to według teorii Maxwella,
kładąc $\kappa^2 = \nu^2 = \frac{h}{\rho_0}$ i dzieląc równocześnie li,

czuik i mianownik frazei $2c^2$

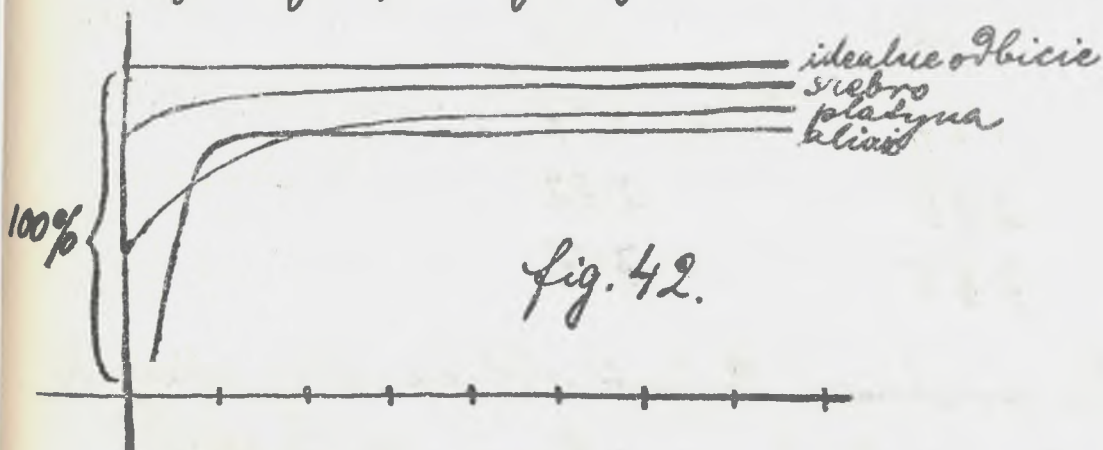
$$B_0^2 = A^2 \frac{\kappa^2 \frac{\kappa}{c} + \frac{1}{2c^2}}{\kappa^2 + \frac{\kappa}{c} + \frac{1}{2c^2}}$$
 Jeżeli κ jest duża, licząc dwie, można $\frac{1}{2c^2}$ pominąć w porównaniu z innymi składnikami, wtedy

$$B_0^2 = A^2 \frac{1 - \frac{1}{c\kappa}}{1 + \frac{1}{c\kappa}} = A^2 \left(1 - \frac{2}{c\kappa}\right); \quad \kappa = \sqrt{\frac{\mu}{\epsilon_0}}, \quad c\kappa = \sqrt{\frac{c\mu}{\epsilon_0}}$$

obrymany współczynnik $R = 1 - \frac{2}{c\kappa} = 1 - \frac{2\sqrt{\epsilon_0}}{\sqrt{c\mu}}$ mierzony zdolnością odbicia (Reflectionvermögen). Dla ptęci, dla fal długości 10 mikro, now jest $R = 1 - \frac{2}{\sqrt{300}} = 1 - \frac{2}{17} = 1 - 12\% = 88\%$ Zdolność odbicia jest bardzo wielka, stąd pachodzi blask metaliczny, polegający jedynie na tem, że większa część promieni zostaje odbita, co można poznaci, obserwując odbicie z powierzchni na powierzchni wody; wydaje się wtedy, że woda ma powierzchnię metaliczną.

Pomiary mające stwierdzić zgodność teorii z doświadczeniem - czy przekrycie ^(gdzie jest) dane przewodnictwo metalu ϵ a pomiarów pętki, mnych, można wnioskować o wtaonosciach

optycznych wykonali Rubens & Hagen 1902 i stwierdzili słuszność teorii, jeżeli chodzi o promienie długie, porażkowe, ciepłe, ciepłe dla krótkich promieni świetlnych. Zdolność odbicia rośnie z długością fali elektrycznej wpadającej.



W przedstawieniu graficznym (fig. 42) jako ościska bierzemy długość fal λ w mikronach, jako prędkość R . Przy nieznacznych długościach λ występują nieregularności, ale powyżej od 3-4 mikronów przebiegają równolegle, jak wypada według teorii Maxwella. Ciemniejsza długość, tem bardziej zbliża się do słuszności odbicia

Do zwierciadła idealnego.

Poniżej przytoczone są pierwsze dane Liczbowe. $(1-R)_{100}$ przedstawia ilość procentów światła nieodbitego, obliczoną dla fal cieplnych 100, chodzących od ciała ogrzanego do 170°

	obliczono	znaleziono
Ag	1.15	1.13
Cu	1.27	1.17
Pł	2.96	2.82
Hg	7.55	7.66

Można też porównać zdolność odbicia przy różnych temperaturach. Liczby są podane w tej tabelicy w innych jednostkach, mianowicie przez wychylenie

Pł.	obliczono	znaleziono	galwanometru. —
$\theta = 170^\circ$	6.8	6.6	Co do sposobu, jak
300	14.8	15.7	przebieg te wykona
900	78.9	79.6	no, to mierzone
1500	191	189.5	

nie zdolność odbicia, ale zdolność emisyjną, o której wiemy według Kirchhoffa, że jest w ścisłym

zwiazku ze zdolnością absorbcyi i odbicia. Ciało, które jest Dobrem przewodnikiem, ogrzane wysyła mało promieni, ciasto prawie odwrócone.

Zgodność liczb otrzymanych jest taka Dobra, że wprost a danych optycznych można obliczyć przewodnictwo metali, lecz zawora tylko odnośnie do drugich fal. Dużo nas oświadczył, że we widmie widzialnem występują nieregularności:

$$\lambda = 0.45, 0.5, 0.55, 0.6, 0.65, 0.7.$$

fiol. nieb. ziel. żółte pom. czerw.

R dla Au 36.8, 45.7, 75, 86, 88, 92

R " Cu 49, 53, 60, 84, 89, 91

R " Ag 91, 92, 92, 93, 94, 95

Złoto odbija najsilniej promienie żółte - czerwone, niebieskie natomiast bardzo słabo, stąd też jego barwa, miedź również odbija bardziej czerwone, a srebro prawie wcale odbija jednako, co powoduje barwę szarą; jest to zresztą w zgodzie z tem, że im lepszy jest przewodnik, t. j. i magu. Arch. XVI.

wodnik, tem lepsze kierciadło.

Nierregularności tych, występujących we widmie widzialnem, nie można oczywiście wytłumaczyć według teoryi właśnie co rozwiniętej (jako skutki przewodnictwa). Ale można rozwinąć rachunki na D , podobnie, jak to było zrobione dla odbicia zupełnego, przyjmując współczynnik załamania kwiony α części przekrojonej i wrozonej. Światło wpadające niech ma równe składowe, we x kierunku prostopadłym i równoległym,

wtedy

$$\frac{B_{||}}{B_{\perp}} = \frac{B_0 e^{i\delta_1}}{B_0 e^{i\delta_2}} = -\frac{\cos(\varphi + \chi)}{\cos(\varphi - \chi)} = e^{i(\delta_2 - \delta_1)}$$

Zróżni należy, że φ i χ są potrzebne przez kwion, ale wrozone; przy rozwinięciu pokazuje się, że światło wpadające jest odbite eliptycznie, a różnica faz jest zależna od kąta wpadania i od wielkości optycznych. Analizując światło wychodzące można odwrócić wnioskować o współczynnikach załamania i wogóle o właściwościach

optycznych danego ciała. Badania w tym kierunku robili Jamies, Drude, Zakrzewski. Przewidują, że przy doświadczeniach tego rodzaju jest fakt, że powierzchnia zwierciadła nie jest nigdy zupełnie czystą, a główną trudnością, z którą eksperymentownicy mają do czynienia, polega na szlifowaniu czystych powierzchni metalowych.

Drude otrzymał bardzo oryginalne współczynniki (dla części przekrojonej; zalekanej od v), tak np. dla światła czerwonego $k = 0.59$.

n dla Ag	0.18
Au	0.37
Pb	2.06
Cu	0.64
stali	2.41
Zhg	1.73

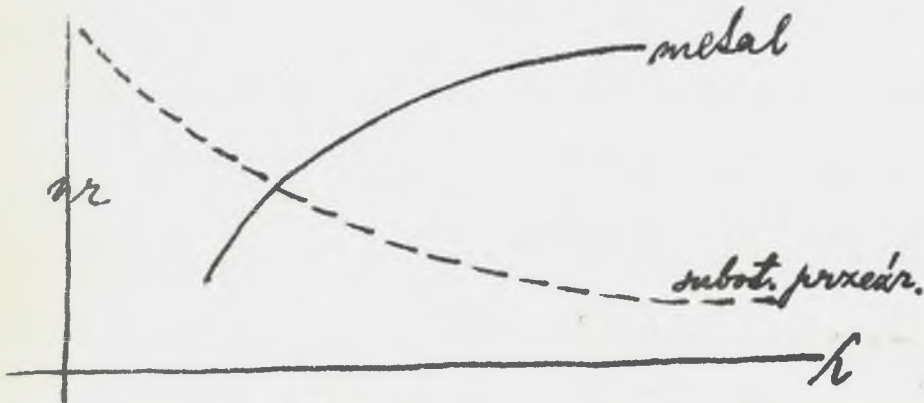
Nauy tu współczynniki załamania niektóre większe od jedności, inne mniejsze, co wskazuje

auje na to, że światło w metalach przechodzi się
 prędkiej, niż w próżni. Wydarło się to niemożli-
 we, krax jednat stwierdono, że świat jest w isto-
 cie. Współczynnik załamania n w metalach
 da się zmierzyć bezpośrednio, jeżeli warstwa
 jest cienka. Taką, warstwę, cienką, klinowatą



wybarwa się przez rozpróse,
 nie elektryczne drucika, np.
 srebra w próżni. Kąt można

zmierzyć prazikami Newtona i staż obli-
 czyć n . Liczby otrzymane zgadzają się
 z temi, które podał Drude.



licz (fig. 43)
 są pierwszorzęd-
 na oznacza
 długość fali,
 są drugorzędna
 częst. przekroci,

fig. 43.
 staż współczynnika nr , to krzywa powodająca prwe,

stawia dla metali według poprzednio wyprosa,
Dzwojnego wzoru $[n] = k = \sqrt{\frac{\epsilon k}{\sigma}}$ przebieg Dyspersyi
anormalny, podczas gdy normalnie współczynn,
niek kątowania jest tem większy, czem krótsze
fale - jak zachowują się przeważnie wyołkie
substancye przewodzące. Anormalną Dyspersyę
metali tłumaczy się znaczną absorbcyą, któ-
ra jest powodowana przewodnictwem metali.
Według Maxwella izolatory zupełnie, nie posiad-
ające absorbcyi, nie powinny też mieć Dysper-
sji, gdyż wyołkie fale pochodzą się jedna,
koro prędko $n = \sqrt{k}$. Zjawisko Dyspersyi
w ciałach przewodzących nie tłumaczy
się teorią Maxwella, gdyż podług niej mo-
głoby istnieć tylko dyspersya anormalna.
Dla przewodników niemetalowych jest słys
przewodnictwa bardzo mały, jak, iż się
nie może wydatnie. Związana, że wzoru
 $k^2 = \frac{k}{2} \left[1 + \sqrt{1 + \frac{17}{k^2}} \right]$, jeżeli się obliczy σ , widać że

Dругi składownik teorii. Zjawisko dyspersji w nie metalach nie da się zatem objąć teorią Maxwella, a to samo odnosi się do metalu dla fal krótkich. Skąd to pochodzi?

Musi zatem w tem wystąpić wielką rolę odgrywać jeszcze jakiś czynnik, o którym Dotychczas nie było mowy. Jako taki przychodzi się drgania własne elektronów w ciastach przewodzących, które można sobie wyobrazić, jako drgania mechaniczne, albo jako rodzaj drgań elektrycznych, jak w wirbratorze Hertz'a. Te drgania własne wskutek rezonancji muszą wpływać pośrednio na szybkość, z którą fala się rozchodzi w danym ośrodku. Rozwijając tę teorię, otrzymuje się wzory na dyspersję normalną, zgodną z doświadczeniem.

Należy zauważyć, że także w ośrodkach przewodzących istnieją takie, które

są, przechwyte dla fal świetlnych, ale dla fal o pewnej długości są, nieprzechwyte. Są to przewodnictwem ciała silnie absorbujące, np. para jodu, roztwór furfurylu itp. Tam, gdzie znajdują się smugi absorbcyj, występuje dyspersja anormalna. Istnieje pewien związek a tem, co mówiliśmy o metalach; okazuje się bowiem, że gdy n jest złozone a części przechwyte i rozpraszanej, otrzymuje się absorbcję a dyspersję anormalną.

Mamy w tem pewne wskazówki, pod jakim względem należy uzupełnić teorię Maxwella; trzeba mianowicie rozględnąć Drgania własne. Skąd przychodzimy na ten pomysł? Jeżeli obserwujemy dyspersję w jakimś gazie świecącym, np. dla pary sodu, to dla linii D, gdzie $\lambda = 0,589 \mu$ mamy silną absorbcję. Podając zależność współczynnika załamania od długości fal wpadających, to widzimy, że rośnie

z malejącemu λ aż do D , gdzie występuje anormalność. Nagle silnie maleje, a potem

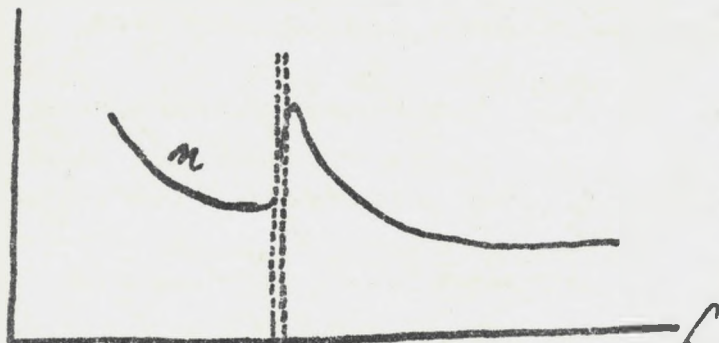


fig. 44.

znowu rośnie. Wy-
stępuje zatem
oczyszczony związek
dyfrakcyi z absorbcyją.
Wiemy zaś, że ab-
sorbcya jest zwią-
zana

z anormalnością emisyjną, widać więc,
że drgania własne pary sodu są powodem
i absorbcyi i dyfrakcyi.

Dalsze zastosowania teorii Maxwella.
Mówiliśmy dotychczas o falach, które się roz-
chodzą w przestrzeni wolnej. Można by w tym
kierunku dalej prowadzić badania, np. za-
łamanie przez pryzmat, uginanie etc, ale
przy tem nic nowego nie uzyskujemy, prócz
ściślej analogii z optyką. Specyalny dział
doświadczeń dotyczy przechodzenia się fali

wzdłuż drutów. Liczne experimenta na
tem pole wykonał szczególnie Lecher.

Używał on jako wibratora płyt kondensera,

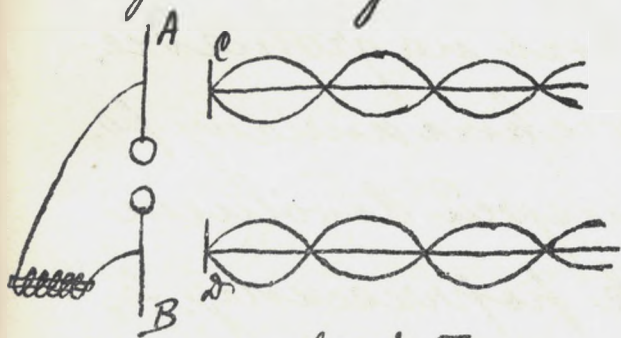


fig. 45.

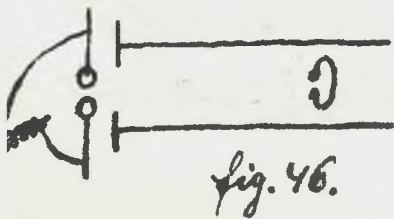
lora (A B fig. 45), po-
łączonego z aparatem
Ruhmkorffa. Płyty
ładują się kolejno
Dodatkowo i ujawnia,

a wskutek indukcji na płytach przeci-
ległych płytom kondensatora (C D) powstają
ładunki o przeciwnej, a tych nas' rozchodzi się
elektryczność wzdłuż drutów; koniec drutów
sworną, przewodzącą, przez którą prąd nie
może przejść, musi się więc odbijać, wsku-
tek czego powstają miejsca wzrostu i naj-
większych wychyleń, a to tam, gdzie różni-
ca potencjałów między drutami będzie
maksymalna, względnie minimalna, to
znaczy że powstają fale stojące. Można to
Nowe leczy pl. i magn., Ark. XVII.

wykarzać różnymi sposobami. Natężona np. przy końcach drutu rurka Geisslera będzie świeciła, gdyż końce są węzłami dla prądu, tzn. będzie tam największe nagromadzenie elektryczności, największe zmiany potencjału. W jakimś miejscu dowolnym można natężyć drucik poprzeczny. Jeżeli go natężymy przypadkowo w miejscu węzłowym dla potencjału, to drucik zjarze, skąd nie zmieni, gdyż niema rezystencji do wyrównania prądu. Jeżeli jednak natężymy drucik na takim miejscu, gdzie występują maksymalne różnice potencjału, tu powstaje prąd, który usmierza całą zjawiskę i rurka przestaje świecić. Przesuwając to połączenie wzdłuż drutów, można znaleźć miejsca węzłowe, które odpowiadają odstępowi $\frac{\lambda}{2}$, a tak eksperymentalnie da się zmierzyć długość fali stojącej.

Jeżeli znamy próż tego okres drgań wibra-
tora, mamy dane, by obliczyć prędkość
rozchodzenia się fali pod drucic $c = \frac{L}{T}$. Gwier,
Dzono, że fala elektryczna rozchodzi się
wzdłuż drutów z tą samą prędkością, co
w obwodku zewnętrznym. Takie doświad-
czenia mogą zatem pośrednio służyć do
tego, żeby obliczyć stałą dielektryczną.

Należy jeszcze wspomnieć o jednym
zjawisku, które było długo niezrozumiane,
to jest to t.zw. wielokrotna rezonancja
(Multiple Resonance). Występuje wtedy,
jeżeli w poprzednim doświadczeniu wiy,
je się rezonatorów do wykazania fal. Jeżeli
li umiemy rezonator w płaszczyźnie
przechodzącej przez druty, (fig. 46) powstaje
w nim siła indukowana i w razie istnienia

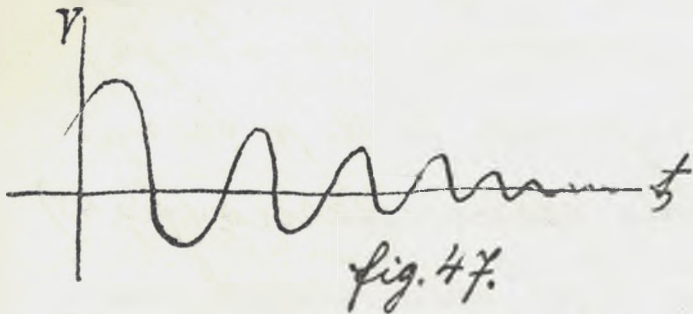


rezonancji przeskaku,
ją iskry. Badania na

tem polu przeprowadzili Sarasin & De la Rive. Używali oni różnych rezonatorów i różnych wi-
bratorów. Można było przypuścić, że znajdują się
 pewne miejsca rezonansu i pewne maxima, za-
 leżne od okresu drgań vibratora, a same rezo-
 natory będą odgrywały podrzędną rolę. Tym-
 czasem pokazało się, że każdy rezonator od-
 powiadał na fale elektryczne, niezależnie od
 tego, czy był długi, czy mały i że długość λ , sto-
 sowała się nie do okresu vibratora, ale do okre-
 su rezonatora. Zdawało się, że to jawisko jest
 wprost przeciwne teorii wzbudzenia fal.
 tłumaczenie tego faktu podał jednak
 Poincaré dowodząc, że rezonancja zależy
 od stopnia uśmierzenia się fal elektroma-
 gnetycznych wzbudzonych przez vibrator.
 Uśmierzają się wskutek ciepła Foula fale wy-
 te do brzenia iskier. Na miejsce sinusoidy
 wchodzi krzywa o amplitudach szybko

zanikających (fig. 47), $V = e^{-\gamma t} \sin \alpha l$, dająca się rozwinąć w szereg Fouriera

$$A_1 \sin \alpha l + A_2 \sin 2\alpha l + \dots + B_0 + B_1 \cos \alpha l + B_2 \cos 2\alpha l + \dots,$$



który daje szereg fal elektrycznych o różnych okresach i zjawisko nie jest

harmoniczne, ale złożone z szeregu fal elementarnych. Rezonator wybiera z pomiędzy nich te, które odpowiadają jego organom własnym i te fale wzmacnia. Dlatego też w drutach powstają fale, które odpowiadają okresom rezonatora. Jeżeli zaś uśrednienie jest słabe, to nie ma zjawiska rezonancyjnego wielokrotnego. Na tych doświadczeniach polega jeden ze sposobów mierzenia prędkości fal elektrycznych. Jedną z myśli charakterystycznych teorii Maxwella jest to, że przyjmuje

sily działające tylko w punkcie na punkt przylegający, a odwraca działanie na odle, głosi, co się wyraża tem, że równania jego są równiczkowe. Odpowiednio do tego starać się też znaleźć napięcia w sterce, powodując, że sily powrotnotoryczne. Jak w teorii sprężystości na kostkę elementarną (fig. 48)

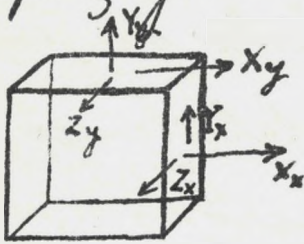


Fig. 48.

działa 9 sił składowych; na każdej powierzchni jedna prostopadła i dwie styczne. Jeżeli ma istnieć równowaga

w każdym elemencie objętości, to musi być:

$$X_y = Y_x$$

$$X_x = Z_x$$

$$Y_z = Z_y$$

z równania kostki elementarnej wynika, że równania ruchu. Sily w kierunku osi x,

która powoduje ruch, jest - gdy X_x w osi x, a składową sily wewnętrznej:

$$X_x + \frac{\partial X_x}{\partial x} + \frac{\partial X_y}{\partial y} + \frac{\partial X_z}{\partial z} = \rho \frac{\partial^2 \xi}{\partial t^2}$$

Maswell wykazuje, że można nastąpić siły elektromagnetyczne i elektrostatyczne, pobierając stosowne napięcia eteru. Zrobimy to w specjalnym wypadku. Wyobraźmy sobie, że mamy pole elektrostatyczne. Wtedy gęstość prędkości

$$\mathcal{G}_w = -\frac{1}{4\pi} \left[\frac{\partial}{\partial x}(KX) + \frac{\partial}{\partial y}(KY) + \frac{\partial}{\partial z}(KZ) \right] = \frac{K}{4\pi} \nabla^2 U,$$
 a siła składowa w kierunku x wywierana przez to pole na jednostkę masy jest

$$X_{\mathcal{G}_w} = -\frac{K}{4\pi} X \left[\frac{\partial X}{\partial x} + \frac{\partial Y}{\partial y} + \frac{\partial Z}{\partial z} \right]$$

Jeżeli siła zewnętrzna elektrostatyczna, mamy zastąpić przez napięcie eteru, przyjmując, że przyjęliśmy stan równowagi, czyli

$$\mathcal{G} \frac{\partial^2 \xi}{\partial t^2} = 0.$$

$$X_{\mathcal{G}_w} = -\frac{\partial X_x}{\partial x} - \frac{\partial X_y}{\partial y} - \frac{\partial X_z}{\partial z}$$

Przyjmemy położymy

$$X_x = \frac{K}{8\pi} (x^2 - y^2 - z^2)$$

$$X_y = \frac{KXY}{4\pi}$$

$$X_z = \frac{KXZ}{4\pi}$$

bo wtedy rzezywiscie jest spełnione, idęcy
 tyżnie, jak to się okazuje po wstawieniu:

$$X_{gr} = -\frac{k}{8\pi} \left(2X \frac{\partial X}{\partial x} - 2Y \frac{\partial Y}{\partial x} - 2Z \frac{\partial Z}{\partial x} + 2X \frac{\partial Y}{\partial y} + \right. \\ \left. + 2Y \frac{\partial X}{\partial y} + 2Z \frac{\partial X}{\partial z} + 2X \frac{\partial Z}{\partial z} \right)$$

W wypadku elektrostatyki istnieje potencjał, a warunkiem na to jest, by

$$\frac{\partial X}{\partial y} = \frac{\partial Y}{\partial x}, \quad \frac{\partial X}{\partial z} = \frac{\partial Z}{\partial x}, \quad \frac{\partial Y}{\partial z} = \frac{\partial Z}{\partial y},$$

robec tego
 zostaje

$$X_{gr} = \frac{k}{4\pi} X \left\{ \frac{\partial X}{\partial x} + \frac{\partial Y}{\partial y} + \frac{\partial Z}{\partial z} \right\}$$

Analogicznie dla innych osi, tak, iż otrzymamy
 napiecia

$$X_x = \frac{k}{8\pi} (X^2 - Y^2 - Z^2)$$

$$X_y = \frac{kXY}{4\pi} = Y_x$$

$$Y_y = \frac{k}{8\pi} (Y^2 - X^2 - Z^2)$$

$$X_z = \frac{kXZ}{4\pi} = Z_x$$

$$Z_z = \frac{k}{8\pi} (Z^2 - X^2 - Y^2)$$

$$Y_z = \frac{kYZ}{4\pi} = Z_y$$

To jest system napieci w eterze, który to
 system następuje nam pily elektrostatyczne,
 w polu działające. W podobny sposób można

zasłupit sily magnetyczne. W polu elektro-
magnetycznem istnieje suma napięć obu
rodzajów:

$$X_x = \frac{R}{8\pi} (X^2 - Y^2 - Z^2) + \frac{\mu}{8\pi} (L^2 - M^2 - N^2) \text{ i.t.d.}$$

By określić znaczenie tych wyrazów, wyobra-
źmy sobie linie sił w polu elektromagnety-
cznem (fig. 49). Widzimy, że w części równo-
ległej do osi x istnieje tylko siła wzdłuż

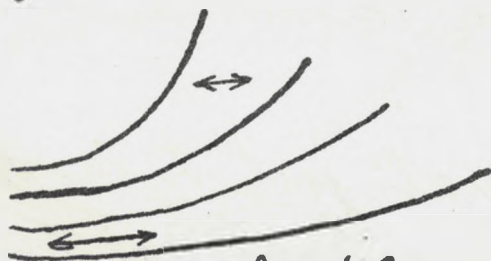


fig. 49.

osi x skierowana,
a składowe prosto-
padłe są równe ze-
rów. Istnieje więc

napięcie ciągnące. W takich paśmiej-
scach, gdzie siły są prostopadłe do osi
 x i x , mamy tylko składową w kierunku
osi Y , a ciągnięcie w kierunku osi x jest
proporcjonalne do V^2 ze znakiem przeci-
wnym; działa zatem siła rozpięrająca.

Ta sama interpretacja stosuje się do jakiegoś, kolwiek miejsca linii sił; zawsze te linie starają się skurczyć wzdłuż i rozszerzać się w bok. Działanie napięcia w eterze jest analogiczne do działania napięcia w mięśniach. Cały stan pola elektromagnetycznego można sobie wyobrazić za pomocą tych linii sił, wzdłuż których istnieje dążność do skurczenia, napięcia oraz do dążności rozszerzania się w bok.

To, cośmy dotąd poznali jest tylko rzekiem teorią napięcia w eterze. Dowód jej przykłada się w sposób dość ciekawy, stawa, formując wyrażenie na energię W, istniejącą przy napięciach. Za przykład niech

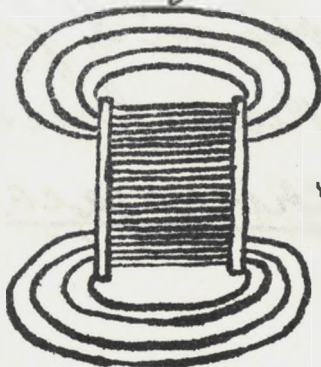


Fig. 50.

służą siły działające na składowki kondensatora (fig. 50), a stały, przy je przez nitki

kauzukowe kurzące się, to widzimy odrazu ogromną przerwę, tych, które starają się zbliżyć płyty ku sobie.

Podobnie, jeżeli w polu jednostajnym jest umieszczona kula

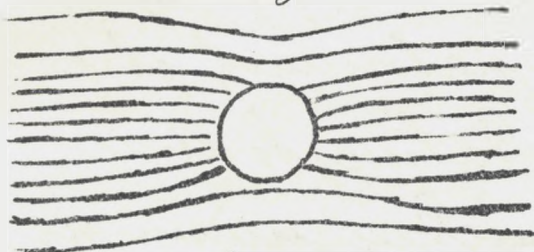


fig. 51.

cząść, lecz siła wypadkowa jest zerem, bo jest tyle ich z jednej strony, co z drugiej.

x materiału prze-
wodzącego (fig. 51), w
płazie napięcia kur-
zącego,

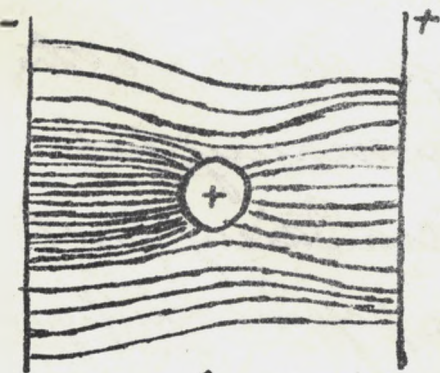


fig. 52.

Gdy kuli nadajemy jakiś ładunek do-
datni, wtedy linie
sił się deformują;
przerwa siła ciągną-
ca ze strony linii

sił ujemnych. Kula doznaje wtedy odpycha-
nia od płyty +. Gdy mamy dwie masy, do-
datnią i ujemną, wtedy siła między nimi

jest bardzo wielka, a aerogatrę poraż. uniejęzra.



fig. 53.

Nitki kauczukowe kur, czas się, zbliżają, te ma, sy do siebie (fig. 53.)

masz maja, Tadrunki dodatnie, to linie

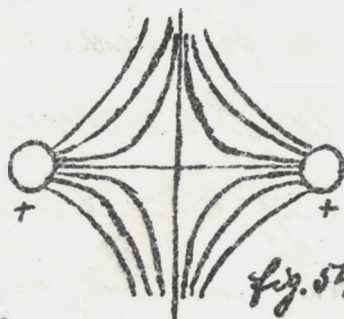


fig. 54.

szeli natomiast obie sił między nimi się zaginają; przeważają napięcia odpychające.

(fig. 54.)

Takie samo porażanie stosuje się do elektro, magnetyczny. Powiedzmy, że mamy pole magnetyczne; a to pole wstępujemy przez prostopadły do płaszczyzny rysunku (fig. 55.),



fig 55

przez który przepływa, my prąd elektryczny. Ten prąd powoduje, że je wstaje linie sił, któ,

ne się superponują ponad istniejące. Gdy na
miejsce linii sił wprowadzamy napięcia,
widzimy, że powstaje siła prostopadła do
kierunku prądu i siły magnetycznej.

Stąd można wyprowadzić jeden ciekawy
wniosek, w razie jeżeli istnieje fala elek-
tromagnetyczna. Wyobraźmy sobie, że
istnieje fala postępująca

$$V = a \sin \frac{2\pi}{\tau} \left(t - \frac{x}{c} \right), \text{ i że } x = z = 0.$$

Widzieliśmy, że taka fala elektryczna wy-
maga współistnienia fali magnetycznej
prostopadłej do kierunku rozchodzenia się
i do fali elektrycznej. Wtedy $L = M = 0$, a
 $N = \frac{a}{c} \sin \frac{2\pi}{\tau} \left(t - \frac{x}{c} \right)$. Równania na V i N przed-
stawiają falę elektromagnetyczną w kie-
runku osi x , prędkościem $c = \frac{1}{\sqrt{\epsilon\mu}}$; jeżeli $\mu = 1$,
to $c = \frac{1}{\sqrt{\epsilon}}$.

Obliczmy siłę elektromagnetyczną, która
na jednostkę czasu przesyła falę

$$X_x = -\frac{k}{8\pi} a^2 \sin^2 \frac{2\pi}{c} \left(l - \frac{x}{c} \right) - \frac{a^2 k}{8\pi} \sin^2 \frac{2\pi}{c} \left(l - \frac{x}{c} \right) = -Y^2 \frac{k}{4\pi}$$

$$Y_y = \frac{k}{8\pi} - \frac{1}{8\pi} N^2 = 0$$

$$Z_z = -\frac{k}{8\pi} Y^2 + \frac{1}{8\pi} N^2 = 0$$

Wszystkie siły stycznosci same znikaja.

Napięcia wewnętrzne steru redukują się do jednego ciśnienia w kierunku osi x.

A zatem: fala elektromagnetyczna w kierunku osi x wywiera ciśnienie w kierunku tej osi. Wielkość jego łatwo się oblicza.

Zmienia się ono periodycznie z czasem, a nas interesuje przeciętna jego wartość:

$$\bar{X}_x = \frac{1}{c} \int X_x dt = -\frac{k}{8\pi} \frac{a^2}{c} \int \sin^2 \frac{2\pi}{c} \left(l - \frac{x}{c} \right)$$

Pomnożymy i podzielimy to przez $\frac{2\pi}{c}$.

$$\begin{aligned} \bar{X}_x &= -\frac{\frac{k}{8\pi} \frac{a^2}{c}}{\frac{2\pi}{c}} \int_{\frac{2\pi}{c} \frac{x}{c}}^{\frac{2\pi}{c} l + 2\pi} \sin^2 \frac{2\pi}{c} \left(l - \frac{x}{c} \right) dt \frac{2\pi}{c} = \frac{-\frac{k}{8\pi} \cdot \frac{a^2}{c}}{\frac{2\pi}{c}} \cdot \pi \\ &= -\frac{ka^2}{8\pi} \end{aligned}$$

Widzimy zatem, że ciśnienie będzie pro,

proporcjonalne do kwadratu amplitudy drga-
nia, czyli do natężenia tego ruchu falowego,
który spada na daną powierzchnię. - Można
łatwo udowodnić, że to samo wyra-
żenie przedstawia ilość energii elektroma-
gnetycznej, zawartej w jednostce objętości.

$$\frac{\kappa}{8\pi} (X^2 + Y^2 + Z^2) + \frac{\mu}{8\pi} (L^2 + M^2 + N^2)$$

W wypadku zwierciadła srebra kwarcu,
jeżeli następuje odbicie fali, więc wtedy
natężenie jest dwa razy tak duże.

Jeżeli to jest ściana przyciemniona absorbująca,
całe promienie, srebra brać w rachubę,
takie promienie odbite. Tak samo wtedy,
gdy światło spada pod kątem uko-
śnym i prostopadłym na szklaną pro-
stopadłą i równoległą.

Wielkości te są bardzo małe. Chodzi
np. o ciśnienie wywierane przez promienie,

nie słoneczne, wpadające prostopadle
na kwierciałto. Energia promieniowania
słonecznego wynosi 2 kal. na cm^2 podczas
jednej minuty, więc w sekundzie $\frac{2}{60}$, a
na 1 cm^2 przypada:

$$\frac{2}{60 \cdot 3 \cdot 10^{10}} \text{ (w kaloryach)}$$
$$= \frac{2 \cdot 4 \cdot 2 \cdot 10^7}{60 \cdot 3 \cdot 10^{10}} \text{ w cgs } \approx \frac{1}{2} \cdot 10^{-4}$$

a w promieniu odbicia od kwierciałta dwa razy
tyle: jest to ciśnienie jednej dyny, czyli
ciężaru jednego mg na m^2 . - Mimo iż
dawalioby się, że tak małe siły nie dają
się zmierzyć, empirycznie, Lebediew, Nichols,
Hull wykonali w ostatnich latach doświad-
czenia, które stwierdziły istnienie ciśnienia
światła i sprawdziły zgodność liczbowa, nadto
Poynting wykazał istnienie składowych
stycznych, a to też w wypadkach, gdzie istnieje
je katamanie.

Wyniki te posiadają, wielkie znaczenie, gdyż cała teoria elektromagnetyczna prądu, ułożona jest wybudowana pod kątem widzenia istnienia siły ciśnienia. Takie w pewnych zjawiskach kosmicznych zdaje się istnieć, nie światła optycznego wywierac. Już Kepler stwierdził, że kształt ogarów komet da się wytłumaczyć przez siłę odpychającą światła, a dokładne obliczenia w tym względzie wykonał Schwarzschild, uwzględniając nie tylko odbicie, ale i zjawisko uginania, które musi nastąpić, jeżeli ciążka jest bardzo mała. Jest przytem pewną okazywa, że siła ta będzie odgrywać tem większą rolę, im mniejsza jest ciążka, a to dlatego, że jest ona proporcjonalna do przekroju ciążki, więc do r^2 , podczas gdy grawitacja jest proporcjonalna do r^3 . Zatem stosunek obu sił jest $\frac{1}{r}$.

Nowe teoryje el. i magn. Ark. XIX.

Póki szczelki są małe przeważa wpływ odpychania światła. Schwarzschild wykazał, że dla szczelki wielkości fal świetlnych jest on 18 razy większy, niż wpływ gravitacji. Temu tłumaczy się zjawisko tworzenia się ogniów komety i ich kontakt.

Co do istoty odkształceń w eterze wygłoszył Maxwell petycję o tezę hipotetyczną. Pierwotnie uważał, że linie siły można sobie wyobrazić jako wir w eterze, albo iem w cieczy wirującej siłą odśrodkową. Dziś to porównanie i porównanie w kierunku poprzecznym i kierunku w podłużnym. Teoretycznie porównanie w porównaniu p. l. „Faradays Kraftlinien”; później odprucio emancypował się od tezy specjalnego odkształcenia i traktował przed sobą, przyjmując, że w polu magnetycznym istnieją jakiegoś rodzaju ukryte eteru. Związana z tem jest teoria ruchów

cyklicznych prądów, tj. takich ruchów, w których pojedynczych poruszających się prądów nie widzimy, a obserwować możemy tylko wypadkowe skutki ruchów tych prądów np. wzajemna indukcya dwóch prądów jest przykładem bicyklu. (Baroniej szeregótowa u Boltzmanowa w wykładach o Maxwellii). Maxwell stał się do wymyślenia teoryi konstrukcji obrazu mechanicznego. Przyjął np. budowę eteru tego rodzaju, że między słowami przeciętnymi krążą kulczki a term, które reprezentują elektrony. Wywołują one ruch ustroju przeciętnych, odgrywając rolę siłom magnetycznym, pod czas, gdy ruch postępowy kulczek przedstawia prąd, lub siłę elektryczną. Chodziło

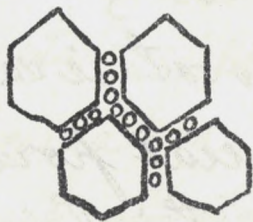


fig. 56.

Chodziło o to, aby ruch postępowy kulczek przedstawiał prąd, lub siłę elektryczną. Chodziło

Maxwellowi opisywać tylko o to, by wykazać, że można siłę pola elektromagnetycznego wytłumaczyć jako efekt ukrytych ruchów i uważać elektromagnetyzm, jako specjalny przypadek mechaniki. Teraz zapadłemu się na przek przekornie; uważamy mechanikę za specjalny wypadek elektromagnetyzmu. Na tem kończymy właściwą teorię Maxwella. —

Teoria elektronowa.

Podstawy doświadczalne.

Teoria Maxwella i Hertza posiada jeden błąd zasadniczy, a mianowicie, że się odnosi tylko do ciał nieruchomych; powstaje ca, tem kwestya, jak ją uogólnić dla ciał poruszających się. W tym celu Hertz czołzył, że eter porusza się wraz z ciałem i na tej podstawie doszedł do równań uogólnionych, które można interpretować, jako wyraz energii

częściowo jeszcze dotychczas nieznanych sił
elektromagnetycznych. Według Lorentza
przeciwie, wyobrażamy sobie, że eter jest
nieruchomy i że materia przez eter się
przesuwa nie prowadząc go w ruch.

Maxwell sam co do tego nie miał wyrobio-
nego zdania. Przyпускаł tylko istnienie
prądów korekcyjnych, t.j., że ruch po-
stępny ciała nabitego jest równowa-
żony w prądem elektrycznym; było to
jednak przybliżenie zupełnie hipote-
tyczne, a pierwszy starał się je sprowadzić
doświadczenie Rowland 1876, używając płyty
metalowej, zawartej między okładkami kon-
densatora, który pracował i obracał w szybki
ruch obrotowy. Płyta była na igłę ma-
gnetyczną, umieszczoną w bliskości osi.
Te pierwsze doświadczenia nie były dościsłe,
tak, że podnosiły się głosy przeciwko

ich wynikuom i skutkiem tego Rowland po,
wstrzymał je i w roku 1889 podał liczbę da,
nie zgodne z teorią. Następnie Cremen
wykonując podobne doświadczenie w r. 1900
otrzymał wyniki negatywne; lecz w roku 1901
Amerykanin Pender potwierdził rezulta,
ty Rowlanda, a Cremen poraz drugi otrzy,
mał wyniki negatywne. Rozstrzygnięcie tego
sporu bardzo ważne dla teorii elektronowej,
która uważa się tylko za teorię konwercyjną,
nastąpiło w ten sposób, że Pender i Cremen
razem przeprowadzili badania i pokaza,
ło się ostatecznie w roku 1903, że przyczy,
na, dla której Cremen otrzymał wynik
negatywny było to, że pokrył płyty konden,
zatora warstwą lakieru, na której, jako iro,
lującej osadziły się prawdopodobnie ujemne
cząstki, oddziaływające w nieznany bliżej
sposób. Odkrycie Rowlanda udało się potwier,

Dr. L. Savie inną metodą. Fizyk Wassilisko-
wicz płytę kolonową (a b) fig. 57, umieszczonej
w puosce między płytami kondensatora (cd).
Płytę tę wprowadził w ruch wirowy, a Tablunki
elektryczne jej pod,

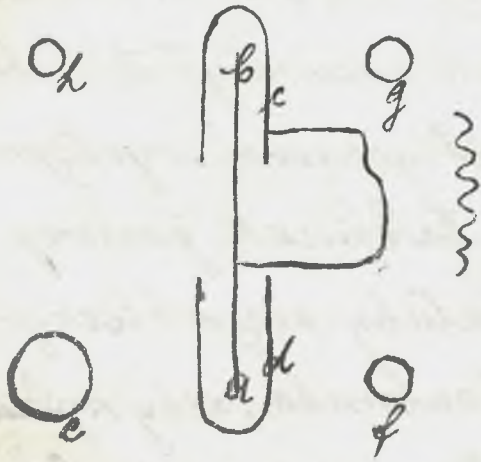


fig. 57.

dawał szybkoim pę,
szybkim prądem
nominacyjnym kucia,
nominalną mocą in-
dukcyjną Rhinckorffa.
Wtedy płyta porusza-
jąca się powinnam ać
ten sam efekt, co

szybko zmieniający prąd który i w awojach ce,
wnętrznych (e, f, g, h) powinnam powstać prądy
indukcyjne. Istotnie prądy takie powstają.
Obecnie uważamy istnienie prądów kon-
wekcyjnych za fakt zupełnie stwierdzony.
Prądy konwekcyjne są powstają, na której
opiera się teoria elektronowa. Istnienia ich

Domaga się tej teoryi dysocjacji elektromagnetycznej, wyobrażamy sobie bowiem, że prądy w elektrolitach polegają na przesunięciu się jonów.

Pomysł elektronów nasunął się poniekąd pierwszy przy elektrolizie, która, jak zauważył Helmholtz, tak się odbywa, jakby elektryczność występowała w postaci atomów jako ładunek jonowy.

Masa Faradych ładunków dałaby się obliczyć. Potrzeba ładunku 96513 Coulomba, żeby wydzielić równownik elektrolizy pierwiastka.

(Równownik elektrolizy jest to iloczyn α ciężaru atomowego przez wartośćowości). Tak np. równownik wodoru jest $\frac{1.01}{1} = 1.01$, równownik miedzi $\frac{64}{2} = 32$ gramów. W jednostkach elektromagnetycznych 9651.3 (emu) odpowiadają 1.01 gramowi H. Objętość grama wodoru wynosi, gdy gęstość $\rho = 0.000089873$, $v = \frac{1.01}{0.000089873} = 10^4 \text{ cm}^3$. Z teoryi kinetycznej gazów wiemy,

ze w 1 cm^3 zawiera się $4 \cdot 10^{19}$ drobin, a że drobiny
na zawiera dwa atomy, będzie 2 razy tyle
atomów, $2 \cdot 4 \cdot 10^4 \cdot 10^{19}$ atomów na jeden gram.

Na jeden atom przypada więc ładunek
$$e = \frac{9651 \cdot 3}{2 \cdot 4 \cdot 10^4 \cdot 10^{19}} (\text{cm}) = \frac{3 \cdot 10^4 \cdot 10^{10}}{8 \cdot 10^4 \cdot 10^{19}} = 4 \cdot 10^{-10} (\text{col})$$
 Wielkość
ta nie jest dokładna, bo liczba drobin
w 1 cm^3 nie jest całkiem dokładna, ale
rzędu jej jest pewny. - Obecnie mamy już
bardziej szereg metod określenia e ładunku
elektronowego, a obliczenia wahają się między
liczby $3 \cdot 10^{-10} - 4 \cdot 69 \cdot 10^{-10}$

Tak się przedstawia teoria z punktu widzenia
teorii elektrolyty. Myśl Helmholtza nie znała
badań umiaru, bo właśnie wtedy Ostwald
i jego zwolennicy zupełnie zarzucili teorię
drobin i atomów. Rzekłbyśmy postawili w innym
świetle dopiero badania nad promieniami,
mi katodowymi.

Nowe teorie el. i magn. Ark. XX.

Badania nad promieniami katodowymi.

Wyobraźmy sobie rurkę Geisslerowską, zaopatrzoną dwiema elektrodami. Niech ona będzie początkowo napięta powietrzem lub innym gazem o ciśnieniu normalnem, które potem wypróżniamy i wywołujemy łukie napięcie, że następuje rozbrojenie, zrazu widać iskry, potem jako pas świetlny.

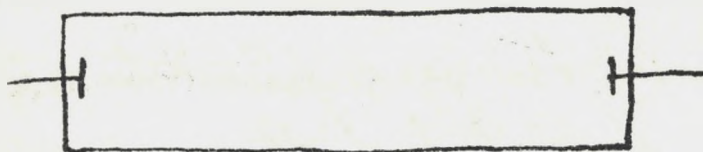


fig. 58.

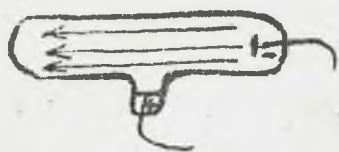
To anody powoduje świecenie dodatnie, rozbrojenie, nastę-

pnie przychodzi łuk. ciemna przesłona Faradaya, w bliskości katody światło niebieskawe ujemne (negatives Glimmlicht), a tuż koło katody ciemna przesłona Crookesa, sama katoda jest pokryta świe-

stem kółtem. Gdy ciśnienie dalej spada, rozszerza się światło negatywne, a pozytywne, wne kłuka, równocześnie kurwiejona się natężenie światła i opór rurki maleje; potem zaczyna kłukować roznać. Z prądem negatywnym światło wypełnia całą rurkę, do datnie kłuka, a tam gdzie ujemne dołki rurki, występuje fluorescencya. Te chwile promienie katodowe siegają przez całą rurkę. W miejscach fluoreskujących powstają promienie Röntgena. Promienie te badał przed wojną Lenard jeszcze przed odkryciem Röntgena, stąd nazywa promieni katodowych Lenarda.

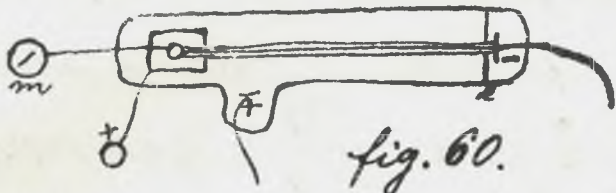
Właściwości promieni katodowych były częściowo znane już Crookesowi; on nazwał je kwarcowym stanem skupienia, ostatnim promieniowym materji. Lecz Crookes nie znalazł ich nazwa. Później

mniewanie podbrzmynowane przez Hertza,
że są to fale podłużne eteru. Ten pogląd
ostał karuzony dopiero, gdy Sir J. Thomson
zaczął badać promienie katodowe i wykazał,
że można nowo zjawiska wytłumaczyć
w sposób zupełnie odpowiedni pod przy-
jęciem, że promienie transportują ładunki
ujemne. Lenard i Hertz stwierdzili, że
promienie katodowe są zupełnie niezale-
żne od prądu, gdyż przechodzą się prosto,
liniowo, prostopadle do powierzchni kato-
dy, a nie od katody ku anodzie. (fig. 59.)



Thomson jednak wypo-
wiada, niewiemanie, że
kropli ujemne są roka-
tem sprężu potencyatu wyrzucane z krę-
żkowścią, że anoda jest za słaba, by je
pracygnąć. Aby rozstrzygnąć pytanie,
czy promienie katodowe transformują ładunki,

ki, czy nie, Perrin przeprowadzał przez ekran
(e) wiązkę promieni katodowych, które padały
na konduktor (K)



na konduktor (K)
otoczony warstwą
izolującą (i) i po-

łączony z elektrometrem (m), wskutek tego
występował na elektrometrze ładunek
ujemny, który stopniowo wzrastał, a za-
tem na konduktor była doprowadzana
elektryczność ujemna. Jeżeli promienie
katodowe przenoszą ładunki elektryczne,
to muszą pozostawić odchylenia w polu
elektromagnetycznym. Przyпускаł to
już Crookes, lecz w tym celu nie potra-
fił wykazać, bo jest on bardzo słaby.
Wykrycie jego udało się dopiero Sir J.
Thomsonowi w ten sposób, że wiązkę
promieni katodowych przeprowadzanych
przez ekran, wprowadzał między płyty

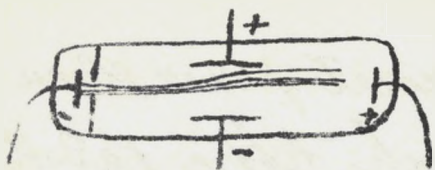


fig. 61.

konduktora, gdzie od,
chylaty się ku płycie do,
łatniej (fig 61). Trudności
doświadczania polega na tem, iż rurka musi
być dokładnie wyproszona, gdyż gaz roz,
przedzony jako przewodnik neutralizuje
pole płyt kondensatora. - Włozmy os' x dx
w kierunku promienia, os' y dy w kierunku
pola.

$$m \frac{d^2 x}{dt^2} = Q, \quad \frac{dx}{dt} = \text{const} = v$$

$$m \frac{d^2 y}{dt^2} = e Y \quad \frac{d^2 y}{dt^2} = \frac{e}{m} Y$$

materie pole

$\frac{dy}{dt} = \frac{e}{m} Y t$ - częśćka krzywizna parabole.

Liczmy czas od chwili, gdy promień x cho,
dzi między płyty kondensatora, stał po,
ruwa się z prędkością $\frac{dx}{dt} = Q v$, $t = \frac{x}{v}$, więc

$$\frac{dy}{dt} = \frac{e}{m} Y \frac{x}{v}$$

$$y = \frac{e}{m} Y \frac{t^2}{2} = \frac{e}{m} Y \frac{x^2}{2 v^2}$$

Wymiary tej paraboli zależą od $\frac{e}{m}$ i v , zatem
chociaż to, czy potrafimy te dwa składowiki od
Dzielnie obliczyć. Według tego, cośmy powiedziano,
li o prądzie konwencyjnym, ruch elektronów
jest równoważny a prądowi elektrycznym, co do
sił elektro-magnetycznych, które wywierają
i którym podlega. Gdy ilość cząstek, wyrzucanych
w czasie jednej sekundy jest n , to natężenie
prądu $i = ne$. Wytwarzamy sobie pole ma-
gnetyczne prostopadłe do promieni! (fig. 61)

i do przekroju widocznego na rysunku, tak
by linie sił padały a przewód na kłóczył się

figury, wtedy siła
działająca w polu
na 1 cm. długości

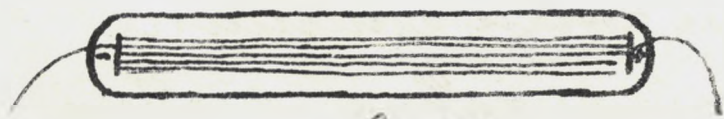


fig. 62.

promienia będzie $F = iH = neH$. By obliczyć
siłę, działającą na 1 elektron, trzeba wiedzieć,
ile elektronów przypada na 1 cm długości.
Liczba elektronów wypływających na sekundę

jest n , będąc one rozłożone na drodze o długości l ;
na 1 cm przypada katem $\frac{n}{l} = N$. A siła, która działa,
ta na 1 elektron jest $\frac{F}{N} = \frac{neH}{\frac{n}{l}} = veH$. O kierunku,
kół wychylenia rozstrzyga reguła Fleminga.

$$\frac{F}{N} = veH = m \frac{d^2y}{dt^2}$$

$$\text{stad} \quad \omega_1 = \frac{d^2y}{dt^2} = \frac{e}{m} v H.$$

Równanie to będzie sprawdzone tylko dopóki
kierunek promieni katodowych jest
pionowy i póki linie siły magnetycznej
są zawsze prostopadłe do elementu drogi
promienia katodowego. Prędkość pro-
mienia katodowego w kierunku swego
porchodzenia się nie zostaje zmieniona,
bo w kierunku stycznym każda składowa
siły nie przypada; każda częśćka dozna
je przyspieszenia tylko w kierunku pro-
stopadłym do drogi, które jest stałe siła
 H , v i m są stałe. Stąd wynika, że promień
katodowy zakreśli drogę kołową. Obliczymy

jego promień krzywizny.

$$m v_1 = e v H = \frac{m v^2}{R} \text{ (siła odśrodkowa)}$$

$$R = \frac{m v}{e H}$$

Jeżeli się rozważy promień katodowy tylko w tej części, gdzie jest prawie równoległy do osi X, to

$$\frac{d^2 y}{dt^2} = \frac{e}{m} v H = \frac{d^2 y}{dx^2} \left(\frac{dx}{dt}\right)^2 = \frac{d^2 y}{dx^2} \cdot v^2$$

$$\frac{d^2 y}{dx^2} = \frac{e}{m} \frac{H}{v} = \frac{1}{R}$$

W polu magnetycznym promień skrzywia się tak, że tworzy łuk koła, podczas gdy w polu elektrostatycznym tworzy parabolę. Ale w pierwszym przybliżeniu łuk odchylenia jest mały, tak, że parabolę można uważać za kołsi odczynu

$$R' = \frac{\left(\frac{dx}{dt}\right)^2}{\frac{d^2 y}{dt^2}} = \frac{v^2}{\frac{d^2 y}{dt^2}} = v^2 \frac{m}{e} \cdot \frac{1}{Y},$$

analogicznie do wyrażenia na R, tylko, że zamiast v, jak dla R, występuje v².
Nowe leżące el. i magn. Ark. XXI.

Lecz istnieje tu zasadnicza różnica, że w polu elektrycznym promień odchyła się w kierunku siły, a w polu magnetycznym prostopadle do kierunku siły.

Wykonując oba doświadczenia z tym samym promieniem ma się sposób do obliczenia v i $\frac{m}{e}$ a osobna: $\frac{R'}{R} = v \frac{H}{V}$.

Prędkość v zależy od stopnia rozrzedzenia gazu i od potencjału, którego używamy. Energia kinetyczna każdego pojedynczego ciała, że elektrony w bliskości katody się znajdujące zostają przez nią odprychane, a zatem od pracy, którą wykonuje katoda, czyli od energii elektrostatycznej. Jeżeli katodowy, że cała energia elektrostatyczna zamienia się w kinetyczną, możemy energię kinetyczną obliczyć.

$$\frac{m v^2}{2} = e V$$

(V - potencjał porobrojenja, Culladungoro,
Sential.)

$$v = \sqrt{\frac{2eV}{m}} \quad \text{a kombinujac z wyrazieniem dla}$$

$$Rv^2 = \frac{2Vv}{H}$$

$$Rv = \frac{2V}{H}$$

Znajac promien krzywizny promienia ka,
srowego i potencjał porobrojenja, mozna
obliczyc przeksć czastek katodowych.

Jeszcze inna metoda spiera się na xasa,
Dzie energii. Promien katodowy spadajac
na powierzchnię szkła rozgrzewa je, gdyż
energia jego amienia się w cieplo. Podczas
jednej sekundy jest wysylanych n czastek,
więc ilość ciepła wyiznanego

$Q = \frac{n m v^2}{2}$, a że prad transportowany przez
te czastki $i = ne$, stąd $\frac{Q}{i} = \frac{m}{e} \cdot \frac{v^2}{2}$. Jest to
więc anowu relacya, gdzie wystepuje v
i $\frac{m}{e}$.

Kombinujac jakiebażi Dwie z Tych ob,

servacyi, mozna otrzymać a osobna $\frac{m}{e}$ i v^2 .

Sir J. Thomson mierzył potencyał rozbrojenia V , oraz odchylenie magnetyczne o promieniu R i znalazł, że liczba $\frac{m}{e}$ jest wielkością stałą, niezależną ani od rodzaju gazu ani od elektrody, ani od wielkości potencyału. Stąd wypłynęła warina myśl teoryi elektronowej: elektrony są cząstkami wspólnymi, z których się składają drobiny wszystkich pierwiastków. Z dalszych pomiarów otrzymał o mniejsze od prędkości światła i proporcjonalnie do V^2 . W dokładniejszy sposób otrzymał Kaufmann $\frac{e}{m} = 1.865 \cdot 10^7$ (e w jednostkach (cm) m - s). W elektrolizie strumiana dla wodoru $\frac{e}{m} = \frac{96513 \text{ Coul}}{19} = 10^4$ - liczbę porównało 2000 razy mniejszą. Wprawdzie jest w obu przypadkach ta sama, ale niezgodność ta według Thomsona pochodzi stąd, że masa m elektronu jest 2000 razy mniejsza niż jeden

atom; hypoteka jego później została stwierdzona bezpośrednimi pomiarami T. D. D. i. c. - Prędkość w kalceju od potencjału rozbrojenia, który anód zawieszony od stopnia rozkroku, Dzenia gazów. Jest to zatem wielkość, co do której a priori nie można powiedzieć, bo kalceju od warunków doświadczania, ale rząd jej można otrzymać

$$v = \sqrt{\frac{2eV}{m}}$$

1 volt = 10^8 jednostek bezwzględ., a z drugiej strony jednostka elektromagnetyczna jest $8 \cdot 10^{10}$ większa, niż elektrowstatyczna, więc przyjmując $V = 10^4$ Voltów

$$v = \sqrt{2 \cdot 1.968 \cdot 10^7 \cdot 3 \cdot 10^3 \cdot 10^8 \text{ Volt} \cdot \frac{1}{3 \cdot 10^3}} =$$

$$= \sqrt{4 \cdot 10^{15} \cdot 10^4} = 6 \cdot 10^9 = \frac{c}{5}$$

Godownicze do badania są promienie β (radyoaktywne), które składają się z ujemnych cząstek, tylko, że nie wytrawia ich

pole elektryczne, ale inne z niernawych po-
wodów, zatem do obliczenia $\frac{e}{m}$ nie można uży-
wać metody, przy której występuje V , ale trzeba
kombinować odchylenie magnetyczne i elektro-
statyczne; przytem ta jeszcze występuje kom-
plikacja, że pojedyncze cząstki posiadają prze-
żkości bardzo różne, wobec czego przy odchyle-
niu w polu elektrycznem lub magnetycznem
promień zostaje rozciągnięty wachlarzowo.

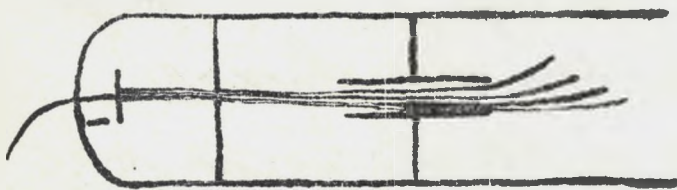


fig. 63.

pole magnetyczne i elektryczne. A ponieważ
gdy oba pola mają ten sam kierunek, siła
odchylająca jest prostopadła, otrzymuje-
my krzywe w płaszczyźnie yz (fig. 63). Do ka-
żdego punktu należy pierwsze odchylenie
elektrostatyczne i magnetyczne. Stałoby się

Każdemu zają-
mując się tymi
promieniami kom-
binował odchylenie

zna obliczyć promień krzywizny i dalej prędkość, która danemu punktowi odpowiada. Pokaza, to się, że $\frac{c}{m}$ nie jest stałe, że im większa jest prędkość, tem mniejsze $\frac{c}{m}$. Pozostaje to w zgodzie z teorią elektronową, przyjmującą, że przy dużej szybkości ruch cząstek nabitowanych.

Szybki ruch cząstek nabitowanych prowadzi, je zjawiska analogiczne do ^{samo}indukcyjności, czyli wytworzenia pewnej bezwładności cząstek, tak, jak gdyby posiadały masę materialną, a im większa prędkość, tem większa musi być pozorną masą, m'. Lecz to "większe" nie się masy m wydatnia się dopiero przy bardzo wielkich prędkościach, zbliżonych do prędkości światła; przy takich zaś, a jakimi miał do czynienia Thomson, jeszcze nie występuje.

Wszystkie pomiary prędkości i w przypadku elektronów pozostają ze sobą w zgodzie,

ale byłoby pożądanem, żeby te krochę dzienne rezultaty stwierdzić bezpośrednio inną drogą. Dlatego jest rzeczą ważną, że prędkość promieni katodowych można mierzyć doświadczeniami, które wymyślił Wiechert i Des Coudres. Zasada tych metod jest analogiczna do wycia kółka zębatego, któremu postęgiwał się Fizeau przy mierzeniu prędkości światła. Nicotety u promieni katodowych nie ma zjawiska regularnego odbicia, ale gdy promień katodowy padnie na jakąś powierzchnię, to we wszystkich kierunkach porusza się od niej nowa promienie katodowe. Nazwamy to rozpraszającym odbiciem (Diffuse Reflexion). Prawdopodobnie nawet nie następuje tu odbicie, ale promienie katodowe wywołują nową promienie katodowe, jak przy fluorescencji. Teoretycznie można umieścić kółka na wspólnej osi, tak, że zębami odpo-

miawa sąb; będzie istniała pełna taka prędkość
 obrotowa, że czas przejścia promienia między
 kotłami będzie taki, jak czas przejścia od kraw
 do osi. Jednak promienie katodowe zostają
 silnie absorbowane, nie można więc wziąć
 dłuższych przekroci, niż utłumień metra.

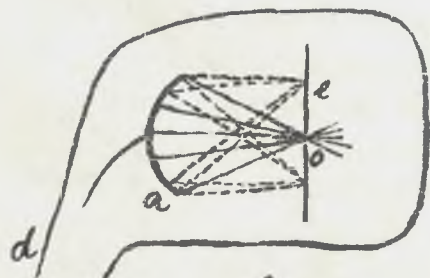
Dlatego wynalczono inne sposoby przekazywania
 promieni, powołując się na zjawiska
 odchylenia w polu elektromagnetycznym.

Wyobraźmy sobie katodę w kształcie zwierciadła
 wklęsłego (a) (fig. 64). Promienie pochodzą
 się, prostopadle do powierzchni, przechodzą

już się więc w jednym
 punkcie o, w którym
 znajduje się ekran
 z małym otworem (e).

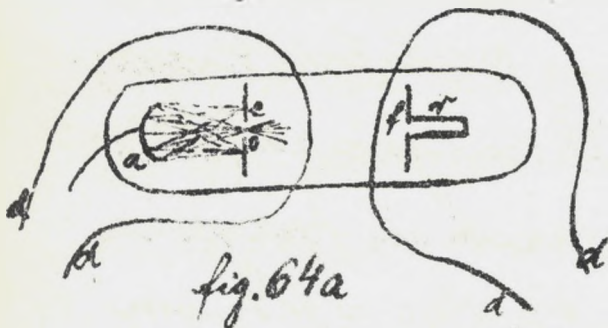
Całość wprowadzamy

w pole magnetyczne, utworzone przez prąd
 pręcienny, prowadząc dookoła drut (d), którym



d fig. 64.

prąd krąży; gdy siła działająca prostopadle do
 płaszczyzny figury, to odchylenie promienia
 katodowego następuje właśnie w tej płaszczyz-
 nie, raz ku górze, raz ku dołowi, zależnie
 od kierunku prądu. Skraw można też łatwo
 umieścić, że promień przejdzie przez otwór
 tylko wtedy, gdy ma maksymalne wychyle-
 nie w jednym kierunku. W dalszym ciągu



tej samej rurki (fig.
 64a) znajduje się dra-
 gi skraw α obrotowej
 za którym w przekroju

teniu mieści się punkt (p) , za którego safaletka,
 oskłona, lub innym ciałem, które pod wpływem
 promieni katodowych fluoreskuje i tą częścią
 otaczamy też przewodnikiem, przez który prze-
 pływa prąd przenienny. Promienie tylko
 wtedy przejdą przez oba otwory, gdy odchylenie
 jest zerowe, czyli gdy różnica faz jest ćwierć

Drgania prądów prądu przemianowego. — W celu osiągnięcia anaczuwej częstotliwości drganiek wóyjt prądów powstałych przy rozładowaniach kondensatora. Przel wy promieni były przytem anaczuwie częstotliwiz by się to dalo wykazać przy pomocy koła zegarowego. Obserwując przechodzenie promieni na podstawie wzbudzonej przez nie fluorescencji można obliczyć prędkość porochożenia się promieni. Znalaziono w ten sposób $v = \frac{c}{8} = 42.000$ km. na sekundę. — Dotąd, dnie jest to ważne tylko dla wóyjtnej rotacji rurki Crookes'a, ale prąd wielkości zarowne jest zgodny.

Przez wniosków dotyczący stosunku $\frac{e}{m}$. Dla masy cząstek poruszających się wynika $\frac{1}{2000}$ at. mowu, w razie, gdy ładunek (elektryczny) elektronu jest identyczny z ładunkiem 1 jonu w elektrolizie. Przyponożenie, że, dzie na razie hipotezą, sprawdził Sir J. Thomson

wykonując bezpośrednio pomiary. Do tego postawiła mi własność pary wodnej, że przy ochłodzeniu powietrza nasyconego parą wodną, powstaje wrażliwość przesycenie, a dopiero przy przekroczeniu pewnej granicy para się koncentruje. Odnosne doświadczenie wygląda się w ten sposób, że ochłodzenie przeprowadza się drogą adiabatyczną, powiększając np. nagle objętość maszyny. Skroplenie się pary wodnej zostaje utwierdzone, jeżeli w powietrzu znajdują się pyłki (sposobem tego wytył Aitken do mierzenia ilości pyłków, których znalazł około 10.000 w 1cm³ powietrza), można jednak powietrze od nich oczyścić, wywołując kondensację cząsteczkową, przez co cząsteczki pary osiadają na pyłkach i opadają wraz z nimi. Gdy tak oczyszczone powietrze nasycimy znów parą wodną i powtórzymy doświadczenie,

to pokazuje się, że potrzeba rozprężenia
adiabatycznego takiego, by $\frac{v}{v_0}$ było większe
od 1.38, żeby wogóle kondensacja nastąpiła.
Jeżeli jednak wewnątrz znajdują się jakieś
jony (jonizację wywołujemy promieniami
kathodowymi, radium) szczególnie jony ujemne,
to wystarcza już umiara objętości $\frac{v}{v_0} > 1.25$, by
na jonach skondensowała się para wodna,
pracykiem najpierw kondensuje się Sylon
na jonach ujemnych, a dopiero przy
 $\frac{v}{v_0} > 1.31$ także na dodatnich. Można to
skonstatować, umieszczając wewnątrz
płytkę kondensatora i ładując ją silnie
ujemnie; wtedy opadają wszystkie jony
dodatnie tak, że powietrze zawiera Sylon
tak jony ujemne. Wystarcza wtedy $\frac{v}{v_0} >$
1.25; gdy się zaś płytkę kondensatora
natakuje dodatnio, przyciągnie on
wszystkie jony ujemne, w powietrzu.

stają, dodatknie; potrzeba wtedy rozprze-
nia w stosunku $\frac{v}{v_0} > 1.31$. Obserwacje te pocho-
dzi, od C. F. R. Wilson'a, a Thomson słuma,
czył je w związku ze zjawiskami włośko-
watości. Na tej podstawie wykonał Thomson
następnie pomiary latunku, e^+ w na,
stępujący sposób: Wypał powietrze na,
suchego wilgocią, w którym wytworzył
nagle przesycenie odpowiadające $1.25 < \frac{v}{v_0} <$
 < 1.31 ; jako każdego jonu ujemnego wy-
tworzyła się jedna kropka; ta mgła
opada pod wpływem ciężkości z prędko-
ścią dającą się obliczyć według prawa
Stokes'a. Kula o promieniu a , porusza-
jąca się w cieczy lub w gazie lepkiem
z jednostajną prędkością u doznaje
oporu $6\pi\eta a u$, oporu proporcjonalnego
do pierwszej potęgi prędkości i średnicy.
Pod wpływem ciężkości kula odbywa ruch

zblizony do ruchu jednostajnego. Opór w ka-
zdej chwili równowazy się z ciężkością.

$$\frac{4}{3}\pi a^3 \rho g = 6\pi \mu a v, \text{ stąd } \mu = \frac{2}{9} \frac{a^2 \rho g}{v}$$

μ współczynnika lepkości powietrza jest
znany, ρ w tym wypadku = 1, g znane,
mierząc więc prędkość, a którą mgła
spada, mamy sposób mierzenia roz-
miarów kulceczek „a”, a znając ich ilość
 n , znamy prąd, który taka mgła trans-
portuje; jest on proporcjonalny do nv .

Z tego prądu i liczby n można liczyć e
obliczyć. Pierwsza ta metoda jest mniej
dokładna. Wykonując pomiar według
drugiej, obserwujemy opadanie mgły
w naczyniu, gdzie są umieszczone
płyty kondensatora (fig. 65). Jeżeli nie



fig. 65.

ma siła elektryczna
to $\mu = \frac{2}{9} \frac{a^2 \rho g}{v}$; jeżeli
przeciwna siła ele,

Ktyczna, to można ją tak dobrać, by równo,
wzięta ciężkość i mgła nie opadała.

$$\frac{4}{3}\pi a^3 \rho g = eV \quad (V \text{ natężenie pola})$$

Mamy 2 równania, z których można wiel-
kość e obliczyć; tym sposobem Thomson
dostał $e = 3.4 \cdot 10^{-10}$ (e.s.), a H. H. Wilson $e = 3.1 \cdot 10^{-10}$ (e.s.),

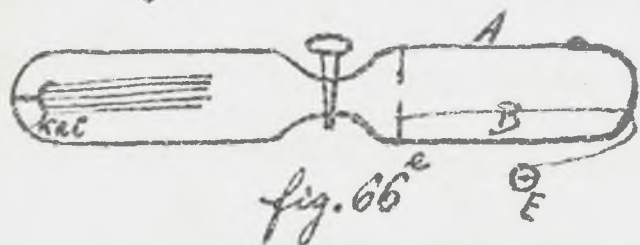
a Amerykanin Millikan $e = 4.06 \cdot 10^{-10}$ (e.s.).

Na tę niezgodność składają się możliwe
błędy doświadczenia, nie jest to à priori
konieczne, żeby każda kropelka zawierała
tylko 1 elektron, a to może zmienić re-
zultat. Ponadto w pierwszej chwili kropel-
ki są mniej więcej równe, ale z czasem
mniejsze kropelki znikają, a większe
rosną, tak, że rachunek, który przy-
muje wszystkie za równe nie jest ścisły;
co do przodu jednak widać, że rezultat odpo-
wiada jednemu jonowi w elektrolizie, otrzy-
malismy tam bowiem $e = 10^{20}$ (e.m.) = $3 \cdot 10^{-10}$ (e.s.). —

Mamy jeszcze inne melo^{dy}, które dają ta,
które wielkości podobnego rzędu. Dotyczą one
właściwie cząstek „ α ” wyrzucanych przez rad.
Przed dwoma laty Rutherford & Geiger wyko-
nali pomiary ładunków, które transportu-
ją, promienie „ α ”. Rutherford przyjmował,
że składają się one z dwóch elektronów, a naszy
brak tam ka^żdemu atomowi dwóch elektro-
nów ujawnił. Meto^{dy} polegała na tem,
że mierono prąd w ten sposób, że na
płyce naprzeciw umieszczonej powstaje ta,
długość dodatni, a drugiej strony probowano
obliczyć liczbę cząstek. Dwie meto^{dy}
bardzo ciekawe. Jedna polega na zja-
wisku scintylacji. Już Crookes spostrzegł,
że na ekranie pokrytym siarcem Kiem, cyn-
k^u i umieszczonym w pobliżu radium
powstaje migotanie, jakby tworzenie się
iskier i przyjmował, że cząstki „ α ” wde,
N. S. et. i magn. Ark. XXIII.

mając o ekran wyrotują, chwilowe światło. Liczby tych iskierek w 1 sekundzie można mierzyć, przepuszczając promienie przez szklaną szparę. Ilość iskierek ma odpowiadać ilości cząstek wyraconych; analogicznie licząc i prąd, ładunek jednej cząstki można było obliczyć. Druga metoda polega na rozjaśnianiu jonizacji przy oderwaniu jonów (durch Joumloss). Aby tak być przewodzącym, musi się z nim znajdować jon dodatni i ujemny, który można utworzyć rozmaitymi sposobami np. promieniami Röntgena, promieniami α , β itd. Jeżeli napięcie elektryczne w rurce geisslerowskiej jest słabe, to przechodzi tylko te jony, które tam utworzono, ale jeżeli napięcie elektryczne jest bardzo silne, to jony nabywają takiej prędkości, że same rozbijają drobiny gazu nowo na części dodatnie i ujemne, tworząc nowe

jony, wobec czego prąd natęża się silnie
wzrasta. Zjawiska tego, występującego przy Leo,
przebiegu się, iskry wzięt Rutherford w sposób
następujący: Zbudował dwa naczynia w kształcie
nie rurki, kurkiem od siebie odzielone (fig. 66)



W jednym z nich
znajdujący się
kat jonizował

cząstki gazów; przez rurki, obrot kurka jo-
ny w bardzo małej ilości, np. pojedynczo Lyl,
nie mogły przechodzić do drugiego naczynia.
Tam zaś umieszczony był drut (B), połączony
z elektrometrem (E) który połączony był z przy-
rządkiem ładującym go do stopniowo wzrasta-
jących potencjałów. Między drutem, a zewnę-
trzną metalową okładką rury (A) wytwor-
wał różnicę potencjału taką wielką, że w tej
chwili, gdy jakiś jon dostał się do środka,
nastąpiło nagłe porobienie elektrometru.

Wskulek tego wychylecia elektrometru α ,
kazy, Davaty kraxya,

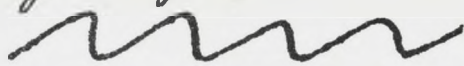


fig. 67.

Powiedamy, ze na minucie, przypadly 4 x 10¹⁰,
sty, to lo oznacza, ze 4 jony doszaly sie, do sro-
dka. Z przekrojo'a mozna bylo obliczyt', ile
jonow wyslat' kazdy cm² na sekunde.

Obisma melowanii otrzymano liczbę x-go,
Dne. 1 gr Ra C wysyła $N = 3.4.10^{10} \alpha$. Z observa-
cji prądu obliczono, ze ładunek Q kazdy x-go,
skry wynosi $E = 9.3.10^{-10}$, poniewaz najmniej,
saz, liczbę elektryczności jest elektron, mo-
ze, to byt' tylko wielokrotności elektronu.
Z innych skoliczności Rutherforda
kwał, ze na 1 cząstkę α przypadaja 2 elek-
trony, kryli, ze $e = 4.65.10^{-10}$, wolowic imuz
melowaz (ze xjawisk promieniorwania) Plank
xualaxi $e = 4.67.10^{-10}$, a Zeemann mniej nizaj

To samo. -

Promienie katodowe pierwszy badał Crookes.
Wiatraczek Crookesa. Jeżeli na skrzydełka
umieszczone na ruchomej osi puszcimy
promień katodowy, następuje ruch obroto-
wy. (Fig. 68)

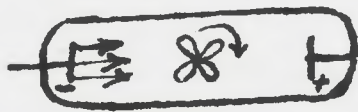


Fig. 68.

Crookes sądził, że wyrzucane, całe i ma-
łymi, uderzając o skrzydełka, poruszają je,
ale interpretacja ta jest fałszywa. Jeżeli
li bowiem osłuchnie patrzymanym wia-
trak, póki prąd przechodzi, i następnie
pozwolimy mu się obrócić, to on się po-
rusza pomimo, że prądu nie ma. Powo-
dem ruchu są, po pierwsze ładunki elek-
tryczne, które powstają na wiatraczkach, a
2) ogrzanie i powolaty ruchy tego prądu
powietrza. Według teorii promień katodowy po-

winnem wywierać ciśnienie na miejsca,
na które wpada, ale to ciśnienie jest bardzo
małe, można je znaleźć rachunkiem.

Niech przez rurkę przechodzi prąd
 $i = 0.01 \text{ Amp} = 10^{-3} \text{ (c.s.)}$; oznacza on ilość
elektryczności przeniesionej na sekundę,
dł. Oporowiada temu masa wynikająca
z porównania $\frac{m}{m} = 1.86 \cdot 10^7$

$$m \neq R \frac{1}{2 \cdot 10^7} = \frac{1}{2} \cdot 10^{-10}$$

Taka masa doświadczalnie wogóle nie
da się spocząć, ale wyrzucana, jest
ona z prędkością prędk. 10^9 m/sec , to
oznacza, że ilość ruciu podexas jednej
sekundy wpadająca na powierzchnię,
która jest miarą ciśnienia jest
 $m u = \frac{1}{2} \cdot 10^{-10} = \frac{1}{20} \text{ dyny}$; to ciśnienie jest tak
małe w porównaniu z innymi, które ma-
my w rurce, że dotychczas bez pośrednio
nie udało go skonstruować. —

Wiemy, że prędkość promieni katodowych
jest liniowa, potencjału nabrojenia, za-
tem należy zapytać, jaki jest rozkład po-
tencjału w rurce geisslerowskiej. Żeby prąd
wogóle przechodził, musi różnica potencjału,
tzw. przekroczyc' pewną, graniczną wartość,
która zależy głównie od rodzaju gazu i od
rodzaju katody. Okazuje się, że potencjał
nie spada liniowo, ale że główny spadek
potencjału znajduje się w bliskości sa-
mej katody, potem pozostają prawie stałe
w większej przekroczeni Farad...
nie w jasnej części...
kwasniejszą, dopóki niebieskie światło nie
pokryło języczka katodowego. Spadek potencjału
potencjału pomiędzy katodą, a rurką, prze-
biega, Faradaya (Kathodenfall) jest wiel-
kością stałą, określona, np. dla

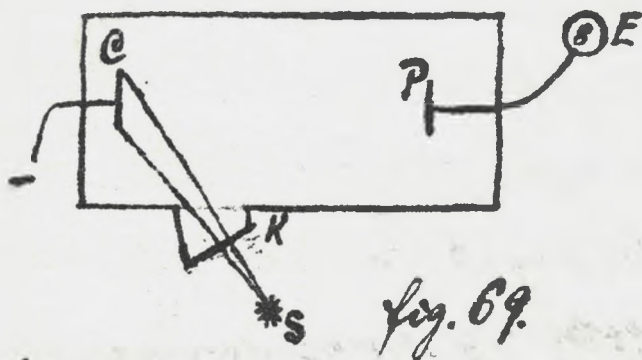
Pl	w H_2	- 298 Volt
	N_2	- 232 "
	O_2	- 369 "
para	H_2O	- 469 "
	NH_3	- 382 "

W obrębie przestrzeni, gdzie występuje zwa-
żona różnica potencjałów, elektrony stry,
mają swoją wielką, chybić. Jest jednak
praca, bardzo niekawa, że przy więksim
pewnych metali można też chybić bardzo
umniejszyć. Jeżeli się mianowicie pokryje
katodę, słankami CaO , BaO , SrO , to spad po-
tencjału umniejsza się nadzwyczajnie, bo aż
do 5 Voltów. Pokrycie katody utatwia wytworze-
nie się promieni katodowych. Z tego korzysta
się w praktyce. Naturalnie, że te promienie
katodowe, wytworzone w różnych warunkach
posiadają różne prędkości. Największych ró-
żnic potencjału potrzeba wtedy, gdy cała rur,

ka jest już wyjątkowa niebieskim światłem.
W miarę, jak wypróbowujemy rurkę, potrzeba
również coraz większych różnic potencjałów.
Różnice te są, odpowiednio szybko, w razie
różnic $v = \sqrt{\frac{2e}{m}} V \approx 6 \cdot 10^7 \sqrt{\text{Volty}}.$ Tu mamy je,
Ten sposób, aby wytworzyć promienie katodowe
długości w przedkościach. Tak można
dość do $\frac{2}{3}$ prędkości światła przy 100000 V.
(Ta różnica potencjałów daje iskry na odległość
około 1 m). Szybszych promieni, metoda
nie można strzymać. Mamy poza tym pro-
mienie β , które są, oczywiście, wolne; dochodzą
do, blisko do prędkości światła. Prócz tych
promieni katodowych, mamy inne jeszcze
ich rodzaje, do których należą promienie,
wywołujące zjawisko kamazone pierwowym
pracy Hertza 1887, a także potem pracy
Hallwacha, Righi'ego i Lenarda.

Nowe teorie el. i magn. str. XXIV.

Jest to zjawisko fotoelektryczne. Pokazuje się, że w pobliżu powierzchni, na którą padają promienie porafioletkowe powstaje prąd elektryczny przewodząca, płyty w tej przestrzeni umieszczona zatraca ją. Ładunek, czasem powstaje, nowe ładunki i.t.d. Lenard udowodnił, że zjawiska te pochodzą stąd, że się w tym miejscu wytwarzają promienie katodowe. Wykazać to można w następujący sposób: na płytę metalową (fig. 69), umieszczoną w naczyniu naczyniu



światło porafioletkowe np. za pomocą lampki rtęciowej. Przechodzi promienie ^{porafioletkowe} przez

szkła, tarczy mającej otwór z kwarcem K. Na przeciwko umieszczamy elektrodę, połączone z elektrometrem. Pokażkowo wywołano

było połączone z ziemią. W chwili, gdy napię-
szenie światła, elektrometr ładuje się
ujemnie. Jeżeli się umieściła magnes z bie-
główną przed i poza płaszczyzną, rysunków,
to promienie się odchylają, tak, że elektro-
metr nie wychyla się. Z pomiarów pole ma-
gnetyczne można oznaczyć promień krzy-
wizny, a wtedy mamy dane do mierzenia
z wedlug metody pierwszej lub metoda, wychy-
leń elektrostatycznych, przeprowadzając pro-
mień między płytami kondensatora, albo
można poprostu do 2 płyty C i P uwarzać za
kondensator, dać jednej ładunek dodatni,
drugiej ujemny. Jeżeli ładunek jest dość
silny, może powstrzymać elektrony, które
wprawdzie kołają, wyrzucane, ale nie mo-
gą, dojść do drugiej płyty i nie mogą, ta-
dować elektrometru; jeżeli najbliższy
potencjał, przy którym elektrometr nie

obrazymyje ta dnu, moiemy obliczye $\frac{e}{m}$
wobtu wzoru $v = \sqrt{\frac{2e}{m} V}$; potencyał V , który
jest potrzebnuy do zniszczenia ruchu wy-
si mniej więcej 8 voltów, to znaczy, że przy
skosie v są stosunkowo małe. $v = 2 \cdot 10^8$ jest
prędkość prędkości elektronów przy zjawi-
sniu fotoelektrycznem. Zależy to zjawisko
od materyału i od rodzaju światła wiy-
lego. Silnie działają cynek, magnez, sód,
potas, cesyrium, rubidyum, równocześnie
te metale są czułe nawet na światło czerw-
nosc. Wykonalili to Elster & Geidel. Przy tem
występują, pewne, nie zupełnie jasno wy-
sternaczone zjawiska, zniekształcenia? Podo-
bnie, jak te metale, działają też inne
ciała, w szczególności ciecz silnie ciemnonie,
jak fukocyna, anilina itd., ale ich dział-
anie jest słabsze. Trzeci sposób polega na
promieniach wtórnych (Secundär Strahlen).

Wnętrze, gdzie promienie katodowe spada,
ją, wywołują promienie Röntgena oraz
św. wtórne, które powstają się od spadają,
cych temu, że zwykle posiadają mniejszą
prędkość. Rezultatem powyższych na temu
pole nie wiele. Czwarty sposób: promienie
wysyłane przez rozżarzone metale. Pro-
mienie katodowe same przez się nie są
widoczne, ale tylko wtedy, kiedy zostaną
absorbowane, a to dzięki temu, że w ośrodkach
absorbujących wytwarzają zwykle
ajawiska świetlne. Tak działają też niektóre
metale; wysyłają bardzo silnie promienie
katodowe. Co do metali, badał to Richardson
LaRue z punktu widzenia kinetycznego;
wyobraził sobie, że metale są dysocjowa-
wane na elektrony, które nie wylatują
na zewnątrz, bo neutralne drobiny meta-
li na to nie pozwalają, gdyż powstaje

sila elektrostatyczna, która przeciwdziała
oddaleniu się elektronów wolnych. Ele,
który mogą wyjść tylko wtedy, gdy prze-
dkości ich jest większą, a powierzchny
prędkość, podwyższając temperaturę.
Wobec tego rozżarzone metale wysyłają pro-
mienie katodowe i szybkość tych promie-
ni jest według Thomsona, który je badał
przed 10⁷. Tak samo Ca, Ba i t.d. wysyła-
ją promienie, gdy są rozżarzone. Badał
to Kennel i znalazł $\frac{e}{m} = 1.4 \cdot 10^7$, a $1.6 \cdot 10^8 <$
 $< v < 10.7 \cdot 10^8$. Jest rzeczą bardzo prawdopodob-
ną, że te promienie występują jeszcze
o wiele częściej; że powstają w płomieniu, da-
lej w różnych zjawiskach chemicznych, ale
że natężenie ich jest bardzo małe. Płomie-
nie przewodzi elektryczność w jednym
kierunku łatwiej jak w drugim, przez
umieszczenie w nich soli zostaje przewo-

Quicquid barbro powiękzone. To korystko
klimacku się na podstawie promieni ka,
kadowych. —

Różne podaje promieni kadowych
różnią się między sobą, prędkością i ab,
sorbcją, promienie powolne zostają
bardzo silnie absorbowane, podczas gdy
promienie β przechodzą przez grube
blachy bez przeszkody. Lenard wykonał
bardzo piękne doświadczenie, ba gęstość ab,
sorbcję w gazach, w papierze, i o kabe...
Wykazał, że istnieje ścisła proporcjonalność
do gęstości ciała, tak, że w ośrodku o różnej
różnej gęstości, jak również i stoto stosunek
współczynnika absorbcji do gęstości $\frac{\alpha}{\rho} =$
const.

Kp. dla H_2 pod ciśnieniem 3.3 mm. $\rho = 0.000000368$

$$\frac{\alpha}{\rho} = 4.040 -$$

$$\text{Au } \rho = 19.3 \quad \frac{\alpha}{\rho} = 2880.$$

Zdaje się, że absorpcja zależy tylko od ilości masy, a nie od podziału drobin. To tłumaczy się tylko promieni szybkich; powolne inna, przejdzie zachowują.

Z faktu, że szybkie promienie katodowe przechodzą przez blaszki metalowe można wyprawać pewne wnioski, co do rozmiarów elektronów.

Wyobraźmy sobie prąd elektronów wzdłuż osi x osi z taki, że przez przekrój 1 cm^2 przechodzi n sekundę n elektro-
nów o ładunku e , więc $i = ne$. Taki prąd wybudza pole magnetyczne według prawa Biot & Savarta. Siła wywierana przez

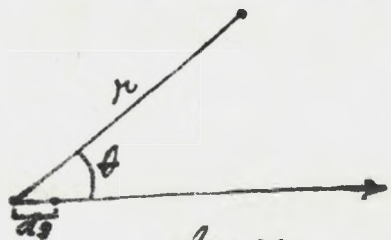


fig. 70

element ds w odległości r jest $H = \frac{i ds \sin \theta}{r^2}$.

Elektrony poruszają się z prędkością u , narzuca

my odstęp drwa elektronów przez $ds = \frac{u}{n}$.

Podstawiając otrzymanyśmy siłę wypierającą
przez 1 elektron poruszający się z prędkością
 u na punkt w odstępach

$$H = \frac{e u \sin \theta}{r^2} = \frac{e u \sin \theta}{r^2}.$$

Linie siły magnetycznej będą katem ko-
łami współśrodkowymi. Dla $\theta = 0$, siła = 0.

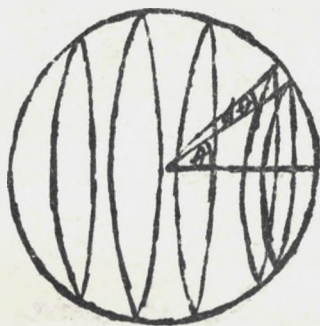


Fig. 71.

W kierunku ruchu ele-
ktronu siła siły nie
wypiera. Linie sił re-
prezentują powierzchnię
pas energii pola, któ-
ry można obliczyć na

zasadzie równania Maxwella $W = \frac{1}{8\pi} \int H^2 d\omega$.

Wyrzamy układ kulisty; umieszczamy
 θ o $d\theta$ i r o dr , przez co otrzymujemy obszar
elementarny.

$$W = \frac{1}{8\pi} \int \frac{e^2 u^2 \sin^2 \theta}{r^2} 2\pi r \sin \theta r d\theta dr -$$

$$= \frac{e^2 u^2}{4} \int \frac{\sin^3 \theta d\theta dr}{r^2}$$

z zmienia się od a do ∞ , gdyż przyjmujemy, że elektron jest kulką o promieniu a .

Wobec tego
$$W = \frac{e^2 u^2}{4} \int_a^\infty \frac{dr}{r^2} \int_0^\pi \sin^3 \theta d\theta$$

$$\int_a^\infty \frac{dr}{r^2} = -\frac{1}{r} \Big|_a^\infty = \frac{1}{a}; \quad \int \sin^3 \theta d\theta = \int \sin \theta (1 - \cos^2 \theta) d\theta =$$

$$= \int \sin \theta d\theta + \int \cos^2 \theta d \cos \theta = -\cos \theta \Big|_0^\pi + \frac{\cos^3 \theta}{3} \Big|_0^\pi = 2 - \frac{2}{3} = \frac{4}{3}$$

A zatem

$$W = \frac{e^2 u^2}{4} \cdot \frac{1}{a} \cdot \frac{4}{3} = \frac{e^2 u^2}{3a}$$

To jest energia jednego elektronu porusza, jącego się z prędkością u . Będzie to rodzaj energii potencjalnej proporcjonalnej do kwadratu prędkości. Jeżeli elektron jest kulą materialną nabitą, porusza, jącego się z prędkością u , to posiada prócz energii kinetycznej materialnej jeszcze energię elektromagnetyczną. Jest to wielkość bardzo mała, bo e jest dane u jedno.

strach elektromagnetycznych.

Widać stąd, że można wytlumaczyć pewną część kinetyczną na podstawie elektromagnetycznej. Nawet gdyby ciało żadnej masy nie posiadało, a miało tylko ładunek, to zachowuje się tak, jak gdyby miało masę $m = \frac{2e^2}{3a}$. Można więc masę mieć, ryjąc wstępnie przez ładunek elektryczny. Spróbujmy to zrobić z elektronami:

Obliczmy stosunek $\frac{e}{m} = 2 \cdot 10^7$ (e.m)

$$e = 3 \cdot 4 \cdot 10^{-20} \text{ (e.st.)} = 10^{-20} \text{ (e.m)}$$

$$a = \frac{2}{3} \frac{e}{m} \cdot e = \frac{2}{3} \cdot 2 \cdot 10^7 \cdot 10^{-20} = \frac{4}{3} 10^{-13} \text{ cm.}$$

$\frac{4}{3} 10^{-13}$ cm byłaby wielkość promienia, elektrycznego. Jest on 10^5 razy mniejszy niż promień atomu. Rozumujemy wskutek tego, że to, co nazywamy atomem, jest tylko strukturą, rzę bardzo przekroczoną; tak np. atom H_2 zawiera 1000 elektronów, atom jest więc

rzadką, chmurą elektronów. Jest serax rce,
na, proumiata, Blacrego atomu są tak
praxirocypce dla prouiceni p. To, że prouie,
nie katodowe zostają silnie absorbowane,
musi polegać na tem, że istnieją sily atrak,
cyjne między nimi a elektronami.

Ten rachunek daje nam pogląd na
rozmiary elektronów i na elektromagne,
tyczne wytkumaczenie masy mechani,
cznej. Występuje tu jednak jedna kwestya:
czy prawo Biota & Savarta, które służy za
punkt wyjścia tych rozumowań pozosta-
je ważne dla elektronów, poruszających się
z prędkością prędkości światła; z tej teoryi,
która, ku naszemu nie można na to dać odpo,
wiedzi; trzeba rozwinąć systematyczną te,
oryę elektronową, która ma nastąpić teo,
ryę Maxwella.

Teoria elektronowa.

Teoria ta, która jest wydoskonaleniem teo-
ryi Maxwella, rozwinął H. A. Lorentz. Maxwell
uważał zarówno izolatory jak i metale za
środki jednorodne o pewnej przewodności
 κ , a Lorentz przyjmuje, że nie są jednorodne,
ale składają się z elektronów. Wobec tego ma-
ją równania odnoszące się do całości struktury
należy nastąpić przez równania ściślejsze, które
się odnoszą do pojedynczych elementów, a pa-
czaj do przestrzeni między elementami.
Należy nastąpić dielektryk przez skupienie
elektronów. Przestrzeń zajeta przez elektro-
ny jest bardzo mała, najwęższa jest
przestrzeń między nimi, czyli to, co nazy-
wamy eterem i do niego można stosować
równania Maxwella

$$\operatorname{div} \mathcal{E} = \operatorname{rot} \mathcal{F}$$

$$\frac{\partial \mathcal{F}}{\partial t} = -\operatorname{rot} \mathcal{E}$$

Według tej teorii nie mamy żadnego
prądu przewodzenia, pozostałe są to
prąd przesunięcia i prąd korekcyjny;
mamy $\mathcal{J} = \frac{K}{4\pi} \frac{\partial \mathcal{E}}{\partial t} + g \mathcal{H}$; a $K \mathcal{E}$ jest to, co na-
zywamy polaryzacją, \mathcal{D} ; w sterze $K=1$,
więc $\mathcal{D} = \mathcal{P}$. A zatem otrzymujemy 100
równanie zasadnicze teorii elektronów,
w jej 10 formie

$$I) \frac{\partial \mathcal{D}}{\partial t} + 4\pi g \mathcal{H} = c \operatorname{rot} \mathcal{J}, \text{ drugie pozostaje}$$

bez zmiany

$$II) \frac{\partial \mathcal{E}}{\partial t} = -c \operatorname{rot} \mathcal{D}.$$

Treść równanie odnosi się do siły powo-
domotorycznej, której doznaje ładunek
elektryczny w polu elektromagnetycz-
nym. Oprócz siły elektrostatycznej \mathcal{D}
doznaje on w wypadku ruchu jeszcze
działania sił elektromagnetycznych,
a mianowicie elektron poruszający się
z prędkością \mathcal{H} w polu \mathcal{H} doznaje siły

i $H \sin(\int ds) ds = ne H \sin(\int ds) ds = e H u \sin(\int ds)$;
wobec tego, że ds kierunek elementu prądu
jest równocześnie elementem ruchu, strzy,
mujemy ostatecznie jako siłę elektromagnetyczną
wywieraną w polu na 1 elektron
 $e H u \sin(\vec{n} \int) = e [\vec{n} \int]$ (em). A na jednostkę
masy przypada $\frac{1}{c} [\vec{n} \int]$ (est). Skąd, zatem,
ta siła podpromotoryczna

$$\text{III } \vec{F} = \vec{v} + \frac{1}{c} [\vec{n} \int].$$

To krótkie równanie Lorentza jest po
części empiryczne, po części hypotetyczne,
empiryczne o tyle, że oba te składniki są
znane, pierwszy dla ciała w spoczynku, a dru-
gi dla ciała w ruchu, hypotetyczną zaś jest
sumacja tych składników.

Łatwość zrozumienia latr, jak \vec{n} Max,
wella $\text{div } \vec{v} = \rho$; ponieważ niema prae,
przystych mas magnetycznych, więc
 $\text{div } \vec{f} = 0$.

Zastosowania teorii elektronowej.

1) Rozpatrywanie pola elektromagnetycznego, które powstaje naokoło ładunku elektrycznego, poruszającego się z jednostajną prędkością. —

Robimy założenie, że mamy jakies pole elektromagnetyczne, poruszające się z jednostajną prędkością w danym kierunku. Równania, które się odnoszą do punktu w przestrzeni stałe, go przyjmują, teraz periem kontakt specjalny. Można się powołać na pierwsze równanie hydrodynamiki. Gdy punkt porusza się wprzód z prędkością, to przypicie, którego doznaje, składa się ze zmiany masowej w punkcie danym w przestrzeni i ze zmiany miejscowej w kierunku przemieszczania się

$$\frac{Du}{Dt} = \frac{\partial u}{\partial t} + u \frac{\partial u}{\partial x} + v \frac{\partial u}{\partial y} + w \frac{\partial u}{\partial z}$$

To jest ogólnie ważne; jeżeli mamy jakąś wielkość fizyczną $F(x, y, z, t)$ to możemy zmianę ogólną wyrazić przez zmianę czasową i miejscową

$$\frac{DF}{Dt} = \frac{\partial F}{\partial t} + \frac{\partial F}{\partial x} \frac{dx}{dt} + \frac{\partial F}{\partial y} \frac{dy}{dt} + \frac{\partial F}{\partial z} \frac{dz}{dt}$$

Jeżeli teraz rozpatrujemy elektron poruszający się, widzimy, że punkt, który się z nim porusza w tym samym kierunku i z tą samą prędkością nie zmienia pozycji względem danego elektronu, nie wymaga więc za niego zmian pola elektromagnetycznego.

Dla niego $\frac{DF}{Dt} = 0$, stąd

$$\frac{\partial F}{\partial t} = -\left(u \frac{\partial F}{\partial x} + v \frac{\partial F}{\partial y} + w \frac{\partial F}{\partial z}\right)$$

Ta cząstkowa pochodna oznacza zmianę czasową pola elektromagnetycznego w tym danym punkcie przestrzeni. Podstawiamy to do naszych równań. Pierwsze będzie

$$1) -\left(u \frac{\partial F}{\partial x} + v \frac{\partial F}{\partial y} + w \frac{\partial F}{\partial z}\right) + 4\pi q u = c \operatorname{rot} f.$$

Przy tej sposobności przypomniemy się o skrótach, które teoretycznie i magn. Ark. XXVI.

jącym symbolem wektorowym. W symbolice wektorowej pisze się pierwsze wyrażenie

$(\vec{u} \nabla) \mathcal{V}$, gdzie

$$(\vec{u} \nabla) = u \frac{\partial}{\partial x} + v \frac{\partial}{\partial y} + w \frac{\partial}{\partial z}, \text{ a}$$

$$(\vec{u} \nabla) \mathcal{V} = \vec{u} \operatorname{div} \mathcal{V} - \operatorname{rot} [\vec{u} \mathcal{V}]$$

Sprawdzić to można przez rozkładanie na składowe, weźmy tę w kierunku osi x.

$$\mathcal{V} = i \mathcal{V}_1 + j \mathcal{V}_2 + k \mathcal{V}_3 = i X + j Y + k Z$$

$$\left[u \frac{\partial X}{\partial x} + v \frac{\partial X}{\partial y} + w \frac{\partial X}{\partial z} \right] = u \left(\frac{\partial X}{\partial x} + \frac{\partial Y}{\partial y} + \frac{\partial Z}{\partial z} \right) - \frac{\partial}{\partial y} (u Y - v X) + \frac{\partial}{\partial z} (w X - u Z)$$

Składowe prędkości u, v, w są stałe; tylko sity X, Y, Z są zmiennne, będzie więc identycznie

$$\left(u \frac{\partial X}{\partial x} + v \frac{\partial X}{\partial y} + w \frac{\partial X}{\partial z} \right) = u \frac{\partial X}{\partial x} + u \frac{\partial Y}{\partial y} + u \frac{\partial Z}{\partial z} - u \frac{\partial X}{\partial y} + v \frac{\partial X}{\partial y} + w \frac{\partial X}{\partial z} - u \frac{\partial Z}{\partial x}$$

odpowiednio będzie dla y i z .

Uwzględniwszy więc relację

$$(\vec{u} \nabla) \mathcal{V} = \vec{u} \operatorname{div} \mathcal{V} - \operatorname{rot} [\vec{u} \mathcal{V}]$$

Z tego teraz skorzystamy i podstawimy to do równania α). Według definicji $4\pi \rho = \operatorname{div} \mathcal{V}$; zostaje

więc $\text{rot}[\vec{n} \mathcal{D}] = c \text{ rot } \mathcal{F}$; z tego wnioskujemy, że

$$\mathcal{F} = \frac{1}{c} [\vec{n} \mathcal{D}] + N \quad \beta)$$

N może być stałą całkowitą pochodzącą od jakiegoś potencjału $N = \nabla V$; w takim razie $\text{rot } N = \text{rot } \nabla V = 0$. Później pokazuje się, że $N = 0$.

To wynika z pierwszego równania Maxwella. —

Gdy podobnie podstawienie zrobimy w drugim równaniu otrzymamy $\text{div } \mathcal{F} = (u \frac{\partial \mathcal{F}}{\partial x} + v \frac{\partial \mathcal{F}}{\partial y} + w \frac{\partial \mathcal{F}}{\partial z}) =$

$$= -\vec{n} \text{ div } \mathcal{F} + \text{rot}[\vec{n} \mathcal{F}] = -c \text{ rot } \mathcal{D}; \text{ zatem mamy}$$

$$\mathcal{D} = -[\frac{\vec{n} \mathcal{F}}{c}] + n', \text{ przy czym } n' \text{ pochodzi z potencjału.}$$

Widzimy, że to, co nazywamy n' jest właściwie „ F ” siła elektryczna. Stąd wynika,

że F pochodzi od potencjału skalarnego jest więc funkcją potencjału. $F = -\nabla U = \mathcal{D} + \frac{1}{c} [\vec{n} \mathcal{F}] \quad \gamma)$

Podstawiając w $\gamma)$ wyrażenie $\beta)$ mamy równanie

$$F = -\nabla U = \mathcal{D} + \frac{1}{c^2} [\vec{n} [\vec{n} \mathcal{D}]] \quad \delta)$$

którem będziemy dalej operować; zawiera ono wyłącznie wielkości elektryczne.

Zamiast operować tym ogólnym równaniem

obieramy dla uproszczenia układ współrzędnych taki, by kierunek ruchu spadał w os' x. Wtedy $\vec{v} = u i$ i powyższe wyrażenie się up'ści. -

$$[\vec{v} \nabla] = u [i(iX + jY + kZ)] = u(kY - jZ)$$

$$[\vec{v} [\vec{v} \nabla]] = u^2 [i(kY - jZ)] = u^2 (-jY - kZ)$$

wobec tego wyrażenie na F przyjmie kształt

$$\epsilon) F = -\nabla U = \nabla - \frac{u^2}{c^2} (jY + kZ)$$

Składowe równania $\epsilon)$

$$-\frac{\partial U}{\partial x} = X$$

$$-\frac{\partial U}{\partial y} = Y - \frac{u^2}{c^2} Y = (1 - \frac{u^2}{c^2}) Y$$

$$-\frac{\partial U}{\partial z} = Z - \frac{u^2}{c^2} Z = (1 - \frac{u^2}{c^2}) Z$$

przypominają równania w elektrostatyce. X, Y, Z

daje się wyrazić przez pochodne potencjału, ale istnieje asymetria. Można teraz znów

skorzystać z równania, że w całym sterze

$\text{div } \vec{v} = 0$, to znaczy, że $\frac{\partial X}{\partial x} + \frac{\partial Y}{\partial y} + \frac{\partial Z}{\partial z} = 0$. Najwijmy

dla skrócenia $1 - \frac{u^2}{c^2} = s^2$. Wtedy różniczkując równania

$$X = -\frac{\partial U}{\partial x}$$

$$Y = -\frac{1}{s^2} \frac{\partial U}{\partial y}$$

$$Z = -\frac{1}{s^2} \frac{\partial U}{\partial z}$$

kolijno względem x y z i dodając, otrzymuje się

$$\eta) \quad \frac{\partial^2 U}{\partial x^2} + \frac{1}{s^2} \frac{\partial^2 U}{\partial y^2} + \frac{1}{s^2} \frac{\partial^2 U}{\partial z^2} = Q$$

To jest zasadnicze równanie, a któremu bę, dzienny mieli do wykonania; określa ono s. zw. potencjał konwekcyjny (Convection, potential). Można je przekształcić

$$s^2 \frac{\partial^2 U}{\partial x^2} + \frac{\partial^2 U}{\partial y^2} + \frac{\partial^2 U}{\partial z^2} = Q$$

$$\frac{\partial^2 U}{\partial (\frac{x}{s})^2} + \frac{\partial^2 U}{\partial y^2} + \frac{\partial^2 U}{\partial z^2} = Q$$

To ma teraz postać zwykłego równania potencjału. Jeżeli więc w zwykłym potencyale następujemy x przez $\frac{x}{s}$, otrzymujemy potencjał konwekcyjny.

Próbmy np.
$$U = \frac{A}{\sqrt{(\frac{x}{s})^2 + y^2 + z^2}}$$

ślazd sily

$$X = -\frac{\partial U}{\partial x} = \frac{Ax}{s^2 \sqrt{\left(\frac{x}{s}\right)^2 + y^2 + z^2}^3}$$

$$Y = -\frac{1}{s^2} \frac{\partial U}{\partial y} = \frac{1}{s^2} \frac{Ay}{\sqrt{\left(\frac{x}{s}\right)^2 + y^2 + z^2}^3}$$

$$Z = -\frac{1}{s^2} \frac{\partial U}{\partial z} = \frac{1}{s^2} \frac{Az}{\sqrt{\left(\frac{x}{s}\right)^2 + y^2 + z^2}^3}$$

$$\begin{aligned} \text{Zatem sila wypadkowa } D &= \sqrt{X^2 + Y^2 + Z^2} = \\ &= \frac{Ar}{s^2 \sqrt{\left(\frac{x}{s}\right)^2 + y^2 + z^2}^3} \end{aligned}$$

To wyrażenie można przekształcić, wprowadzając r do mianownika $y^2 + z^2 = r^2 - x^2$, ślazd

$$D = \frac{Ar}{s^2 \sqrt{r^2 + x^2 \left(\frac{1}{s^2} - 1\right)}^3}; \quad \frac{1}{s^2} - 1 = \frac{1 - s^2}{s^2} = \frac{\frac{u^2}{c^2}}{1 - \frac{u^2}{c^2}}$$

$$D = \frac{A}{s^2 r^2 \sqrt{1 + \frac{\frac{u^2}{c^2}}{1 - \frac{u^2}{c^2}} \cdot \frac{x^2}{r^2}}^3} = \frac{As}{r^2 \sqrt{s^2 + \frac{u^2}{c^2} \cos^2 \gamma}^3}$$

$$D = \frac{As}{r^2 \sqrt{1 - \frac{u^2}{c^2} \sin^2 \gamma}^3}$$

(γ oznacza kąt między promieniem do danego punktu i osią x)

Sila elektryczna w bliskosci punktu porusza,
jącego się z prędkością jednostajną, jest $\propto r^{-2}$,
wówczas odwrotnie proporcjonalna do kwadra-
tu promienia, ale prócz tego zależy od ką-
ta, pod którym promień jest nachylony
do kierunku ruchu. Jeżeli prędkość v
jest $= 0$, mamy prawo Coulomba, w każdym
innym razie jest siła inna w kierunku
osi, inna zaś w kierunku prostopadłym.
Z tego można sobie zdać sprawę bez ra-
chunków, wychodząc z uwagi, że dostanie-
my kompletnie równanie dla potencjału, je-
żeli zastąpimy x przez $\frac{x}{5}$, to znaczy, je-
żeli x zmniejszymy w stosunku 1:5.

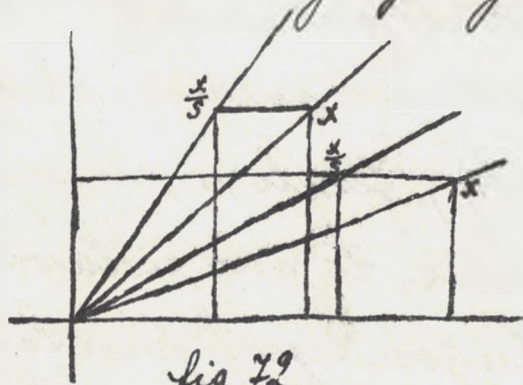


fig. 72.

Póki punkt jest
w opozycjach, linie
sił pochodzą, się je-
dnostajnie w wszystkich
kierunkach przestrzeni.

Gdy punkt porusza się z prędkością u , wzdłuż
osie x zmniejszają się, wzdłuż linii siły
zbliżają się do płaszczyzny prostopadłej
do kierunku ruchu. Gdy prędkość $u = c$,
wzdłuż linii siły koncentrują się w tej
płaszczyźnie prostopadłej. To zmniejszanie
się ostrego kąta w stosunku 1:5 nazywa się
Scherangs-Kontraktion. Porównując układ
sił w tym wypadku istniejących z układem
sił dla ciała odpowiedniego będącego w spo-
czytku, widzimy, że są analogiczne, tylko,
że współrzędne wypadku ruchu są zmniejs-
zone w stosunku 1:5. Thomson, porównując
się na analogię z hydrodynamiką, wyobra-
ża sobie linie sił, jako coś namacalnego
(rurki Faradaya, pręty). Jeżeli w cieczy po-
rujemy płytą podłużnie, to ona ustawia się
tak, że kierunek długości jest prostopadły
do kierunku ruchu. Analogicznie tutaj, gdy

ciało z rurkami Faradaya porusza się w cte,
rue, to ster wywiera siłę $\lambda a R_2$, która stara
się ustawić rurki w kierunku poprzecznym,
a to temu bardziej, im szybciej jest ruch.

Jeżeli $u = c$, wszystkie linie sił są prostopa-
de do kierunku ruchu. Wobec tego elektro-
ny poruszające się z prędkością światła
będą wywierały siły jedynie w kierunku
prostopadłym do swego ruchu, ale same siły
będą nieskończenie wielkie. —

Gdy kula porusza się w cieczy, ~~to~~ idealnej,
to dopóki prędkość jest jednostajna, ciecz
żadnego wpływu nie wywiera, ale skoro prę-
dkość kuli się zmienia, to obecność cieczy
wywiera taki wpływ, że powiększa pozornie
masę kuli, a właśnie bezwładności. Masę
kuli trzeba powiększyć o połowę masy cie-
czy wyparłej. Coś podobnego zachodzi w wy-
stępowaniu. i magn. Ark. XXVII.

pólki elektromagnetycznej. Nawet światło, które
 nie ma żadnej masy materialnej, tylko ta,
 linia elektryczna otrzymuje wskutek ruchu
 porównywalną energię kinetyczną. - Otrzymalibyśmy
 jako siłę wypadkową $D = \frac{As}{r^2 \sqrt{1 - \frac{u^2}{c^2} \sin^2 \gamma}}$ - tu ma-
 my stałą niezmenną A . Dla jej określe-
 nia potrzeba znać ładunek ciała porusza-
 jącego się. Wiemy, że 4π krotny ładunek
 daje ilość linii sił, które przechodzą przez
 powierzchnię otaczającą ładunek q .

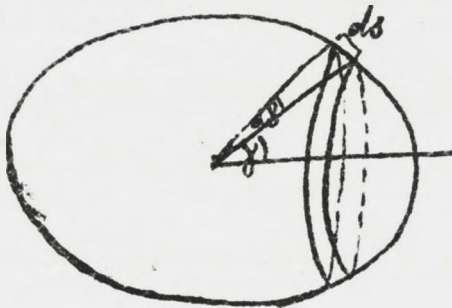


fig. 73

$$\int D dS = 4\pi q$$

$$4\pi q = As \int_0^\pi \frac{2\pi r \sin \gamma r d\gamma}{r^2 (1 - \frac{u^2}{c^2} \sin^2 \gamma)^{3/2}}$$

$$q = \frac{As}{2} \int_0^\pi \frac{\sin \gamma d\gamma}{(1 - \frac{u^2}{c^2} \sin^2 \gamma)^{3/2}}$$

$$q = - \frac{As}{2} \int_0^{\pi-2\pi} \frac{d \cos \gamma}{\left[1 - \frac{u^2}{c^2} + \frac{u^2}{c^2} \cos^2 \gamma\right]^{3/2}}$$

$$= - \frac{As}{2} \frac{c}{u} \int \frac{d \frac{u}{c} \cos \gamma}{\sqrt{S^2 + \frac{u^2}{c^2} \cos^2 \gamma}} = - \frac{As}{2} \frac{c}{u} \int \frac{dx}{\sqrt{S^2 + x^2}}$$

Wiemy, że całka potłaci

$$\int \frac{dx}{\sqrt{a^2 + x^2}} = \frac{x}{a^2 \sqrt{a^2 + x^2}} ; \text{ po podstawieniu}$$

obracamy ją

$$q = \frac{2As}{2} \frac{\frac{u}{c}}{S^2 \sqrt{S^2 + \frac{u^2}{c^2}}} = \frac{A}{S}$$

Zatem $A = qS$; wobec tego

$$U = \frac{qS}{\sqrt{\left(\frac{x}{S}\right)^2 + y^2 + z^2}}$$

$$\text{zaś } D = \frac{qS^2}{n^2 \left(1 - \frac{u^2}{c^2} \sin^2 \gamma\right)^{3/2}}$$

Sila jest proporcjonalna do $\frac{1}{r^2}$, ale zależy też od kąta. Sila magnetyczna $f = \frac{1}{c} [\vec{u} \nabla]$,

$$H = \frac{1}{c} \frac{qS^2 u \sin \gamma}{n^2 \left(1 - \frac{u^2}{c^2} \sin^2 \gamma\right)^{3/2}} \text{ co do kierunku widać, że}$$

H jest prostopadła do D i do u. Linie sił będą

Sworzyły kóło obaczajace os'x. Majac te wielk.
kobi można obliczyć siłę $F = \mathcal{V} + \frac{1}{c} [\mathcal{V} \mathcal{L}]$.

$$\left. \begin{aligned} F_1 &= -\frac{\partial U}{\partial x} = \frac{qx}{\sqrt{\left(\frac{x}{s}\right)^2 + y^2 + z^2}^3} \\ F_2 &= -\frac{\partial U}{\partial y} = \frac{qy}{\sqrt{\left(\frac{x}{s}\right)^2 + y^2 + z^2}^3} \\ F_3 &= -\frac{\partial U}{\partial z} = \frac{qz}{\sqrt{\left(\frac{x}{s}\right)^2 + y^2 + z^2}^3} \end{aligned} \right\}$$

Wypadkowa siła

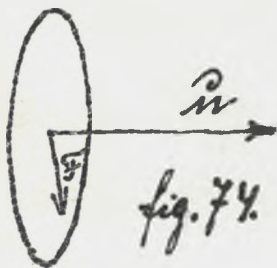
$$F = \frac{q \sqrt{\left(\frac{x}{s}\right)^2 + y^2 + z^2}}{\sqrt{\left(\frac{x}{s}\right)^2 + y^2 + z^2}^3} = \frac{q}{\left(\frac{x}{s}\right)^2 + y^2 + z^2}$$

Zważymy, że $x^2 = r^2 - y^2 - z^2 = r^2 \cos^2 \varphi$
 $y^2 + z^2 = r^2 \sin^2 \varphi$

wobec tego $F = \frac{q}{r^2} \left[\frac{\cos^2 \varphi}{r^2} + \sin^2 \varphi \right] = \frac{qs^2}{r^2 [1 - \frac{r^2}{s^2} \sin^2 \varphi]}$

Tak więc mamy wszystkie wzory, których
nam potrzeba. W praktyce obserwujemy tylko
ko siłę F wskutek działań mechanicznych,
podczas gdy \mathcal{L} i \mathcal{V} obserwować nie możemy.
Te wielkości są tylko pomocniczymi wektorami,

mi w teorii elektronów. W naszym przypadku,
 gdzie jest to siła wywierana przez jednostkę
 wy naboju elektrycznego poruszającego się razem
 z elektronem. Mielismy dla naboju elektrycz-
 nego $U = \frac{A}{\sqrt{(\frac{x}{3})^2 + y^2 + z^2}}$; jeżeli to położymy = const.,
 otrzymamy powierzchnię equipotencyalną;
 będzie nią, elipsoida obrotowa. $(\frac{x}{3})^2 + y^2 + z^2 = c$,
 czyli $\frac{x^2}{9c} + y^2 + z^2 = c$. Mianownik przy x^2 jest pro-
 porcyonalny do osi dużej, rozciągłość w kierunku
 osi x jest mniejsza, niż w kierunku
 osi y - będzie to więc elipsoida spłaszczone, tzn.
 elipsoida Heavisida.



Przejdźmy do innego za-
 gadnienia. Wyobraźmy
 sobie elektron, jako kw.,
 lecz naładowaną, i pytamy,

jaka będzie siła wywierana w jego kierunku
 i jaka będzie energia pola elektromagne-
 tycznego elektronu poruszającego się z je-

Dwustajna, przętkością. Obliczylibymy dotych,
czas t , f , F w blizkości masy poruszającej
się α jednostajną, przętkością. Będzie to ra,
żne też dla elektronu, dopóki odstep od nie,
go jest tak duży, że można elektron uważać
za punkt. Jeżeli jednak zbliżymy się do ele,
ktronu tak bardzo, że kształt jego scho ξ
 η rachube, trzeba rachunki inaczej prze,
prowadzić. Dawniejsze porównania bowiem nie
spełniają warunku, że elektron ma być
kulą, bo stędy powierzchnie equipotencjal,
ne musiałby być kulami, a nie sli,
ipsoidami. Zadanie jest więc takie:

Trzeba znaleźć taką funkcję U , która spe,
nia wszystkie warunki ciągłości oraz równa,
nie $\Delta^2 U + \frac{\partial^2 U}{\partial y^2} + \frac{\partial^2 U}{\partial z^2} = 0$ i która na powier,
chui kuli elektronu jest slata. Żeby takie po,
tencjal U znaleźć, trzeba to równanie
pównanie Laplace'a, podlariając zamiast x - $5x$.

Linie sił koto punktu poruszającego się
otrzymuje się, umieszczając współrzędne x, y, z
punktu nieruchomego w stosunku 1:5.

Owrodoicie, przykład ciała poruszającego się
można porównać z nieruchomym, powię,
kładając współrzędne ciała poruszającego
się w stosunku 1:5. —

Wychodzimy więc z porządku potencjału
dla elipsoidy wydłużonej w elektro-
statyce i potencjał ten umieszczamy w sto-
sunku 1:5 podstawiamy do równania

$$\Delta^2 U = 0. \text{ Przekonamy się,}$$

że ten potencjał to równanie spełnia,
i że na powierzchni kuli jest = constans.

Mając potencjał U można obliczyć siłę

$$F \text{ z równaniami } D_1 = -\frac{\partial U}{\partial x}, D_2 = -\frac{1}{5} \frac{\partial U}{\partial y}, D_3 = -\frac{1}{5} \frac{\partial U}{\partial z}.$$

W dalszym ciągu oblicza się siłę elektronu
 v , następnie siłę J , potem energię W pola
elektromagnetycznego na podstawie równa,

nia Maxwella $W = \frac{1}{8\pi} \iiint (D^2 + H^2) dv$; gdy się to wy-
 stko wykona, otrzymuje się następujące wyraże-
 nie $W = \frac{q^2}{a} \left[\frac{c}{2u} \lg \frac{1 + \frac{u}{c}}{1 - \frac{u}{c}} - 1 \right]$ (Bucherer: Einführung
 in die Elektronentheorie). Widzimy, że energia
 pola elektromagnetycznego zależy od prędko-
 ści u , a którą elektron się porusza, ale $u < c$,
 s'ob dość cawity. Upraszczając się to, jeżeli \lg
 rozwiniemy u szeregi: $\lg \frac{1+x}{1-x} = 2 \left(x + \frac{x^3}{3} + \frac{x^5}{5} + \dots \right)$

$$W = \frac{q^2}{a} \left[\frac{c}{u} \left(\frac{u}{c} + \frac{1}{3} \left(\frac{u}{c} \right)^3 + \frac{1}{5} \left(\frac{u}{c} \right)^5 + \dots \right) - 1 \right] =$$

$$= \frac{q^2}{a} \left[\frac{1}{3} \left(\frac{u}{c} \right)^2 + \frac{1}{5} \left(\frac{u}{c} \right)^4 + \dots \right].$$

Jeżeli $\frac{u}{c}$ nie jest zbyt duże, można się ogra-
 niczyć na pierwszym wyrazie. Energia po-
 la elektromagnetycznego jest wtedy propor-
 cyonalna do kwadratu prędkości. Jest więc
 analogia do równania $W = \frac{m u^2}{2}$; stąd odru-
 myśmy masę

$$\frac{m u^2}{2} = \frac{q^2}{3a} \frac{u^2}{c^2}$$

$$m = \frac{2}{3} \frac{q^2}{a c^2}$$

Masa elektronu poruszającego się, zale-
żna, jest od prędkości, jest więc tylko
pozornie stałą. Świerdztwo do doświadczenia
Raufmannu. Pokazał, że dla promienia
katodowego masa przedstawia się jako
stała wielkość, ale dla promienia β radii
mały znaczenie powiększenie mas. —

To wszystko jest wprowadzone pod kato-
dzeniem Lorentza, że elektron jest kulą,
posiadającą pewien ładunek powierzchni-
ny. Abraham wprowadził wzory Larmor
pod innym założeniem. Przyjmuje on,
że ładunek elektronu jest przestrzenny,
czyli, że elektron jest kulą wypełnioną.
Pod tem założeniem wchodzi się zmiennia;
tylko pierwsza potęga porusza się za sobą.
Zobowiązuje jeszcze inne hipotezy. Potem
Lorentz przyjmuje, że ciało poruszające
się zmiennia automatycznie rozmiary
Kont. George pl. i waga. Ork. XXIV.

we wszystkich kierunkach, a to w stosunku
1:1. W takim razie rachunek się zmienia,
bo elektron w ruchu będący nie jest kulą,
ale elipsoidą Heaviside'a. Bucherer przyjął
również, że elektron się zmienia na elipsoidę,
ale objętość jego pozostaje niezmienniczą.
A priori nie można powiedzieć, która hy-
poteka jest słuszną. Z powodu tego, że wyższe
potęgi się różnią, otrzymuje się różne
wyrażenia dla energii, a stąd różne
dla masy. Obserwując masę, można jednak
sprawdzić, która z tych hipotez jest słuszną.
Trzeba dla szybkości promieni β obserwo-
wać masę i obliczyć eksperymentalnie
zmiennosć masy, potem rozwinąć to
w szeregi i porównać, który z wzorów najle-
piej się zgadza. Na tem polu wykonali
doświadczenia Kaufmann, Bucherer i Hupka,
ale zgodnego wyniku dotychczas nie ma.

Przy tem jest jeszcze jedna ważna rzecz; wiemy, że masę mechaniczną można wy-
stunaczyć jako pochodną energii pola
elektromagnetycznego przez kwadrat
prędkości. Wobec tego, że masa zależy od
prędkości, mamy różne wyrażenia na
masę, zależnie od kierunku ruchu.

Ważne jest rozróżnienie szczególne ma-
sy podłużnej (longitudinalne Masse) i ma-
sy poprzecznej (transwersale Masse). Wy-
nika to stąd, że w teorii elektromagne-
tycznej upada prawo doświadczalne, że
przyspieszenia dwóch ciał na siebie oddzia-
łujących są do siebie w statycznym odnośniku;
nie można tu zatem wprowadzić masy,
jako fundamentu i stąd przejść do sił,
lecz odwrotnie: wychodzi się z pojęcia
siły F , z której się wnioskuje o masie ele-
ktromagn. - W jaki sposób wnioskujemy,

zależny od zjawiska ruchu.

$$F = m \frac{d^2 \vec{r}}{dt^2} = m \frac{d\vec{v}}{dt} = \frac{d}{dt} (m\vec{v}) = \frac{d}{dt} (\vec{p})$$

$$\left. \begin{aligned} X &= m \frac{d^2 x}{dt^2} \\ Y &= m \frac{d^2 y}{dt^2} \\ Z &= m \frac{d^2 z}{dt^2} \end{aligned} \right\} \vec{v} = i \frac{dx}{dt} + j \frac{dy}{dt} + k \frac{dz}{dt}$$

Wektor \vec{p} nazywa się, "Bieżąca wielkość",
moment pędu, ilość pędu. Należy jest
nieodpowiednia, nie jest to bowiem wiel,
kość ilościowa, ale wektorowa. Można to
rozłożyć $\vec{p} = A \vec{p}_0$; $\frac{d\vec{p}}{dt} = \frac{dA}{dt} \vec{p}_0 + A \frac{d\vec{p}_0}{dt}$

$$\frac{d\vec{p}_0}{dt} = \frac{d\vec{p}_0}{ds} \frac{ds}{dt}$$

Co to jest $\frac{d\vec{p}_0}{ds}$?

\vec{p} ma zawsze kierunek,
wzrost pędu, więc kierunek,
równoległy stycznej. Różnica,
czy dwóch wektorów
jednostkowych w dwóch
punktach będzie

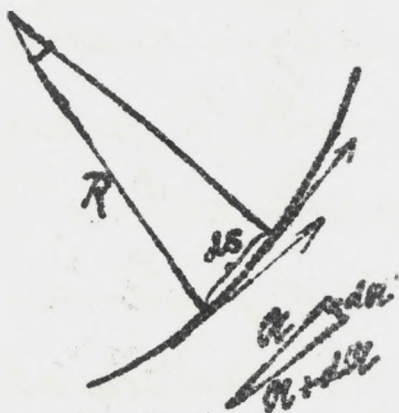


Fig. 75.

wektor prostopadły do nich. Wykreśliwszy
2 prostopadłe w tych punktach, otrzymamy
jenny 2 trójkąty podobne, z których ma-
my relację $|d\alpha_0| : ds = 1 : R$, $\frac{|d\alpha_0|}{ds} = \frac{1}{R}$.

Zatem $\frac{d\alpha_0}{ds} = \frac{u}{R} R_0$. (R_0 oznacza kierunek
prostopadły do kierunku ruchu.)

$$F = \frac{d\alpha}{ds} = \alpha_0 \frac{dA}{ds} + R_0 \frac{du}{R}$$

Siła składa się z części, która ma kierunek
wektora chwilowego ruchu i z części prosto-
padłej do tego kierunku: $F = F_0 + F_1$.

Jeżeli $\alpha = m \ddot{u}$, i masa jest wielkością
stałą, to bezwzględna wartość

$$F_0 = m \frac{du}{ds}, \quad F_1 = m \frac{u^2}{R}$$

ale to nie będzie więcej ważne, jeżeli
masa m będzie zależna od prędkości.

W takim razie trzeba przeurozić na-
pisanie

$$F_0 = \frac{dA}{ds} = m_1 \frac{du}{ds}; \quad m_1 = \frac{dA}{du}$$

$$F_1 = \frac{du}{R} = m_2 \frac{u^2}{R}; \quad m_2 = \frac{d}{du}$$

Mamy więc dwa sposoby, by znaleźć masę danego ciała. Do dyspozycji mamy jakąś siłę, reprezentowaną np. prędką sprężynę, która może na to ciało działać albo wzdłuż kierunku prędkości albo prostopadle, stąd można odróżnić m_x i m_y . Między temi wielkościami istnieje związek, który można otrzymać przez wyznaczenie Δ z pierwszego równania $\Delta = \int m_x du$, podstawiając to do drugiego, mamy $m_y = \frac{1}{u} \int m_x du$. Masę longitudinalną można obliczyć w wyrażeniu na energię tego systemu. Jeżeli bowiem pily są w ruchu, to powoduje tylko przyspieszenie punktu, to wzrost energii pola elektromagnetycznego równa się pracy wykonanej.

$$F_x ds = dW; F_x = \frac{dW}{ds} = m_x \frac{du}{ds}$$
$$m_x = \frac{dW}{ds} \cdot \frac{ds}{du} = \frac{1}{u} \frac{dW}{du}$$

Mielisiny

$$W = \frac{q^2 u^2}{a} \left[\frac{1}{3} + \frac{1}{5} \frac{u^2}{c^2} + \frac{1}{7} \frac{u^4}{c^4} + \dots \right]$$

$$\frac{dW}{du} = \frac{q^2}{a} \left[\frac{2u}{3} + \frac{4}{5} \frac{u^3}{c^2} + \frac{6}{7} \frac{u^5}{c^4} + \dots \right]$$

Step 2

$$m_2 = \frac{2q^2}{3a} \left[1 + \frac{6}{5} \frac{u^2}{c^2} + \frac{9}{7} \frac{u^4}{c^4} + \dots \right]$$

$$\int m_2 du = \frac{2}{3} \frac{q^2}{a} \left[u + \frac{3}{5} \frac{u^3}{c^2} + \frac{9}{35} \frac{u^5}{c^4} + \dots \right]$$

$$m_2 = \frac{1}{u} \int m_2 du = \frac{2}{3} \frac{q^2}{a} \left[1 + \frac{3}{5} \frac{u^2}{c^2} + \frac{9}{35} \frac{u^4}{c^4} + \dots \right]$$

O ile prędkości są stosunkowo nie duże, tak, że wyższe potęgi można pominąć, wyrażenia na m_2 i m_3 są identyczne, jeżeli jednak wyższe potęgi wchodzić u m_2 choćby, widać, że m_2 rośnie prędkiej z szybkością, ruchów niż m_3 .

Są to logicznie wyprowadzone konsekwencje z równań elektromagnetycznych pod założeniem, że elektron jest kulą niekierującą o ładunku q i promieniu a .

Sprawdzają te wyniki doświadczenia
Kaufmana nad promieniami katodowymi
wyniki i promieniami β radium. Mierny jest
on stosunek $\frac{h}{m}$ kombinując siły i obroty
mał:

u	$\frac{h}{m}$
$0.7 \cdot 10^{10}$	$1.865 \cdot 10^7$
$2.36 \cdot 10^{10}$	$1.91 \cdot 10^7$
$2.59 \cdot 10^{10}$	$0.97 \cdot 10^7$
$2.83 \cdot 10^{10}$	$0.63 \cdot 10^7$

W miarę wzrostu prędkości stosunek $\frac{h}{m}$
maleje; przy statem h rośnie m . Mamy tu
do czynienia z masą poprzeczną, bo nie,
przez skrzywienie promienia.

Z tego punktu widzenia należałoby uważać
całe resztkie masy za porożne, za hybrydy,
jęcej z energii pola elektromagnetycznego
i brzebaby arwidować całą mechanikę.
Wskutek tego, że masa zależy nie tylko od

prędkości, ale także od kierunku ruchu,
 upada np. prawo składowania sił, ponieważ
 prawo akcji i reakcji i.t.d. Jest jeszcze
 kwestya wątpliwą, jak daleko to sięga.

Lorentz i Abraham (przewtem Heaviside)
 doszli do tych wniosków w nieco odmiennej
 sposób, badając siłę działającą na ja-
 kieś ciało w polu magnetycznym.

Jeżeli $F = v + \frac{1}{c} [v \times f]$, to na macie ρdv
 działają iloczyn $\times F$ i ρdv , a na całej ciałe:

$$\int \rho F dv = \int \rho v dv + \frac{1}{c} \int [v \times f] dv.$$

Cale dalsze rozwiązanie polega na trans-
 formacji $\frac{1}{\sqrt{\pi}} \int v \operatorname{div} v dv$ (ponieważ $\rho = \frac{1}{\sqrt{\pi}} \operatorname{div} v$);
 możemy składowe należące do osi i"

$$\iiint D_1 \left(\frac{\partial D_1}{\partial x} + \frac{\partial D_2}{\partial y} + \frac{\partial D_3}{\partial z} \right) dx dy dz =$$

$$= \iiint D_1 (D_1 dS \cos \alpha + D_2 dS \cos \beta + D_3 dS \cos \gamma) -$$

$$- \iiint (D_1 \frac{\partial D_1}{\partial x} + D_2 \frac{\partial D_1}{\partial y} + D_3 \frac{\partial D_1}{\partial z}) dx dy dz$$

Ponieważ $D_1 \frac{\partial D_1}{\partial x} = \frac{1}{2} \frac{\partial}{\partial x} (D_1^2 + D_2^2 + D_3^2) - D_2 \frac{\partial D_2}{\partial x} - D_3 \frac{\partial D_3}{\partial x}$,
 przeto całka objętościowa ma postać

$$\iiint \frac{1}{2} \frac{\partial}{\partial x} (D_1^2 + D_2^2 + D_3^2) dv - \iiint (D_2 \frac{\partial D_2}{\partial x} - D_2 \frac{\partial D_1}{\partial y} - D_3 \frac{\partial D_1}{\partial z} + D_3 \frac{\partial D_3}{\partial x}) dv.$$

Wyrażenie pod drugim znakiem całkowym jest identyczne ze składową w kierunku osi „i” następującego iloczynu wektorowego,

$$\begin{vmatrix} i & j & k \\ D_1 & D_2 & D_3 \\ \left| \frac{\partial}{\partial y} \frac{\partial}{\partial z} \right| & \left| \frac{\partial}{\partial z} \frac{\partial}{\partial x} \right| & \left| \frac{\partial}{\partial x} \frac{\partial}{\partial y} \right| \\ D_2 D_3 & D_3 D_1 & D_1 D_2 \end{vmatrix} = [\nabla \text{ rot } \nabla]$$

Wspierając wyrażenia otrzymamy dla składowych należących do j i k.

Razem zebrane daje to

$$\int \nabla \text{ div } \nabla dv = \int \nabla \cdot dS' - \frac{1}{2} \int \text{div} (\nabla^2) dv - \int [\nabla \text{ rot } \nabla] dv.$$

Dруга całka znika się przez zwrócenie

Gausa na całkę powierzchniową $\frac{1}{2} \int \text{div}(\mathcal{V}^2) dv = \frac{1}{2} \int v_n^2 dS$. Pozostała całka objęściowa, można dalej transformować, gdyż z drugiego równania Maxwella jest

$$\frac{\partial \mathcal{F}}{\partial t} = -c \text{rot } \mathcal{V}, \text{ zatem}$$

$$\int \mathcal{V} \text{div } \mathcal{V} dv = \int \mathcal{V} v_n dS - \frac{1}{2} \int v_n^2 dS + \int [\mathcal{V} \frac{\partial \mathcal{F}}{\partial t}] dv.$$

To jest pierwsza część. W drugiej występuje $\int [\mathcal{V} \frac{\partial \mathcal{F}}{\partial t}] dv$, a nie $\frac{\partial}{\partial t} \int [\mathcal{V} \mathcal{F}] dv + 4\pi \rho u = c \text{rot } \mathcal{F}$, więc $\int [\mathcal{V} \frac{\partial \mathcal{F}}{\partial t}] dv = c \int [\text{rot } \mathcal{F} \mathcal{F}] dv - \int [\frac{\partial}{\partial t} \mathcal{V} \mathcal{F}] dv$.

Transformując odpowiednio powyższe wyrażenie otrzymamy sumę dwóch całek: powierzchniowej i objęściowej.

Lorentz powiada, że całkowita siła składowa się z dwóch części: 1) z siły działającej na powierzchni tej części przestrzeni, nad którą wykonaliśmy całkowanie i 2) z siły, która działa na wszystkie elementy tej przestrzeni. - Gdy tę powierzchnię odśladamy do nieskończoności, całka powie,

mechaniczna siła, pozostaje tylko objętość, siła: $\int \mathcal{F} dv = -\frac{c^2}{4\pi} \frac{\partial}{\partial t} \int [\mathcal{D}] dv$, tzn., że siła mechaniczna działająca na jakies ciało można znaleźć, obliczając całkę nad nieskończoną przestrzenią. Wskazywamy więc pochodną czasową

$\mathcal{F} = \frac{\partial}{\partial t} \int [\mathcal{D}] dv$, to ma kształt równania Newtona $\mathcal{F} = \frac{d}{dt} \mathcal{A}$, tak, że

$$\int [\mathcal{D}] dv = \mathcal{A}.$$

Siła pędu można sprowadzić na wielkość w całej przestrzeni rozłożoną.

Liczbowo zgodna się to z prądem energii Poyntinga. Wykonując to całkowanie otrzymuje Lorentz \mathcal{A} , a stąd w dalszym ciągu m_e i m_e .

Zjawiska, które dają podstawę do przyjęcia teorii elektronowej.

1.) Zjawisko Lemauma. Już Faraday badał wpływ pola elektromagnetycznego na

światło. Znalazł, że niektóre ciała w polu elektromagnetycznym nabierają własności skręcenia płaszczyzny polaryzacji, ale bez pośredniego wpływu pola na źródło światła nie odkrył. Dopiero Zeemanowi udało się wykazać, że źródło światła zmienia się w polu elektromagnetycznym, tak np. przy świetle podwójnej linii D rozkłada się na 2 względnie 3 linie. Odchylenie jest bardzo małe, występuje dopiero przy silnej dyspersji i wzięciu silnego pola magnetycznego. O sensacyjnym tem odkryciu doniósł Zeeman telegraficznie Lorentzowi, który mu natychmiast odpowiedział, że w takim razie światło obserwowane musi być spolaryzowane, co też Zeemanowi istotnie skonstatował. Według teorii elektromagnetycznej drgania światła pochodzą od drgań mechanicznych elektronów w izolatorach

się znajdujących; te drgania odbywają się we wszystkich możliwych kierunkach, a 4 Kie, punktu pochodzenia się promienia, (z któ-

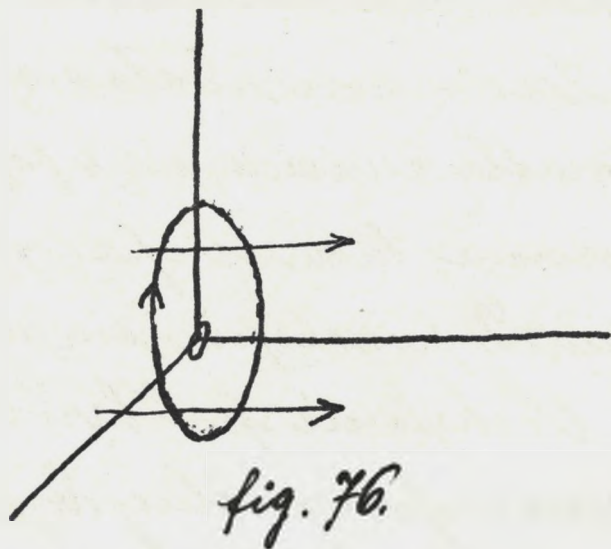


fig. 76.

ry włożymy oś x.) istnieją tylko pro, stopadłe, t. zw. w kierunku y i z. Dedy, to w ogólnym wypadku drgania liniowe, które można

możnać na superpozycję dwóch drgań cyr, kularnych.

Jeżeli się tu umieści pole magnetyczne w ten sposób, że linie sił pola magnety,

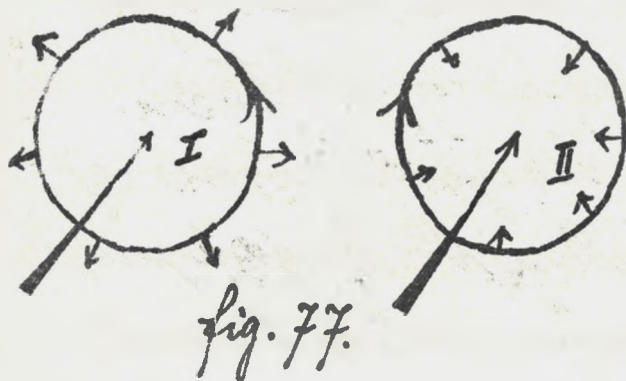


fig. 77.

cznego są równole, gte do osi x, to ele, ktrom będzie pod, legać siłom wycy, lającym, a to jecie,

li siły magnetyczne przebiegają z pręko-
ścią pora prądowego, rysunków, to według
reguły Flemminga w pierwszym wypad-
ku siła będzie skierowana na zewnętrz,
(fig. I), w drugim ku wnętrzu (fig. II). Wier-
szące elektrony będą się starały po-
większyć promiary koła, drugie zmniej-
szyć. Drgania elektronów pochodzą, stąd
że istnieje siła podziału sprężystej, która
stara się sprować je do pozycji ró-
wnowagi, czyli ściskać do punktu
środkowego „O”. Ta siła jest proporcjo-
nalna do odstępów „R”. Musi istnieć równo-
waga między siłą ku środkowi działającą,
i siłami działającymi na zewnątrz.
Na zewnętrz działająca siła odśrodkowa $\frac{mv^2}{R}$
i elektromagnetyczna $e \cdot v \cdot H$, przy czym
elektron porusza się z prędkością v .
 $\frac{mv^2}{R} + e \cdot v \cdot H = \alpha R$ - w drugim wypadku ma,

my równanie odpowiednie, tylko że $e \cdot H$ ma
znak przeciwny. Prędkość v jest n λ ω μ κ ν
& iloscią obrotów i promieniem: $v = 2\pi R n$

Jeżeli to podstawimy, otrzymamy

$$4\pi^2 m n^2 R + 2\pi e n R H = \alpha R.$$

Skąd α wyznaczymy & warunkiem $n = n_0$,
gdzie $H = 0$.

$$4\pi^2 m n_0^2 = \alpha, \text{ wobec tego } (n_0^2 - n^2) = \frac{2\pi e n H}{4\pi^2 m} =$$
$$= \frac{e H n}{2\pi m} \quad (n_0 - n)(n_0 + n) = \frac{e H n}{2\pi m}.$$

$n_0 - n =$ różnica liczby drgań $= \Delta n$. Ponie,
wax n_0 prawie równa się n , to $n_0 + n = 2n$
stad $\Delta n = -\frac{e H}{4\pi m}$; jest to wzór wyrażający
zależność różnicy częstotli drgań w stanie
naturalnym i w polu magnetycznym;
zależy ona od wielkości, H i stosunku $\frac{e}{m}$;
widać, że w pierwszym wypadku (fig. 7 I) ele,
ktora będzie się poruszać, niż
w stanie naturalnym, w drugim wypadku
szybciej. To sobie można też wytłumaczyć

w sposób następujący: jeżeli elektron poru-
sza się w drugi sposób, to siła odśrodkowa po-
rownoważę siłę przyciągającą ku środkowi.

Jeżeli siłę przyciągającą powiększymy wsku-
tek dodania siły magnetycznej, to należy
wytworzyć większą siłę odśrodkową, czyli wię-
kszą prędkość ruchu. W porównaniu jest różnica
 $\Delta n' = \frac{e}{m} \frac{H}{v}$. Różnica prędkości drgań obu prądów,
jako $\Delta = \frac{e}{m} \frac{H}{2v}$. Liczba drgań drgania n
można także wyrazić długość fali $\lambda =$
 $= \frac{c}{n}$, stąd mamy

$$d\lambda = -\frac{c}{n^2} dn, \quad \frac{d\lambda}{\lambda} = -\frac{dn}{n}. \text{ Zatem w tym}$$

wypadku $\frac{d\lambda}{\lambda} = -\frac{e}{m} \frac{H}{2v} \frac{\lambda}{c}$.

Jaki będzie skutek? Przede wszystkim
tylko drgania jednego rodzaju a określonej
ilości, obrotów, n_0 , wychodzą światło mono-
chromatyczne. W polu magnetycznym
drgania się zmieniają, jedne się przyspie-
szają, inne spóźniają, długości ich fal się
zmieniają. Art. XXX.

amienia, linie widmore, które się pokrywały, rozdzielają się. Jedna ze składowych pochodzi od tych, które w jednym kierunku wirowały, druga od drgań w przeciwnym kierunku wirowałych. Jedne i drugie muszą być światłem kołowo spolaryzowanym.

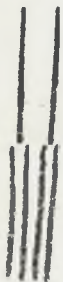


Fig. 78.

Co się tyczy wartości liczbowych, to Lecnaman wykonał pierwsze obserwacje przy silie pola magnetycznego $H = 8000$ (em). Obserwował rozszerzenie, które równało się 40 odstę, słu linii D. Właśnie zrobił dokładniejsze badania przy więksim silniejszych pól magnetycznych i otrzymał $\frac{\Delta n}{n} = 1.6 \cdot 10^{-7}$ jest to w zupełnej zgodzie z teorią liczbami, które się otrzymało z obserwacji promieni katodowych. Odnosi się to do specjalnego wypadku, że promień wychodzi w kierunku pola magnetycznego. Używa się silnego elektro,

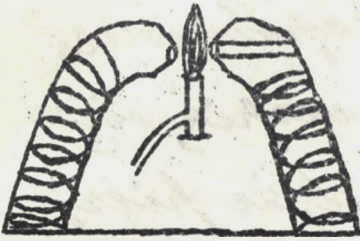
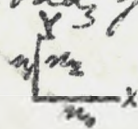


fig. 79.

magneŝu. Między ŝtobko,
 weni nasadami umieszcza
 się płomień Brunŝera.

Magnes w tem miejscu
 jest przedziurawiony; światło wychodzące
 ukazuje się we widmie porzeczki i cyr,
 kularnie spolaryzowane. Inaczej zachowują
 się drgania, które wychodzą, prostopadle
 do pola magnetycznego.



Na to światło składają się wszystkie drgania
 odbywające się w płaszczyźnie rysunku, czyli
 drgania w kierunku osi y i osi x . Te w kierunku,
 któ y odbywają się równoległe do linii
 sił pola magnetycznego. Na nie pole magne,
 syczne wcale nie działa, zachowują one prz,
 płaszczyznę normalną $z = n_0$. Te w kierunku osi y
 są składowe drgań których, o których paprec,
 dno była mowa. Będą to więc 2 podzaje n_1 i n_2 .
 W takim wypadku mamy 3 podzaje drgań:

1) normalne, 2) przyspieszone, 3) opóźnione.
Pojedyncze linie widmowe rozciągają się
w 3 linie. Przyniem trzeba uważać, że pier-
wotne pochodzące od tych w kierunku
osi x będą liniowo spolaryzowane, a przy-
śpieszone i opóźnione będą liniowo, ale
prostopadle do takich spolaryzowane.
To wyjątkowo zgadza się najzupełniej z do-
świadczeniem. Obserwacje tych zjawisk
przy pomocy siatek dyfrakcyjnych są
dość trudne; wygodniejsze są do tego spe-
ktroskopy schodkowe. Wiele badań na tym
polu wykonał Michelson. Zjawiska są naj-
więcej i wiele więcej skomplikowane, a
ich teoria nie jest jeszcze dobrze spraco-
wana. Lorentz tłumaczy to tak, że teoria
stosuje się tylko do wypadku, gdy mamy
tylko jeden elektron drgający, a zary-
szak w atomach wysyłających światło

będzie większa ilość elektronów, które na siebie oddziaływają i modyfikują nawzajem swój ruch. Pokazuje się, że różne linie widmowe zachowują się w ten sposób, że zamiast 3 części występuje rozkład na 5, 6, 4, 9 itd. linii. —

Jest jeszcze ciekawa, że różne linie należące do tej samej serii widmowej zachowują się w ten sam sposób także pod względem zjawiska Zeemana. Wiadomo, że to, co widzimy w widmie jest superpozycją szeregu serii. Linie należące do

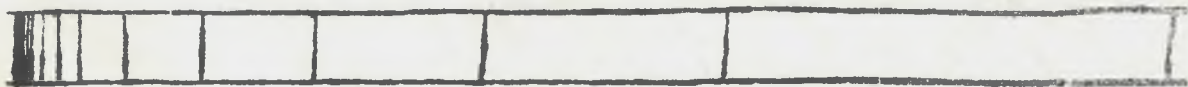


fig. 80

różnych serii różnią się między sobą, jedne są bardziej zaognione, inne bardziej ostre itd. To jest w związku z rozkładem natężenia światła. W widmie powstają linie, gdy natężenie światła jest fin.

kręga, długości fali λ , funkcją na prozór, nie ciągłą; z tego, jaka maxima przebiegają można wnioskować, które linie należą do jednej serii.

2) Teoria dyspersji na podstawie elektronowej. Mobilizmu, że jedną z głównych ról teorii elektromagnetycznej Maxwella jest to, że nie odawata sprawy z ujawniła dyspersji w ośrodkach przezroczystych. Według Maxwella $n = \sqrt{\epsilon}$; nie zależy zatem od długości λ . Tymczasem pokazuje się, że w rzeczywistych ośrodkach przezroczystych $n = f(\lambda)$. Teoria dyspersji pochodzi w rzeczy samej od Cauchy'ego; rozwinęli ją następnie Biot - Boussinesq, Helmholtz, wysocy na podstawie teorii mechanicznej indukcji.

Z punktu widzenia teorii elektronowej dyspersja przedstawia się tak: mamy równa,

nie Maxwella

$$R \frac{\partial \mathcal{L}}{\partial \mathbf{f}} + 4\pi \mathcal{L} \mathbf{f} = \text{rot } \mathcal{L}$$

$$\frac{\partial \mathcal{L}}{\partial \mathbf{f}} = - \text{rot } \mathcal{L};$$

Drugie równanie zachowuje się także w teorii elektromagnetycznej, ale pierwsze trzeba zmienić. Jest to równanie elektromagnetyczne

$4\pi \mathbf{i} + 4\pi \mathcal{L} \mathbf{f} = \text{rot } \mathcal{L}$. Jeżeli mamy pole elektryczne, drugi składnik zwika.

Wynika stąd $\mathbf{i} = \frac{c}{4\pi} \frac{\partial \mathcal{L}}{\partial \mathbf{f}}$. Druide mówi, że gdy światło wpada elektrony zostają wprawione w ruch drgający i że to, co nazywamy prądem, składa się z prądu polaryzacji w sterze i z przesunięcia elektronów,

$$u = \frac{1}{4\pi} \frac{\partial X}{\partial x} + n_1 e \frac{\partial \xi_1}{\partial t} + n_2 e \frac{\partial \xi_2}{\partial t} + \dots$$

(ξ odstęp w normalnej pozycji równowagi, $\frac{d\xi}{dt}$ prędkość w kierunku x ; jeżeli elektron ma ładunek e , to prąd w kierunku ox jest równowazny $e \frac{d\xi}{dt}$, a tych elektronów jest n ; mogą, kreść, być różne podzaje).

Ponieważ elektrony odbywają ruch drgający, podlegają siłom sprężystym, które starają się sprowadzić je do pozycji równowagi, oraz siłom elektrycznym, które je pobudzają. Będzie tu ważne prawo Newtona $m \frac{d^2 \xi}{dt^2} = -\alpha \xi + e X$. Należy uwzględnić jeszcze tarcie, które jest konieczne, by elektrony nie drgały wiecznie, ale poruszają tego tarcia bliżej nie znamy.

Drude stawia je równe $-\beta \frac{d\xi}{dt}$, tak, że

$$m \frac{d^2 \xi}{dt^2} = -\alpha \xi + e X - \beta \frac{d\xi}{dt}.$$

Stała α jest w związku z wychyleniem elektronów z pozycji normalnej przez siłę X , mianowicie w stanie spoczynku byłoby $\frac{d\xi}{dt} = \frac{d^2 \xi}{dt^2} = 0$: $\xi = \frac{e}{\alpha} X$.

Jeżeli więc spada fala elektromagnetyczna, to siła X jest funkcją periodyczną czasu o okresie τ , wtedy strumiany prądu, wzbudzone przez nią są $\xi = A e^{i \frac{t}{\tau}}$, a natężenie

$$\frac{\partial \xi}{\partial z} = \frac{i}{c} \xi, \quad \frac{\partial^2 \xi}{\partial z^2} = -\frac{1}{c^2} \xi$$

Równanie owo zatem przyjmie postać:

$$\left(-\frac{m}{c^2} + \alpha + \beta \frac{i}{c}\right) \xi = e X, \text{ więc}$$

$$\xi = \frac{e X}{\alpha + \beta \frac{i}{c} - \frac{m}{c^2}}$$

aproximując i wstawiając to do wyrażenia μ ,

$$\mu = \frac{1}{\sqrt{\pi}} \frac{\partial X}{\partial z} \left\{ 1 + \frac{4\pi e_1^2 n_1}{\alpha_1 + \beta_1 \frac{i}{c} - \frac{m}{c^2}} + \frac{4\pi e_2^2 n_2}{\alpha_2 + \beta_2 \frac{i}{c} - \frac{m}{c^2}} \right\}$$

To jest zatem owo wyrażenie, które obecnie przychodzi na miejsce przed $\mu = \frac{K}{\sqrt{\pi}} \frac{\partial X}{\partial z}$, to znaczy, że obecnie można mieć korzystnych dalszych wzorów dla przekroczenia się fal elektromagnetycznych, jeżeli zamiast sta. tej K w nich podstawimy ową wielkość w nawiasach:

$$\left\{ 1 + \frac{4\pi e_1^2 n_1}{\alpha_1 + \beta_1 \frac{i}{c} - \frac{m}{c^2}} + \frac{4\pi e_2^2 n_2}{\alpha_2 + \beta_2 \frac{i}{c} - \frac{m}{c^2}} \right\},$$

a wiemy, że to odpowiadać powinno kwadratu, w ścisłości kątowania, więc mamy Nowe teoremy el. i magn. ArR. XXXI.

ogólnie
$$n^2 = 1 + \frac{4\pi e_1^2 n_1}{\alpha_1 + \frac{\beta_1 c}{v} - \frac{m}{c^2}} + \frac{4\pi e_2^2 n_2}{\alpha_2 + \frac{\beta_2 c}{v} - \frac{m}{c^2}}$$

więc n zależy od α , często przekrywiłej i wrojo-
mej (z powodu $\frac{c}{v}$ i $\frac{m}{c^2}$ mianownika), co oznacza
w ogólności istnienie zjawiska absorpcyi
i wtedy mamy:

$$n^2 = 1 + \sum_k \frac{D_k n_k}{1 - \left(\frac{v_k}{v}\right)^2}$$

jeżeli dla skrócenia nazwy $D_k = \frac{4\pi e_k^2}{\alpha_k}$

i $\tau_k^2 = \frac{m}{\alpha_k}$.

τ_k jest okresem „własnych swobodnych” drgań elektronów, tj. LaRiche, któ-
re się odbywają wyłącznie pod działaniem
siły sprężystej $m \frac{d^2 \xi}{dt^2} = -\alpha \xi$.

Chodzi obecnie o to, czy owe „własne drga-
nia przewodne” są częstot. czy porównajnie
o drgań ciała widzialnego (więc, czy odpowia-
dają drganiom w porażkowej lub poraż-
kowej części widma).

W pierwszym wypadku mamy $\tau_k < \tau$, więc:

$$\frac{1}{1 - \left(\frac{v_k}{c}\right)^2} = 1 + \left(\frac{v_k}{c}\right)^2 + \left(\frac{v_k}{c}\right)^4 + \dots$$

W drugim wypadku: $v_k > c$, więc

$$\frac{1}{1 - \left(\frac{v_k}{c}\right)^2} = -\left(\frac{c}{v_k}\right)^2 \left[1 + \left(\frac{c}{v_k}\right)^2 + \left(\frac{c}{v_k}\right)^4 + \dots \right]$$

W pierwszym wypadku otrzymujemy wzór dla dyspersji (zależności współczynnika załamania od długości fali światła spadającego) formy:

$$n^2 = 1 + \underbrace{\sum n_k v_k^2}_A + B \lambda^2 + C \lambda^4 \quad (\text{ponieważ } v = \frac{c}{\lambda})$$

Zwykle jest tak, że wzór nie jest dooży do „kłańdny i pomnawo supinymnie, że wtedy do „kłańdniejy jest wzór formy:

$$n^2 = -\frac{A'}{\lambda^2} + A + B \lambda^2 + C \lambda^4$$

(jako przybliżenie, przy pominięciu wyrazów $\frac{1}{\lambda^2}$ i wyższych), co istotnie wynika z prostej teorii, jeżeli przyjmujemy istnienie próżni podzajów elektronów, takich, które mają Drga,

nia własne w porażeniowym i takich, które mają je w porażeniowym.

Takim ciałem jest np. woda; istotnie woda posiada wybitne smugi absorpcyjne w porażeniowym widmie (dla $\lambda = 0.08 \mu\text{m}$), a zatem też drgania przewodne elektronów odporowicie.

Równocześnie widzimy, że ogólnie dla drgań elektromagnetycznych bardzo powolnych np. drgań Herzkowskich, gdzie w każdym razie $\tau \gg \tau_n$, będzie:

$$n^2 = 1 + \sum \frac{f_n}{\nu_n} n_n,$$

to jest wtedy owa wielkość, która nazywamy stałą dielektryczną K , więc stumaczy się, że zupełnie, czemu i wiążemy $n^2 = K$ nie spełnia się dla drgań świetlnych, i jak mogą być nawet, tak wielkie liczby, jak $K = 80$ (dla wody).

Również takie zjawisko dyspersji, anormalnej i optyki metali mogą być wytłumaczone, na tej podstawie - i co już na tem więcej,

ściu nie wchodzimy. (Patrz Druide: Optyka).
3). Najsilniejszą podporę dla teorii elek-
ktronowej stanowią zjawiska rozbrojenia
elektryczności w gazach poruszonych,
dawniej zupełnie zagadkowe, a obecnie
przez tę teorię zupełnie wytłumaczone-
ale bliższe omówienie ich wymaga zna-
mości teorii kinetycznej gazów, więc po-
kostanimy sobie to do omówienia w zwią-
zku z teorią kinetyczną. —



Koniec.